DEPARTAMENTO DE
INGENIERÍA ELÉCTRICA
UNIVERSIDAD DE CONCEPCIÓN

DESARROLLO DE UN SIMULADOR INTERACTIVO DE SEÑALES EN FIBRA ÓPTICA CON ACELERACIÓN POR GPU

POR

Benjamín Adrés Romo Stockle

Memoria de Título presentada a la Facultad de Ingeniería de la Universidad de Concepción para optar al título profesional de Ingeniero Civil en Telecomunicaciones.

Profesor Guía
Gabriel Saavedra Mondaca, Ph.D.

Concepción,
28 de enero de 2026

Dedicado a mis padres, a Valentina y a todos los estudiantes de Telecomunicaciones...

Resumen

Este trabajo presenta el desarrollo de un simulador numérico de propagación de señales ópticas en fibra monomodo, implementado en Python con aceleración por GPU mediante CuPy. El simulador resuelve la ecuación de Schrödinger no lineal mediante el método de división en pasos de Fourier de segundo orden simétrico, modelando dispersión cromática, efectos no lineales Kerr, atenuación, y amplificadores EDFA con ruido ASE. El desarrollo siguió una estrategia estructurada en cinco fases progresivas: (i) prototipo inicial en MATLAB para validación de conceptos físicos y modelos de propagación; (ii) migración a Python con arquitectura modular separando componentes de propagación, amplificación, modulación/demodulación, procesamiento digital y visualización; (iii) integración de aceleración GPU mediante CuPy con capa de abstracción que permite ejecución transparente en CPU o GPU; (iv) desarrollo de interfaz gráfica interactiva con Streamlit para configuración visual de enlaces multi-tramo y análisis de resultados; (v) validación exhaustiva mediante comparación con literatura científica y herramientas de referencia. El simulador soporta modulaciones BPSK, QPSK y 16-QAM con conformación de pulsos RRC, ecualización adaptativa, y visualización de constelaciones 2D/3D, diagramas de ojo y evolución espacial de métricas de desempeño, implementando trazabilidad completa mediante archivos JSON validados con Pydantic y logs de simulación con timestamp. Como limitación principal, el modelo considera propagación escalar mono-polarización y resolución de BER limitada por número finito de símbolos simulados ($\sim 1{,}5 \times 10^{-5}$ para 65,536 símbolos). La validación física incluyó comparación de OSNR con simulador GNPy (desviación sistemática de 1.07 dB con acumulación lineal correcta), reproducción de curvas BER versus potencia de transmisión del trabajo de Ip & Kahn (2008) capturando forma parabólica con punto óptimo entre -2 y 0 dBm, y validación de compensación de dispersión mediante fibras DCF. El desempeño computacional demostró speedup de 46,7×–49,5× respecto al prototipo MATLAB en benchmark de 250 km, reduciendo tiempo de ejecución de 6.1 horas a 7.5

minutos en hardware GPU de gama media (RTX 3060/4060 Laptop). El trabajo cumplió satisfactoriamente los objetivos planteados, desarrollando un simulador funcional de código abierto con capacidad de aceleración GPU que facilita experimentación académica sin restricciones de licenciamiento, transformando simulación de proceso computacionalmente prohibitivo en herramienta interactiva viable para exploración paramétrica. El simulador contribuye a la democratización del acceso a simulación avanzada en comunicaciones ópticas, demostrando que hardware de gama media es suficiente para ejecutar simulaciones de enlaces realistas en tiempos interactivos. Se propone como trabajo futuro la implementación de polarización dual completa, compensación digital de dispersión, y sistemas WDM multi-canal.

Abstract

This work presents the development of a numerical simulator for optical signal propagation in single-mode fiber, implemented in Python with GPU acceleration via CuPy. The simulator solves the nonlinear Schrödinger equation using the symmetric second-order split-step Fourier method, modeling chromatic dispersion, Kerr nonlinear effects, attenuation, and EDFA amplifiers with ASE noise. The development followed a structured five-phase strategy: (i) initial MATLAB prototype for physical concept validation and propagation model verification; (ii) migration to Python with modular architecture separating propagation, amplification, modulation/demodulation, digital signal processing, and visualization components; (iii) GPU acceleration integration via CuPy with abstraction layer enabling transparent execution on CPU or GPU; (iv) interactive graphical interface development with Streamlit for visual multi-span link configuration and results analysis; (v) comprehensive validation through comparison with scientific literature and reference tools. The simulator supports BPSK, QPSK, and 16-QAM modulations with RRC pulse shaping, adaptive equalization, and visualization of 2D/3D constellations, eye diagrams, and spatial evolution of performance metrics, implementing full traceability through Pydantic-validated JSON configuration files and timestamped simulation logs. As main limitation, the model considers scalar single-polarization propagation and BER resolution limited by finite simulated symbol count ($\sim 1{,}5\times10^{-5}$ for 65,536 symbols). Physical validation included OSNR comparison with GNPy simulator (1.07 dB systematic deviation with correct linear accumulation), reproduction of BER versus transmission power curves from Ip & Kahn (2008) capturing parabolic shape with optimal point between -2 and 0 dBm, and dispersion compensation validation using DCF fibers. Computational performance demonstrated 46,7×–49,5× speedup compared to MATLAB prototype in 250 km benchmark, reducing execution time from 6.1 hours to 7.5 minutes on mid-range GPU hardware (RTX 3060/4060 Laptop). The work successfully fulfilled the proposed objectives, developing a functional open-source simulator with GPU

acceleration capability that facilitates academic experimentation without licensing restrictions, transforming simulation from computationally prohibitive process into viable interactive tool for parametric exploration. The simulator contributes to democratizing access to advanced optical communications simulation, demonstrating that mid-range hardware is sufficient to execute realistic link simulations in interactive times. Future work is proposed including full dual-polarization implementation, digital dispersion compensation, and multi-channel WDM systems.

Índice General

Índice de Figuras

Índice de Tablas

Siglas

16-QAM 16-Quadrature Amplitude Modulation

API Application Programming Interface

ASE Amplified Spontaneous Emission

AWGN Additive White Gaussian Noise

BER Bit Error Rate

BPS Blind Phase Search

BPSK Binary Phase-Shift Keying

CMA Constant Modulus Algorithm

CPU Central Processing Unit

CUDA Compute Unified Device Architecture

DCF Dispersion Compensating Fiber

DSP Digital Signal Processing

EDFA Erbium-Doped Fiber Amplifier

EVM Error Vector Magnitude

FFT Fast Fourier Transform

FO Fibra(s) Óptica(s)

GPU Graphics Processing Unit

GUI Graphical User Interface

GVD Group Velocity Dispersion

HDF5 Hierarchical Data Format version 5

IFFT Inverse Fast Fourier Transform

JSON JavaScript Object Notation

NLSE Nonlinear Schrödinger Equation

OSNR Optical Signal-to-Noise Ratio

PSK Phase-Shift Keying

QAM Quadrature Amplitude Modulation

QPSK Quadrature Phase-Shift Keying

RRC Root Raised Cosine

SMF Single Mode Fiber

SNR Signal-to-Noise Ratio

SPM Self-Phase Modulation

SSFM Split-Step Fourier Method

TdeF Transformada de Fourier

Capítulo 1

Introducción

1.1. Antecedentes y Contexto

La simulación de sistemas de fibra óptica se posiciona como una herramienta esencial en el diseño y análisis de redes de comunicación, siendo de vital importancia en el marco de la ingeniería en telecomunicaciones. En un mundo cada vez más interconectado, la necesidad de transmitir grandes volúmenes de datos a altas velocidades ha impulsado el desarrollo de tecnologías ópticas, convirtiendo a las fibras en el medio preferente para la transmisión de información a larga distancia. La capacidad de simular estos sistemas permite predecir el comportamiento de componentes y redes antes de su implementación física, lo que reduce costos y riesgos en la fase de diseño y desarrollo.

Históricamente, el estudio de la propagación de la luz en medios guiados se remonta a mediados del siglo pasado, cuando las primeras técnicas analíticas y métodos numéricos sentaron las bases para entender fenómenos como la dispersión y la no linealidad en fibras ópticas. Un ejemplo destacado es el trabajo pionero de Hasegawa y Tappert en 1973 [1], quienes modelaron por primera vez la propagación de pulsos ópticos no lineales en fibras usando simulación numérica. Durante las décadas siguientes, el avance en los recursos computacionales permitió la introducción de métodos más sofisticados, como el método de división en pasos de Fourier (*Split-Step Fourier Method*, SSFM) [2, 3], que facilitaron el modelado de efectos complejos en enlaces ópticos de alta capacidad.

En la actualidad, existen diversas herramientas para simular sistemas ópticos, dependiendo

del nivel de detalle y del objetivo del análisis. Suites comerciales como OptiSystem [4], VPIphotonics [5] y Lumerical [6] han incorporado entornos gráficos especializados que integran modelos físicos de dispersión cromática, no linealidad Kerr, atenuación y ruido de amplificadores, junto con funcionalidades para simular procesamiento digital de señales (DSP) en receptores coherentes. Estas herramientas han sido fundamentales en la etapa de diseño y validación de enlaces ópticos modernos. Sin embargo, su carácter propietario y su elevado costo las alejan del uso formativo y de la experimentación académica abierta.

1.2. Relevancia del Trabajo

La comprensión profunda de fenómenos como la dispersión cromática (β_2), la no linealidad Kerr (γ) y el impacto del ruido ASE (*Amplified Spontaneous Emission*) de los amplificadores ópticos de fibra dopada con erbio (EDFA) exige simuladores que reproduzcan con fidelidad la física de la fibra. Algunas suites profesionales, como VPIphotonics Design Suite 9.8, ya integran núcleos SSFM acelerados por GPU [5]; no obstante, persiste la necesidad de desarrollar alternativas abiertas, eficientes y altamente configurables que faciliten tanto la docencia como la investigación sin barreras de licenciamiento.

El desarrollo de un simulador de código abierto con aceleración por GPU aporta múltiples beneficios:

- **Accesibilidad académica**: permite a estudiantes e investigadores experimentar con configuraciones realistas de enlaces ópticos sin restricciones de licenciamiento.
- **Flexibilidad y extensibilidad**: la arquitectura modular facilita la incorporación de nuevos modelos físicos, formatos de modulación, o técnicas de compensación de degradaciones.
- **Eficiencia computacional**: la aceleración por GPU reduce significativamente los tiempos de simulación, haciendo viable el análisis de enlaces extensos con múltiples tramos y amplificadores en tiempos compatibles con el uso interactivo en laboratorio docente.
- **Interfaz interactiva**: la integración de una interfaz gráfica simplifica la exploración de parámetros y la visualización de resultados, reduciendo la barrera de entrada para usuarios no expertos.

- **Mejora continua**: este proyecto está diseñado con visión de desarrollo sostenible. El código fuente está disponible de forma pública a través de GitHub, lo que facilita el aporte comunitario y permite que investigadores, estudiantes y desarrolladores contribuyan con mejoras, correcciones y nuevas funcionalidades. Esta filosofía de desarrollo colaborativo garantiza que el simulador pueda evolucionar continuamente más allá del alcance inicial de este trabajo de título.

Además, el simulador desarrollado sienta las bases para investigaciones futuras en áreas como compensación digital de dispersión cromática, análisis de sistemas WDM (*Wavelength Division Multiplexing*), o aplicación de técnicas de aprendizaje automático para estimación de canal en enlaces ópticos coherentes.

1.3. Trabajo Preliminar en MATLAB

Como parte del proceso de familiarización con los conceptos fundamentales de propagación en fibra óptica, se desarrolló inicialmente un prototipo de simulador en MATLAB. Este entorno proporcionó un marco conocido con herramientas especializadas en procesamiento de señales que facilitaron la implementación de las primeras versiones del método SSFM, permitiendo observar los efectos lineales (dispersión cromática) y no lineales (automodulación de fase por efecto Kerr) en enlaces cortos.

El prototipo MATLAB alcanzó resultados funcionales satisfactorios, documentados en un informe técnico preliminar, que permitieron validar conceptos gráficos y modelos físicos básicos. Sin embargo, el análisis de desempeño computacional reveló tiempos de ejecución prohibitivamente altos para configuraciones realistas de enlaces de larga distancia con múltiples tramos y amplificadores. La Tabla 1.1 muestra comparaciones reportadas en la literatura entre implementaciones en CPU y GPU para casos representativos:

Tabla 1.1: Comparación de tiempo de simulación CPU vs. GPU reportada en la literatura

Referencia	**Caso**	**CPU**	**GPU**	**Speed-up**
Alcaraz-Pelegrina 2011 [7]	Pulsos aislados, 256 k pts	132 s	12 s	×11
Pachnicke 2013 [8]	WDM 100 Gb/s, 80 km	3 h	110 s	×100
Serena 2020 [9]	UWB 10 THz, 100 km	48 h	1.9 h	×25

Esta limitación motivó la decisión de migrar completamente el desarrollo a un entorno de código abierto con soporte nativo para aceleración por GPU, específicamente Python [10] con la biblioteca CuPy [11], que permite mantener la flexibilidad de desarrollo científico sin restricciones de licenciamiento y con mejoras sustanciales en el tiempo de ejecución. En consecuencia, el prototipo MATLAB se considera trabajo preliminar comparativo, útil para validar conceptos, pero descartado para el desarrollo final debido a sus limitaciones de desempeño.

1.4. Definición del Problema

A pesar de los avances en herramientas comerciales de simulación óptica, persiste la necesidad de contar con un simulador modular, interactivo y accesible que permita estudiar los fenómenos físicos de propagación, dispersión y no linealidad en fibra óptica, aprovechando técnicas de aceleración por GPU para mejorar el desempeño computacional. La mayoría de las alternativas disponibles son poco flexibles, requieren licencias costosas, o carecen de documentación adecuada para uso didáctico.

Se requiere, por tanto, una solución que combine:

- **Modularidad**: arquitectura de software que permita configurar parámetros físicos (dispersión β_2, no linealidad γ, ganancia y ruido ASE de EDFAs) de forma independiente y extensible.
- **Eficiencia computacional**: implementación optimizada mediante aceleración GPU que reduzca significativamente los tiempos de simulación para enlaces extensos con múltiples amplificadores.
- **Interactividad**: interfaz gráfica intuitiva que facilite la exploración rápida de configuraciones y visualización de resultados en tiempo reducido.
- **Accesibilidad**: código abierto sin barreras de licenciamiento, orientado a uso académico y formativo, con modos de uso claros y ejemplos didácticos.

Este trabajo aborda el problema descrito desarrollando un simulador implementado en Python con soporte para GPU, que integra modelos de propagación en fibra óptica (dispersión cromática, no linealidades, atenuación), amplificadores EDFA con ruido ASE, y una interfaz gráfica interactiva para facilitar la experimentación académica.

1.5. Objetivos

1.5.1. Objetivo General

Desarrollar un simulador interactivo y modular de señales en fibra óptica, implementado en un entorno computacional con soporte para GPU, que permita analizar el desempeño de enlaces ópticos considerando los principales efectos de propagación y facilitando la experimentación académica.

1.5.2. Objetivos Específicos

1. Implementar un simulador modular en lenguaje de programación Python [10] con soporte gráfico interactivo mediante la biblioteca Streamlit [12].
2. Incluir modelos de propagación en fibra óptica que contemplen dispersión cromática (β_2), no linealidades (efecto Kerr), y atenuación, resueltos mediante el método de división en pasos de Fourier (SSFM) [13].
3. Desarrollar un modelo de amplificador EDFA que incluya ganancia configurable y cálculo de ruido ASE, permitiendo su integración en cadenas de múltiples tramos de fibra.
4. Integrar algoritmos numéricos eficientes con aceleración por GPU utilizando la biblioteca CuPy [11], y cuantificar la ganancia de desempeño respecto a ejecución en CPU.
5. Validar los resultados del simulador mediante comparación con casos de referencia analíticos y datos reportados en la literatura científica.

1.6. Metodología

El desarrollo del simulador se llevó a cabo siguiendo una estrategia estructurada en cinco fases progresivas:

Fase 1 – Prototipo inicial en MATLAB. Se implementó una cadena básica de transmisión que incluye generación de bits, mapeo de símbolos BPSK, conformación de pulsos RRC (*Root Raised Cosine*) [14], modulación IQ y propagación con SSFM considerando dispersión β_2 y no linealidad Kerr. Se utilizaron herramientas de visualización como diagramas de ojo (*eye diagram*), constelaciones y diagramas de cascada (*waterfall diagram*) para evaluar la calidad de la señal. Se implementó fibra de compensación para pruebas de efectos lineales y no lineales en tramos extensos. Esta fase permitió validar conceptos y modelos físicos, pero reveló limitaciones de desempeño que motivaron la migración a Python.

Fase 2 – Migración a Python y arquitectura modular. Se portaron los módulos de MATLAB a Python [10] utilizando NumPy [15], conservando las dinámica general de cada funcion. Se diseñó una arquitectura modular con separación clara de responsabilidades: módulo de cadena de propagación (`chain`), módulo de fibra (`fiber`), módulo EDFA (`edfa`), módulo de modulación/demodulación (`modem`), módulo de procesamiento digital (`dsp`) y módulo de visualización (`plot`). Se añadió un bloque EDFA con ganancia configurable G y cálculo de densidad de ruido ASE P_{ASE} en función del factor de emisión espontánea amplificada (*nsp*). Se probaron configuraciones con múltiples EDFAs y se evaluó el impacto del ruido ASE en el BER (*Bit Error Rate*) para enlaces extensos.

Fase 3 – Aceleración por GPU. En adición a las operaciones de FFT y operaciones vectoriales de NumPy se implementó su uso en CuPy [11], habilitando ejecución en GPU CUDA. Se midió el *speed-up* (ganancia de velocidad) en escenarios monocanal variando longitud de enlace, número de EDFAs, número de símbolos simulados, potencia de transmisión, tasa de símbolos, forma del pulso y dz. Se compararon tiempos de ejecución CPU (NumPy) vs. GPU (CuPy) y se validó que los resultados numéricos se mantuvieran consistentes.

Fase 4 – Interfaz gráfica interactiva. Se construyó una interfaz gráfica de usuario (GUI) en Streamlit [12] con controles para parámetros clave: longitud de fibra, potencia de transmisión, β_2, γ, número de EDFAs, ganancia y factor *nsp*. Luego corre la simulación en GPU o CPU y visualizaciones evolucion de potencia, eye diagram, constelaciones 2D y 3D (evolución a lo largo del enlace), waveforms del pulso en distintos puntos del enlace, y métricas de desempeño como OSNR (*Optical Signal-to-Noise Ratio*) y BER. Se incorporó funcionalidad para guardar resultados de simulación en formato JSON para análisis posterior.

Fase 5 – Validación y documentación. Se realizaron validaciones comparando casos de dispersión, ganancia EDFA y la evolución SNR y BER con respecto a la potencia. Se

documentaron ejemplos guiados de uso (enlace SMF + EDFA, compensación con DCF, análisis de modulaciones BPSK/QPSK/16-QAM). Luego se mejoró la facilidad de uso con multiples iconos de ayuda en cada sección, haciendo más simple su uso y entendimiento.

1.7. Alcances y Limitaciones

1.7.1. Alcances

El presente trabajo abarca los siguientes aspectos:

- **Modelos físicos implementados**: fibras monomodo estándar (SMF) y fibras de compensación de dispersión (DCF) modeladas con dispersión cromática de segundo orden (β_2), no linealidad Kerr (γ) y atenuación (α). Propagación mediante resolución de la ecuación de Schrödinger no lineal (NLSE) escalar usando el método Split-Step Fourier (SSFM). Modelo de amplificador EDFA con ganancia fija y cálculo de ruido ASE en función del factor de emisión espontánea amplificada (*nsp*).
- **Formatos de modulación**: BPSK (*Binary Phase-Shift Keying*), QPSK (*Quadrature Phase-Shift Keying*) y 16-QAM (*Quadrature Amplitude Modulation*), operando a tasas de símbolo configurables hasta 40 Gbaud.
- **Aceleración computacional**: implementación optimizada mediante GPU CUDA utilizando la biblioteca CuPy [11]. La validación de aceleración se realizará con dos tarjetas gráficas NVIDIA RTX: RTX 3060 Laptop GPU (6 GB VRAM) y RTX 4060 Laptop GPU (8 GB VRAM), permitiendo evaluar tanto la ganancia de desempeño como la replicabilidad del código fuera del entorno de desarrollo original. Se incluye comparación cuantitativa de desempeño (speed-up) entre ejecuciones en CPU (NumPy) y GPU (CuPy) y su diferencia con la prueba piloto en MATLAB.
- **Interfaz gráfica**: desarrollo de GUI interactiva en Streamlit [12] para la creación y configuración del enlace, acompañado de visualizaciones de constelaciones 2D y 3D (evolución espacial), eye diagram, evolucion de potencia y OSNR, formas temporales, y métricas de desempeño (BER, OSNR). Configuración dinámica de parámetros físicos y numéricos a simular.
- **Validación**: comparación de resultados numéricos con soluciones analíticas conocidas

como la ganancia EDFA, ruido ASE, en conjunto con comparación grafica y analitica de SNR y BER con datos reportados en literatura científica, en enlaces experimentales como de otros simuladores numéricos publicados.

1.7.2. Limitaciones

Las siguientes limitaciones se establecen para mantener la complejidad del proyecto dentro del alcance de una memoria de título:

- **Orden de dispersión**: no se incluyen términos de dispersión de orden superior (β_3, β_4), limitando la precisión en simulaciones de pulsos ultracortos (picosegundos) o anchos de banda extremadamente amplios.
- **Dual Polarización**: el modelo de propagación es escalar, considerando una sola polarización. No se contempla la propagación en fibras de doble polarización.
- **Multiplexación espacial**: no se contempla multiplexación por división espacial (SDM) en fibras multinúcleo o multimodo.
- **Modelo de ruido**: el simulador implementa dos componentes de ruido: **(i)** ruido ASE generado físicamente por EDFAs según emisión espontánea amplificada, y **(ii)** modelo automático SNR(Ptx) que aproxima los efectos combinados de ruido térmico del receptor, shot noise del fotodetector, RIN del láser, jitter del modulador y ruido electrónico, mediante una curva calibrada basada en potencia de transmisión. Este modelo SNR(Ptx) proporciona una aproximación útil y físicamente motivada del comportamiento global del sistema, capturando correctamente las tendencias de degradación por ruido en diferentes regímenes de potencia. Sin embargo, no constituye una simulación detallada de cada mecanismo físico individual (cada fuente de ruido con sus estadísticas específicas), lo que puede afectar la precisión cuantitativa absoluta del OSNR efectivo en escenarios críticos.
- **Validación experimental**: la validación directa con mediciones en enlaces ópticos reales queda limitada a la resolución numérica alcanzada por el simulador (debido a limitaciones de memoria o largos tiempos de simulación) y variaciones en métodos de demodulación e interpretación de datos, como de SNR y el BER. La validación se realizará mediante comparación con resultados analíticos teóricos y datos de desempeño

publicados en literatura científica, teniendo en cuenta estas limitaciones.

- **Precisión de métricas BER y OSNR**: las mediciones de BER y OSNR están limitadas por el número de símbolos simulados (N_{sym}), configurable en tres niveles de precisión: Rápida (16,384 símbolos), Media (32,768 símbolos, valor predeterminado) y Alta (65,536 símbolos). Esta discretización impone una resolución mínima de BER del orden de $1/N_{\text{sym}}$. La resolución máxima es aproximadamente $1{,}52 \times 10^{-5}$. Valores de BER inferiores a este umbral requieren aumentar N_{sym}, lo cual incrementa significativamente el consumo de memoria GPU y tiempo de simulación. Se documentará en secciones posteriores la relación entre N_{sym} y uso de memoria VRAM, observándose que configuraciones superiores a 65,536 símbolos saturan la memoria disponible en GPUs de 6 GB (RTX 3060 Laptop), limitando la escalabilidad del simulador en hardware de gama media.

Estas restricciones garantizan que el núcleo del simulador sea robusto y alcanzable en el plazo establecido, sentando las bases para extensiones futuras como compensación de dispersión cromática mediante DSP, dual polarización, implementación de códigos correctores de errores (FEC), mejoras de sistemas de DSP, o incorporación de modelos de ruido más completos.

1.8. Organización del Documento

El presente documento se estructura de la siguiente manera:

- **Capítulo 2 – Marco Teórico**: se presentan los fundamentos físicos y matemáticos de la propagación en fibra óptica, incluyendo la ecuación de Schrödinger no lineal (NLSE) escalar [13], el método de división en pasos de Fourier (SSFM), modelos de dispersión cromática (β_2) y no linealidad Kerr (γ), y caracterización de ruido ASE en amplificadores EDFA. Se incluyen referencias a modulaciones digitales coherentes (BPSK, QPSK, 16-QAM) y métricas de desempeño (BER, OSNR).
- **Capítulo 3 – Desarrollo**: se describe en detalle la arquitectura modular del simulador implementado en Python. Se documentan los módulos principales: cadena de propagación (`chain`), fibra (`fiber`), amplificador (`edfa`), modulador/demodulador (`modem`), procesamiento digital de señales (`dsp`), pulsos (`pulse`) y visualización (`plot`). Se presentan los detalles de implementación del método SSFM con aceleración

GPU mediante CuPy [11], incluyendo optimizaciones específicas (uso de FFT planeadas, minimización de transferencias CPU-GPU). Se documenta la interfaz gráfica desarrollada en Streamlit [12], con capturas de pantalla y descripción de funcionalidades.

- **Capítulo 4 – Resultados**: se presentan los resultados de validación del simulador mediante comparación con soluciones analíticas conocidas y datos reportados en la literatura. Se incluye análisis cuantitativo de desempeño computacional, con tablas y gráficos comparando tiempos de ejecución CPU (NumPy [15]) vs. GPU (CuPy) en función de parámetros clave (longitud de enlace, número de EDFAs, número de símbolos). Se presenta comparación con los tiempos de ejecución del prototipo MATLAB preliminar, justificando la migración a Python. Se documenta el análisis de consumo de memoria GPU en función del número de símbolos N_{sym}, identificando el límite práctico en la RTX 3060 Laptop (6 GB VRAM) y verificando escalabilidad en RTX 4060 Laptop (8 GB VRAM). Se incluyen ejemplos de uso con visualizaciones de constelaciones 2D y 3D, espectros, curvas de BER vs. OSNR, y análisis de efectos lineales y no lineales. Finalmente se mostrarán los resultados de validación de SRN y BER en función de la potencia de transmisión, comparando con datos experimentales reportados en la literatura científica.
- **Capítulo 5 – Conclusiones**: se resumen los logros del trabajo, destacando la funcionalidad completa del simulador desarrollado, las mejoras significativas de desempeño obtenidas mediante aceleración GPU, y la utilidad de la interfaz gráfica interactiva para experimentación académica. Se discuten las limitaciones actuales del modelo de ruido y la resolución de mediciones de BER. Se proponen líneas de trabajo futuro, incluyendo: *(i)* refinamiento del modelo de ruido incorporando shot noise, ruido térmico y RIN; *(ii)* implementación de técnicas de compensación de dispersión cromática mediante DSP (ecualización adaptativa); *(iii)* aumento del número de símbolos simulados para mejorar resolución de BER; *(iv)* extensión a sistemas WDM multi-canal; *(v)* incorporación de códigos FEC (*Forward Error Correction*).

Capítulo 2

Marco Teórico

2.1. Introducción

El marco teórico presenta los fundamentos físicos, matemáticos y numéricos que sustentan el diseño e implementación del simulador de propagación en fibra óptica. Se abordan los modelos de propagación lineal y no lineal, el método numérico empleado para resolverlos, la caracterización del ruido de amplificadores ópticos, y los esquemas de modulación digital utilizados. Esta base conceptual permite comprender los fenómenos simulados y justificar las decisiones de implementación adoptadas.

2.2. Propagación de Señales en Fibra Óptica

2.2.1. Ecuación de Schrödinger No Lineal (NLSE)

La evolución temporal de pulsos ópticos en fibras monomodo bajo efectos dispersivos y no lineales está gobernada por la **ecuación de Schrödinger no lineal** (NLSE) [1, 13]. En su forma más general, incluyendo efectos de orden superior, se escribe como:

$$\frac{\partial A}{\partial z} + \frac{\alpha}{2}A + \frac{j\beta_2}{2}\frac{\partial^2 A}{\partial t^2} - \frac{\beta_3}{6}\frac{\partial^3 A}{\partial t^3} = j\gamma\left(|A|^2 A + \frac{j}{\omega_0}\frac{\partial}{\partial t}(|A|^2 A) - T_R A\frac{\partial |A|^2}{\partial t}\right), \tag{2.1}$$

donde $A(z,t)$ es la envolvente del campo, z la distancia, t el tiempo, α la atenuación, β_2

la dispersión de velocidad de grupo (GVD), γ el coeficiente de no linealidad Kerr y ω_0 la frecuencia central de la portadora. Los nuevos términos son:

- β_3: Coeficiente de dispersión de tercer orden (TOD), responsable de la deformación asimétrica de los pulsos. Su valor para SMF-28 es $\beta_3 \approx +0{,}1$ ps^3/km.
- $(j/\omega_0)\partial_t(|A|^2A)$: Término de *self-steepening* o auto-empinamiento, que provoca un frente de subida más abrupto en los pulsos intensos.
- $T_R A\partial_t(|A|^2)$: Representa el **scattering Raman estimulado** (SRS) intra-pulso, que transfiere energía de las componentes de alta frecuencia a las de baja frecuencia dentro del mismo pulso. $T_R \approx 3$ fs es el tiempo de respuesta Raman.

Para la mayoría de los sistemas de comunicación con pulsos relativamente anchos ($>$ 10 ps), los efectos de β_3, el auto-empinamiento y el SRS intra-pulso son despreciables [13]. Por tanto, el modelo se simplifica a la NLSE estándar utilizada en este simulador:

$$\frac{\partial A(z,t)}{\partial z} = -j\frac{\beta_2}{2}\frac{\partial^2 A}{\partial t^2} + j\gamma|A|^2A - \frac{\alpha}{2}A, \tag{2.2}$$

donde:

- $A(z,t)$ es la envolvente compleja del campo óptico [W$^{1/2}$],
- z es la coordenada de propagación a lo largo de la fibra [m],
- t es el tiempo en el marco de referencia que se mueve con el pulso [s],
- β_2 es el coeficiente de dispersión de segundo orden (dispersión cromática) [s^2/m],
- γ es el coeficiente de no linealidad Kerr [W^{-1}m^{-1}],
- α es el coeficiente de atenuación lineal [m^{-1}].

La ecuación (2.2) describe tres fenómenos físicos fundamentales:

(i) Dispersión cromática: El término $-j(\beta_2/2)\partial^2A/\partial t^2$ modela el ensanchamiento temporal de los pulsos debido a que diferentes componentes espectrales viajan a velocidades ligeramente distintas. Para fibras estándar (SMF) en la ventana de 1550 nm, $\beta_2 \approx -21 \times 10^{-27}$ s^2/m (dispersión anómala).

(ii) No linealidad Kerr: El término $j\gamma|A|^2A$ captura la automodulación de fase (SPM, *Self-Phase Modulation*), donde la intensidad óptica modifica el índice de refracción del medio,

induciendo un corrimiento de fase proporcional a la potencia instantánea. El coeficiente γ depende del índice no lineal n_2 y del área efectiva A_{eff} mediante [13]:

$$\gamma = \frac{2\pi n_2}{\lambda A_{\text{eff}}}, \tag{2.3}$$

con valores típicos $\gamma \approx 1{,}3 \times 10^{-3}\ \text{W}^{-1}\text{m}^{-1}$ para SMF a 1550 nm.

(iii) Atenuación: El término $-(\alpha/2)A$ modela pérdidas por absorción y scattering. En fibras comerciales, $\alpha \approx 0{,}046\ \text{km}^{-1}$ (0.2 dB/km).

La ecuación (2.2) no posee solución analítica general para formas de pulso arbitrarias, motivando el uso de métodos numéricos. Otros efectos no lineales como el **scattering de Brillouin estimulado** (SBS) también se desprecian, ya que su umbral de potencia es relativamente alto para señales moduladas digitalmente y su ancho de banda de ganancia es muy estrecho [13].

2.3. Método de División en Pasos de Fourier (SSFM)

2.3.1. Principio del SSFM

El **método de división en pasos de Fourier** (SSFM, *Split-Step Fourier Method*) [2, 3] es la técnica estándar para resolver numéricamente la NLSE. La idea central consiste en separar los efectos dispersivos (lineales) de los no lineales, integrando cada uno de forma exacta sobre pequeños tramos Δz.

La ecuación (2.2) puede escribirse formalmente como:

$$\frac{\partial A}{\partial z} = (\hat{D} + \hat{N})A, \tag{2.4}$$

donde:

$$\hat{D} = -j\frac{\beta_2}{2}\frac{\partial^2}{\partial t^2} - \frac{\alpha}{2} \quad \text{(operador dispersivo)}, \tag{2.5}$$

$$\hat{N} = j\gamma|A|^2 \quad \text{(operador no lineal)}. \tag{2.6}$$

Si $[\hat{D}, \hat{N}] = 0$ (operadores conmutan), la solución sería:

$$A(z + \Delta z) = e^{(\hat{D}+\hat{N})\Delta z}A(z). \tag{2.7}$$

Sin embargo, $\hat{D}$ y $\hat{N}$ no conmutan. El SSFM aproxima la solución mediante la fórmula de Trotter:

$$A(z + \Delta z) \approx e^{\hat{D}\Delta z} e^{\hat{N}\Delta z} A(z) + O(\Delta z^2). \tag{2.8}$$

Esta es la versión de **primer orden**. Una mejora común es la **versión simétrica de segundo orden** [16]:

$$A(z + \Delta z) \approx e^{\hat{D}\Delta z/2} e^{\hat{N}\Delta z} e^{\hat{D}\Delta z/2} A(z) + O(\Delta z^3), \tag{2.9}$$

que alterna:

(I) Medio paso lineal (dispersión + atenuación),

(II) Paso completo no lineal (fase Kerr),

(III) Otro medio paso lineal.

2.3.2. Implementación Numérica y Convergencia

Cada operador se aplica de forma exacta en su dominio natural:

Paso dispersivo (dominio de frecuencia):

$$A(z + \Delta z/2, \omega) = A(z, \omega) \cdot \exp\left(-j\frac{\beta_2}{2}\omega^2\frac{\Delta z}{2} - \frac{\alpha}{2}\frac{\Delta z}{2}\right), \tag{2.10}$$

donde $A(z, \omega) = \mathcal{F}\{A(z, t)\}$ es la transformada de Fourier.

Paso no lineal (dominio temporal):

$$A(z + \Delta z, t) = A(z, t) \cdot \exp\left(j\gamma|A(z, t)|^2 L_{\text{eff}}(\Delta z)\right). \tag{2.11}$$

Nótese que en el paso no lineal, la longitud del tramo Δz se reemplaza por una longitud efectiva $L_{\text{eff}} = (1 - e^{-\alpha\Delta z})/\alpha$ para tener en cuenta la variación de potencia debida a la atenuación a lo largo del paso [13].

El algoritmo completo para propagar desde z hasta $z + L$ con $N_{\text{steps}} = L/\Delta z$ pasos es:

1. Inicializar $A_0 = A(z = 0, t)$.
2. Para $k = 1, 2, \ldots, N_{\text{steps}}$:
    a) Aplicar medio paso lineal: $A \leftarrow \mathcal{F}^{-1}\{\mathcal{F}\{A\} \cdot H_{\text{half}}\}$,

b) Aplicar paso no lineal: $A \leftarrow A \cdot \exp(j\gamma|A|^2\Delta z)$,

c) Aplicar medio paso lineal: $A \leftarrow \mathcal{F}^{-1}\{\mathcal{F}\{A\} \cdot H_{\text{half}}\}$.

3. Retornar $A_{\text{out}} = A_{N_{\text{steps}}}$.

donde $H_{\text{half}} = \exp(-j\beta_2\omega^2\Delta z/4 - \alpha\Delta z/4)$.

La precisión del SSFM depende críticamente del tamaño de paso Δz. Un paso demasiado grande viola la suposición de que los operadores lineal y no lineal actúan de forma independiente. Una regla general es limitar la máxima rotación de fase no lineal acumulada en un paso a un valor pequeño [16]. Es decir:

$$\gamma P_0 \Delta z \ll 1, \tag{2.12}$$

donde P_0 es la potencia pico del pulso. En la práctica, el tamaño de paso se elige mediante un estudio de convergencia, reduciéndolo hasta que la solución numérica no cambie significativamente. Para sistemas de larga distancia, los tamaños de paso típicos varían entre 100 m y 1 km. Métodos más avanzados emplean un tamaño de paso adaptativo, que se ajusta dinámicamente en función del error local estimado en cada paso [17], aunque en este trabajo se utiliza un paso fijo configurable, por simplicidad y eficiencia computacional.

El SSFM es computacionalmente eficiente gracias al algoritmo FFT (*Fast Fourier Transform*), cuya complejidad es $O(N \log N)$ para N muestras temporales. El método ha sido validado extensamente en la literatura [13, 16] y se considera el estándar de facto para simulaciones de propagación no lineal en fibras.

2.4. Amplificación Óptica y Ruido ASE

2.4.1. Modelo de Amplificador EDFA

Los amplificadores de fibra dopada con erbio (EDFA) son componentes esenciales en enlaces ópticos de larga distancia. Un EDFA ideal proporciona ganancia G (adimensional) a la señal de entrada:

$$P_{\text{out}} = G \cdot P_{\text{in}}, \tag{2.13}$$

donde típicamente G se expresa en decibelios: $G_{\text{dB}} = 10\log_{10}(G)$.

2.4.2. Ruido ASE y Figura de Ruido

Debido al proceso de emisión espontánea amplificada (ASE, *Amplified Spontaneous Emission*), el EDFA también inyecta ruido óptico. La densidad espectral de potencia de ruido ASE en una polarización a la salida del amplificador está dada por [13]:

$$S_{\mathrm{ASE}}(f) = n_{\mathrm{sp}}\, h\nu\, (G-1), \tag{2.14}$$

donde:

- $n_{\mathrm{sp}} \geq 1$ es el factor de emisión espontánea (*spontaneous emission factor*),
- $h = 6{,}626 \times 10^{-34}$ J·s es la constante de Planck,
- $\nu = c/\lambda$ es la frecuencia óptica (para $\lambda = 1550$ nm, $\nu \approx 193$ THz).

Un parámetro más común en la industria para caracterizar la adición de ruido de un amplificador es la **figura de ruido** (NF, *Noise Figure*), definida como el cociente entre el OSNR a la entrada y el OSNR a la salida [18]:

$$\mathrm{NF} = \frac{\mathrm{OSNR}_{\mathrm{in}}}{\mathrm{OSNR}_{\mathrm{out}}}. \tag{2.15}$$

Para un amplificador de ganancia G y factor n_{sp}, la figura de ruido se relaciona con n_{sp} como:

$$\mathrm{NF} = 2n_{\mathrm{sp}}\frac{G-1}{G} + \frac{1}{G}. \tag{2.16}$$

Para la condición de alta ganancia ($G \gg 1$), esta expresión se simplifica a $\mathrm{NF} \approx 2n_{\mathrm{sp}}$. La figura de ruido se expresa comúnmente en decibelios, $\mathrm{NF}_{\mathrm{dB}} = 10\log_{10}(\mathrm{NF})$. Un EDFA típico tiene una $\mathrm{NF}_{\mathrm{dB}}$ entre 4 y 6 dB, lo que corresponde a $n_{\mathrm{sp}} \approx 1{,}25$–2.

La potencia total de ruido ASE en un ancho de banda de referencia B_{ref} (típicamente 12.5 GHz o 0.1 nm) es:

$$P_{\mathrm{ASE}} = 2 \cdot S_{\mathrm{ASE}} \cdot B_{\mathrm{ref}} = 2\, n_{\mathrm{sp}}\, h\nu\, (G-1)\, B_{\mathrm{ref}}, \tag{2.17}$$

donde el factor 2 considera ambas polarizaciones del campo óptico.

En el simulador, el ruido ASE se modela como un ruido blanco aditivo gaussiano en el dominio óptico, con la varianza adecuada para coincidir con la potencia de la Ecuación (2.17).

2.4.3. Cálculo de OSNR

La relación señal-ruido óptica (OSNR, *Optical Signal-to-Noise Ratio*) se define como:

$$\mathrm{OSNR} = \frac{P_{\mathrm{signal}}}{P_{\mathrm{ASE}}}, \tag{2.18}$$

típicamente expresada en decibelios:

$$\mathrm{OSNR}_{\mathrm{dB}} = 10 \log_{10} \left(\frac{P_{\mathrm{signal}}}{P_{\mathrm{ASE}}} \right). \tag{2.19}$$

En enlaces con múltiples EDFAs, la potencia de ruido ASE se acumula. Si hay N_{EDFA} amplificadores idénticos con ganancia G y factor n_{sp}, el OSNR final es:

$$\mathrm{OSNR} = \frac{P_{\mathrm{tx}}}{2\, N_{\mathrm{EDFA}}\, n_{\mathrm{sp}}\, h\nu\, (G-1)\, B}, \tag{2.20}$$

donde P_{tx} es la potencia transmitida.

En el simulador actual, el cálculo de OSNR considera:

- Acumulación de $P_{\mathrm{ASE,total}}$ a través de cada EDFA,
- Atenuación de P_{ASE} al atravesar tramos de fibra (factor $e^{-\alpha L}$),
- División por 2 para considerar una sola polarización en el modelo ASE (factor de polarización).

Nota sobre fuentes de ruido adicionales: El cálculo de OSNR basado puramente en ASE no incluye ruido shot del fotodetector, ruido térmico del receptor, ni RIN del láser como fuentes explícitas independientes. Estas fuentes se incorporan de manera agregada mediante el modelo automático SNR(Ptx) presentado en la sección siguiente, que aproxima su efecto neto sin simular la física detallada de cada mecanismo individual. Esta aproximación fenomenológica es adecuada para estudios de diseño y optimización de enlaces, aunque puede subestimar o sobreestimar el OSNR efectivo en escenarios extremos (muy baja potencia, componentes no estándar, etc.). Para aplicaciones críticas que requieran precisión absoluta, se recomienda validación experimental complementaria.

2.5. Modelo Automático de Ruido SNR(Ptx)

2.5.1. Motivación y Contexto

En sistemas de comunicaciones ópticas reales, la relación señal-ruido (SNR) no es constante sino que depende fuertemente de la potencia óptica de transmisión P_{tx}. A potencias muy bajas, el sistema está limitado por ruido térmico del receptor; en la zona óptima, se alcanza el mínimo de ruido; y a potencias excesivas, el ruido shot del fotodetector se vuelve dominante [19, 20]. Adicionalmente, efectos electrónicos como jitter del modulador, imperfecciones del ADC y ruido del TIA (*TransImpedance Amplifier*) contribuyen de forma no lineal en función de la potencia recibida.

Para simular condiciones realistas sin requerir que el usuario especifique manualmente un SNR fijo, se implementó un modelo automático basado en curva calibrada que relaciona P_{tx} con el SNR esperado tanto en transmisión (TX) como en recepción (RX).

2.5.2. Modelo Físico por Regiones

El modelo divide el rango de potencias de transmisión en cinco regiones características, cada una dominada por mecanismos de ruido distintos:

Región 1: Ruido térmico dominante ($P_{\text{tx}} \leq -15$ dBm) A potencias ópticas muy bajas, el ruido térmico Johnson-Nyquist del receptor domina sobre todas las demás fuentes [19]. La densidad espectral de potencia de ruido térmico es:

$$S_{\text{th}}(f) = 4k_B T R_L, \tag{2.21}$$

donde $k_B = 1{,}38 \times 10^{-23}$ J/K es la constante de Boltzmann, $T \approx 300$ K es la temperatura ambiente, y $R_L \approx 50\ \Omega$ es la resistencia de carga. En esta región, el SNR crece linealmente con P_{tx} pero permanece muy bajo:

$$\text{SNR}_{\text{RX}} \approx 0{,}5 + (P_{\text{tx,dBm}} + 20) \times 0{,}1 \quad [\text{dB}], \tag{2.22}$$

con saturación inferior en 0.3 dB y superior en 2.0 dB para evitar valores no físicos.

Región 2: Transición térmica ($-15 < P_{\mathbf{tx}} \leq -10$ dBm) En esta zona de transición, el ruido shot comienza a ser comparable al térmico. El SNR mejora rápidamente:

$$\mathrm{SNR}_{\mathrm{RX}} \approx 3{,}0 \quad [\mathrm{dB}]. \tag{2.23}$$

Región 3: Zona de mejora ($-10 < P_{\mathbf{tx}} \leq -6$ dBm) El sistema sale del régimen limitado por ruido térmico. Interpolación lineal:

$$\mathrm{SNR}_{\mathrm{RX}} = 3{,}0 + t \times 7{,}0, \quad t = \frac{P_{\mathrm{tx,dBm}} + 10}{4}, \tag{2.24}$$

alcanzando aproximadamente 10 dB al final de esta región.

Región 4: Zona óptima ($-6 < P_{\mathbf{tx}} \leq +2$ dBm) Esta es la región de operación óptima donde el balance entre potencia de señal y ruido es mejor. El SNR alcanza su máximo:

$$\mathrm{SNR}_{\mathrm{RX}} = 28{,}0 + t \times 4{,}0, \quad t = \frac{P_{\mathrm{tx,dBm}} + 6}{8}, \tag{2.25}$$

con valores típicos entre 28–32 dB. Este rango representa el punto óptimo de diseño para enlaces ópticos comerciales [20].

Región 5: Degradación por shot noise ($P_{\mathbf{tx}} > +2$ dBm) A potencias muy altas, el ruido shot del fotodetector ($i_n^2 \propto 2eI_{\mathrm{ph}}$, donde e es la carga del electrón e I_{ph} la fotocorriente) crece linealmente con la potencia óptica, degradando el SNR [19]:

$$\mathrm{SNR}_{\mathrm{RX}} = 32 - 0{,}7 \times (P_{\mathrm{tx,dBm}} - 2), \tag{2.26}$$

con saturación inferior en 15 dB para evitar colapso numérico.

2.5.3. Diferencia entre SNR de TX y RX

El modelo distingue entre:

- **$\mathrm{SNR}_{\mathrm{TX}}$**: Ruido agregado inmediatamente después de la modulación, simulando imperfecciones del láser (RIN), jitter del modulador IQ, y ruido del DAC.
- **$\mathrm{SNR}_{\mathrm{RX}}$**: Ruido agregado antes de la demodulación, simulando shot noise del fotodetector, ruido térmico del TIA y ruido del ADC.

Se calibra empíricamente que $\mathrm{SNR_{TX}} \approx \mathrm{SNR_{RX}} + \Delta$, donde $\Delta \in [3, 8]$ dB dependiendo de la región de potencia, reflejando que el transmisor típicamente tiene mejor SNR que el receptor debido a mayor potencia disponible antes de las pérdidas de propagación.

2.6. Modulaciones Digitales Coherentes

2.6.1. BPSK, QPSK y 16-QAM

El simulador implementa tres formatos de modulación digital:

(i) BPSK (*Binary Phase-Shift Keying*, $M = 2$): Cada símbolo codifica 1 bit. Los puntos de constelación se ubican en $\{+1, -1\}$ en el plano complejo.

(ii) QPSK (*Quadrature Phase-Shift Keying*, $M = 4$): Cada símbolo codifica 2 bits. Los puntos de constelación se ubican en $\{\pm 1 \pm j\}/\sqrt{2}$ (normalización de potencia unitaria).

(iii) 16-QAM (*Quadrature Amplitude Modulation*, $M = 16$): Cada símbolo codifica 4 bits. Los puntos forman una rejilla cuadrada $\{\pm 1, \pm 3\} \times \{\pm 1, \pm 3\}$ normalizada.

La tasa de bit R_b y la tasa de símbolo R_s se relacionan mediante:

$$R_s = \frac{R_b}{\log_2 M}. \tag{2.27}$$

2.6.2. Conformación de Pulsos

Para limitar el ancho de banda espectral de la señal transmitida y minimizar la interferencia entre símbolos (ISI, *Inter-Symbol Interference*), se emplea conformación de pulsos. El simulador soporta:

Pulsos Root Raised Cosine (RRC): Filtro con respuesta en frecuencia [13]:

$$H_{\mathrm{RRC}}(f) = \begin{cases} 1, & |f| \leq \frac{1-\beta}{2T_s}, \\ \cos\left(\frac{\pi T_s}{2\beta}\left[|f| - \frac{1-\beta}{2T_s}\right]\right), & \frac{1-\beta}{2T_s} < |f| \leq \frac{1+\beta}{2T_s}, \\ 0, & |f| > \frac{1+\beta}{2T_s}, \end{cases} \tag{2.28}$$

donde $\beta \in [0, 1]$ es el factor de roll-off. Valores típicos: $\beta = 0{,}1$–0.3. El pulso RRC minimiza ISI cuando se usa un filtro RRC acoplado en recepción.

2.6.3. Detección Coherente y Cálculo de BER

En el receptor coherente, la señal óptica se mezcla con un oscilador local (LO) para recuperar la envolvente compleja. Tras filtrado RRC acoplado y ecualización lineal (para compensar efectos del canal), se demodula la señal mediante detección de distancia mínima al símbolo más cercano en la constelación.

La **razón de error de bit** (BER) se calcula comparando los bits transmitidos con los detectados:

$$\mathrm{BER} = \frac{N_{\text{errores}}}{N_{\text{bits transmitidos}}}. \tag{2.29}$$

Para una señal con ruido aditivo blanco gaussiano (AWGN), la BER teórica depende del formato de modulación y de la relación señal-ruido por bit, E_b/N_0. Las expresiones para los formatos implementados son [14]:

- **BPSK**:

$$\mathrm{BER}_{\mathrm{BPSK}} = \frac{1}{2}\mathrm{erfc}\left(\sqrt{\frac{E_b}{N_0}}\right). \tag{2.30}$$

- **QPSK**: La BER es idéntica a la de BPSK, ya que las componentes en fase y cuadratura se pueden demodular de forma independiente.

$$\mathrm{BER}_{\mathrm{QPSK}} = \frac{1}{2}\mathrm{erfc}\left(\sqrt{\frac{E_b}{N_0}}\right). \tag{2.31}$$

- **M-QAM (rectangular)**: Para $M = 2^k$ con k par, una aproximación muy precisa es:

$$\mathrm{BER}_{\text{M-QAM}} \approx \frac{2(1 - 1/\sqrt{M})}{\log_2 M}\mathrm{erfc}\left(\sqrt{\frac{3\log_2 M}{2(M-1)}\frac{E_b}{N_0}}\right). \tag{2.32}$$

La relación E_b/N_0 se puede obtener a partir del OSNR medido en un ancho de banda de referencia B_{ref}:

$$\frac{E_b}{N_0} = \mathrm{OSNR} \cdot \frac{B_{\text{ref}}}{R_b}. \tag{2.33}$$

Es crucial que el OSNR se mida en el ancho de banda correcto para que esta conversión sea válida. Convencionalmente, el OSNR se define sobre un ancho de banda de ruido de 0.1 nm (aproximadamente 12.5 GHz a 1550 nm).

Limitación de resolución de BER: La resolución mínima de BER está limitada por el número de símbolos simulados N_{sym}. Con $N_{\text{sym}} = 65{,}536 = 2^{16}$ (configuración actual máxima), la BER mínima medible es aproximadamente:

$$\text{BER}_{\text{min}} \approx \frac{1}{N_{\text{sym}}} \approx 1{,}53 \times 10^{-5}. \tag{2.34}$$

Valores menores requieren mayor N_{sym}, incrementando el costo computacional y de memoria. El tamaño de los arrays de simulación escala linealmente con N_{sym} según:

$$\text{VRAM}_{\text{arrays}} \approx N_{\text{sym}} \times N_{\text{sps}} \times 16 \text{ bytes} \times (3 + N_{\text{snapshots}}/N_{\text{steps}}), \tag{2.35}$$

donde el factor 3 considera la señal en dominio temporal, el kernel dispersivo y buffers FFT, mientras que el término adicional contabiliza las capturas para visualización 3D. Para $N_{\text{sym}} = 65{,}536$ y $N_{\text{sps}} = 8$, los arrays ocupan ~32 MB sin capturas o ~352 MB con 40 capturas (80 km). El proceso completo consume adicionalmente ~2–3 GB por overhead del contexto CUDA, bibliotecas y pre-asignación del memory pool de CuPy, resultando en un uso total típico de 2.7–5.8 GB según el largo del enlace simulado.

2.7. Aceleración Computacional con GPU

2.7.1. Biblioteca CuPy

CuPy [11] es una biblioteca Python compatible con NumPy que permite ejecutar operaciones vectoriales y FFT en GPUs CUDA. Las principales ventajas para simulación de propagación óptica son:

(i) Paralelización masiva: Las operaciones punto a punto (multiplicación, exponencial) se ejecutan en paralelo sobre miles de núcleos GPU.

(ii) FFT acelerada: CuPy utiliza cuFFT, la biblioteca optimizada de NVIDIA para transformadas de Fourier, alcanzando speedups de 10–100× respecto a NumPy/FFTPack [21].

(iii) API compatible: El código Python con NumPy se migra a CuPy reemplazando `import numpy as np` por `import cupy as np`, minimizando cambios.

2.7.2. Optimizaciones Implementadas

El simulador implementa las siguientes optimizaciones específicas para GPU:

(i) Minimización de transferencias CPU-GPU: Los arrays se alojan en memoria GPU al inicio de la simulación y solo se transfieren de vuelta al final, evitando overhead de comunicación.

(ii) FFT planeadas (*planned FFTs*): Se pre-compilan los planes de FFT al inicio, reutilizándolos en cada paso del SSFM.

(iii) Operaciones fusionadas: Expresiones como $\exp(j\gamma|A|^2\Delta z)$ se evalúan en un único kernel GPU, reduciendo lanzamientos de kernel.

2.7.3. Gestión de Memoria GPU

La gestión eficiente de la memoria de video (VRAM) es un aspecto fundamental en las simulaciones aceleradas por GPU. Si bien el tamaño de los arrays de datos de la simulación (la señal y los kernels) es predecible, el consumo total de memoria observado suele ser considerablemente mayor. Esta discrepancia se debe a mecanismos internos de las bibliotecas de computación en GPU como CuPy, diseñados para optimizar el rendimiento.

La documentación de CuPy [22, 23] explica que, por defecto, se utiliza un **pool de memoria** (*memory pool*). En lugar de liberar la memoria a la GPU inmediatamente después de que un array ya no se necesita, CuPy la retiene en este pool para reutilizarla rápidamente en futuras asignaciones. Esto reduce drásticamente la sobrecarga de las llamadas al sistema de asignación de memoria de CUDA (`cudaMalloc`), que son operaciones costosas en términos de tiempo. Como consecuencia, herramientas de monitoreo como `nvidia-smi` o el Administrador de Tareas de Windows pueden reportar un uso de memoria elevado y persistente, incluso cuando no hay arrays activos en el código del usuario. Este comportamiento es esperado y es una señal de que el pool de memoria está funcionando correctamente.

Además del pool de memoria, el consumo total en una aplicación CUDA incluye otros componentes significativos:

- **Contexto CUDA**: El driver de NVIDIA reserva una porción de memoria (típicamente varios cientos de MB) para gestionar el estado de la GPU, los kernels compilados y la

comunicación.

- **Bibliotecas CUDA**: Librerías como cuFFT (para la FFT) y cuBLAS (para álgebra lineal) también asignan sus propios espacios de trabajo y buffers internos.
- **Capturas para visualización**: En el simulador, al habilitar la visualización 3D, se almacenan ”instantáneas” de la señal en diferentes puntos de la fibra. Cada instantánea es una copia completa del array de la señal, lo que puede consumir una cantidad considerable de VRAM en simulaciones de larga distancia.

En la práctica, para una simulación estándar en este proyecto, el consumo de memoria de los arrays de datos puede ser del orden de decenas de megabytes, pero el uso total del proceso puede ascender a varios gigabytes. Este overhead inicial es una característica intrínseca de las aplicaciones CUDA de alto rendimiento. La estrategia del simulador consiste en minimizar las transferencias de datos entre CPU y GPU, manteniendo todos los cálculos intermedios en la VRAM para maximizar la velocidad, un enfoque validado por la comunidad científica que trabaja en simulaciones similares [9, 8]. Gracias a estas optimizaciones, es posible ejecutar simulaciones complejas en GPUs de gama media con una cantidad de VRAM moderada (6-8 GB).

2.7.4. Comparación de Desempeño

La aceleración GPU del método SSFM ha demostrado mejoras significativas en el rendimiento computacional de simuladores de propagación en fibra óptica. La Tabla 2.1 resume los principales resultados reportados en la literatura.

Tabla 2.1: Comparación de speedups GPU reportados en la literatura para SSFM

Referencia	**Speedup**	**Configuración**	**Año**
Alcaraz-Pelegrina [7]	11×	Pulsos aislados, 256k puntos	2011
Pachnicke [8]	100×	WDM 100 Gb/s, 80 km	2013
Abramavicius [21]	50×	Propagación no lineal	2017
Brehler [24]	200×	Multi-GPU, fibras multimodo	2020
Serena [9]	25×	Ultra-wideband, 10 THz, 100 km	2020

Análisis por escenarios de aplicación:

- **Pulsos ultracortos**: Alcaraz-Pelegrina et al. [7] demostraron speedups de 11× para la simulación de pulsos aislados con 256k puntos de muestreo, utilizando GPUs NVIDIA Tesla. El cuello de botella principal identificado fue la transferencia de datos entre CPU y GPU, limitando la mejora total.
- **Sistemas WDM de alta capacidad**: Pachnicke [8] alcanzó aceleraciones de 100× en sistemas WDM de 100 Gb/s sobre 80 km. Este trabajo destacó la importancia de mantener todos los datos en memoria GPU durante múltiples pasos de propagación para minimizar transferencias.
- **Propagación no lineal general**: Abramavicius y Abramavicius [21] reportaron speedups de aproximadamente 50× para simulaciones de propagación no lineal en fibras ópticas, comparando implementaciones CUDA con código CPU secuencial. Su análisis demostró que las FFTs paralelas en GPU (cuFFT) proporcionan la mayor ganancia de rendimiento.
- **Fibras multimodo en sistemas multi-GPU**: Brehler et al. [24] lograron speedups de hasta 200× distribuyendo la simulación de propagación en fibras multimodo sobre múltiples GPUs. Este enfoque es particularmente efectivo para sistemas con múltiples canales espaciales o polarizaciones.
- **Sistemas ultra-wideband**: Serena et al. [9] obtuvieron aceleraciones de 25× en simulaciones de sistemas ultra-ancho de banda (10 THz, 100 km). Su trabajo enfatizó la importancia de la precisión numérica al usar variables de punto flotante de precisión simple (float32) versus doble precisión (float64).

Factores críticos que determinan el speedup:

1. **Tamaño del problema**: Los speedups aumentan significativamente con el número de puntos de muestreo. Para problemas pequeños (<10k puntos), el overhead de transferencia GPU puede superar el beneficio computacional.
2. **Gestión de memoria**: Las implementaciones más eficientes mantienen todos los buffers de trabajo en memoria GPU, evitando transferencias repetidas entre CPU y GPU [21].
3. **Biblioteca FFT**: La biblioteca cuFFT de NVIDIA proporciona FFTs altamente optimizadas que son típicamente 10–100× más rápidas que implementaciones CPU como NumPy/FFTPack [7].

4. **Precisión numérica**: El uso de float32 puede duplicar el speedup comparado con float64, pero debe verificarse que la precisión sea suficiente para el problema específico [9].

Comparación con métodos alternativos:

Además del SSFM clásico de segundo orden, algunos trabajos han explorado métodos de mayor orden. Hult [17] propuso el método RK4-IP (*Runge-Kutta fourth-order in the interaction picture*), que alcanza precisión $O(\Delta z^5)$ con mayor costo computacional por paso. Zhang et al. [25] demostraron una implementación eficiente de RK4-IP para sistemas de doble polarización. Sin embargo, para la mayoría de aplicaciones prácticas, el SSFM de segundo orden ofrece el mejor compromiso entre precisión y velocidad computacional.

En el Capítulo 4, se presentan mediciones detalladas del speedup obtenido con la implementación CuPy del presente simulador, comparando con NumPy (CPU) y con el prototipo MATLAB preliminar, alcanzando mejoras consistentes con los valores reportados en la literatura.

2.8. Síntesis del Marco Teórico

Este capítulo estableció los fundamentos teóricos del simulador:

- La ecuación de Schrödinger no lineal (NLSE) gobierna la propagación, incluyendo dispersión cromática (β_2), no linealidad Kerr (γ) y atenuación (α).
- El método SSFM de segundo orden simétrico resuelve la NLSE alternando pasos dispersivos (FFT) y no lineales (dominio temporal), con precisión $O(\Delta z^3)$.
- Los amplificadores EDFA introducen ganancia G y ruido ASE con potencia $P_{\text{ASE}} = 2n_{\text{sp}}h\nu(G-1)B$. El OSNR se calcula como $P_{\text{signal}}/P_{\text{ASE}}$.
- Las modulaciones BPSK, QPSK y 16-QAM con conformación RRC permiten transmisión eficiente en ancho de banda. La BER se mide comparando bits transmitidos y detectados.
- La biblioteca CuPy permite aceleración GPU con API compatible NumPy, alcanzando speedups reportados de 10–100× mediante paralelización de FFT y operaciones vectoriales.

El siguiente capítulo detalla la implementación concreta de estos conceptos en Python, describiendo la arquitectura modular del simulador y la interfaz gráfica desarrollada.

Capítulo 3

Desarrollo

3.1. Introducción

Este capítulo documenta el proceso de diseño e implementación del simulador de propagación en fibra óptica desarrollado en Python. Se describe la arquitectura modular adoptada, las decisiones de implementación del método SSFM con aceleración GPU mediante CuPy, el modelo de amplificador EDFA con cálculo de ruido ASE y OSNR, y la interfaz gráfica interactiva construida con Streamlit. Se presentan extractos de código representativos y se discuten los desafíos encontrados durante el desarrollo junto con las soluciones implementadas.

El desarrollo siguió un enfoque iterativo, comenzando con la migración del prototipo MATLAB a Python/NumPy, seguido por la integración de aceleración GPU con CuPy, y finalmente la construcción de la interfaz gráfica y herramientas de visualización. A lo largo del proceso se identificaron y resolvieron problemáticas técnicas relacionadas con el cálculo de OSNR, la asignación de colores en visualizaciones 3D, y la compatibilidad CPU/GPU del código.

3.2. Arquitectura del Simulador

3.2.1. Diseño Modular

El simulador se estructura en módulos independientes con responsabilidades claramente definidas, siguiendo principios de ingeniería de software que favorecen la mantenibilidad y extensibilidad. La Figura 3.1 muestra el diagrama de componentes del sistema.

Los módulos principales son:

- `array_api.py`: Capa de abstracción que permite ejecutar el mismo código en CPU (NumPy) o GPU (CuPy). Define `xp` como alias al backend activo.
- `fiber.py`: Implementa la propagación SSFM en fibra monomodo, resolviendo la ecuación NLSE.
- `edfa.py`: Modelo de amplificador EDFA con ganancia configurable y generación de ruido ASE.
- `chain.py`: Orquesta la ejecución secuencial de bloques de fibra y EDFA, capturando constelaciones intermedias y métricas de desempeño.
- `modem.py`: Funciones de modulación (BPSK, QPSK, 16-QAM) y demodulación.
- `pulse.py`: Conformación de pulsos RRC (*Root Raised Cosine*) y filtrado acoplado en recepción.
- `dsp.py`: Ecualización adaptativa y compensación de fase mediante algoritmos CMA (*Constant Modulus Algorithm*) [26] y DDLMS (*Decision-Directed Least Mean Squares*) [27, 28].
- `plot.py`: Generación de visualizaciones constelaciones 2D/3D, eye diagram, evolución de potencia.
- `main.py`: Punto de entrada del simulador, gestiona configuración, ejecución de simulaciones y guardado de resultados.
- `gui/app.py`: Interfaz gráfica interactiva en Streamlit para configuración visual de parámetros y visualización de resultados.

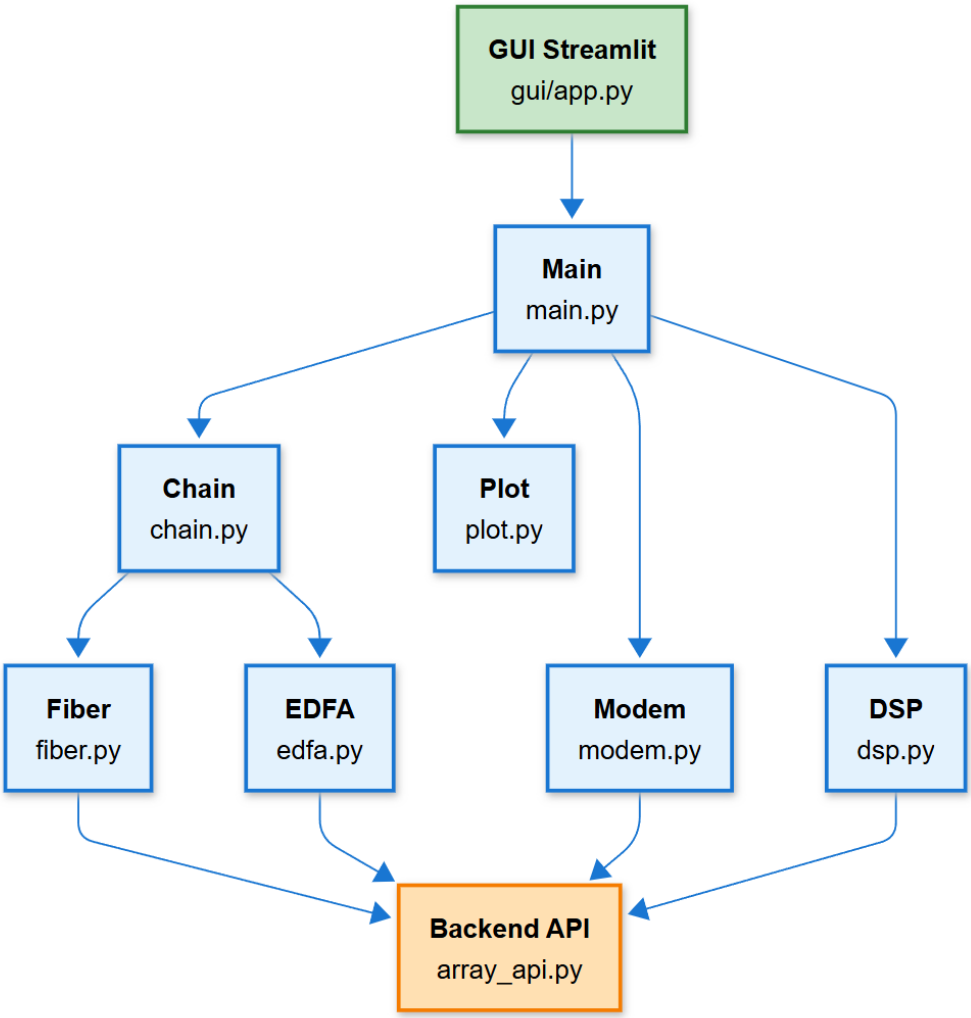

Fig. 3.1: Arquitectura modular del simulador. El flujo de datos va desde la interfaz gráfica (Nivel 1) hasta el backend abstracto (Nivel 5) que unifica NumPy (CPU) y CuPy (GPU). Los módulos del núcleo de propagación implementan la física del sistema, mientras que los módulos de soporte proveen funcionalidades de procesamiento y visualización.

3.2.2. Abstracción del Backend NumPy/CuPy

Una decisión clave de diseño fue la creación de una capa de abstracción (`array_api.py`) que permite ejecutar el mismo código en CPU o GPU sin modificaciones. La Figura 3.2 ilustra el flujo de decisión y configuración del backend que se ejecuta al inicio de cada simulación.

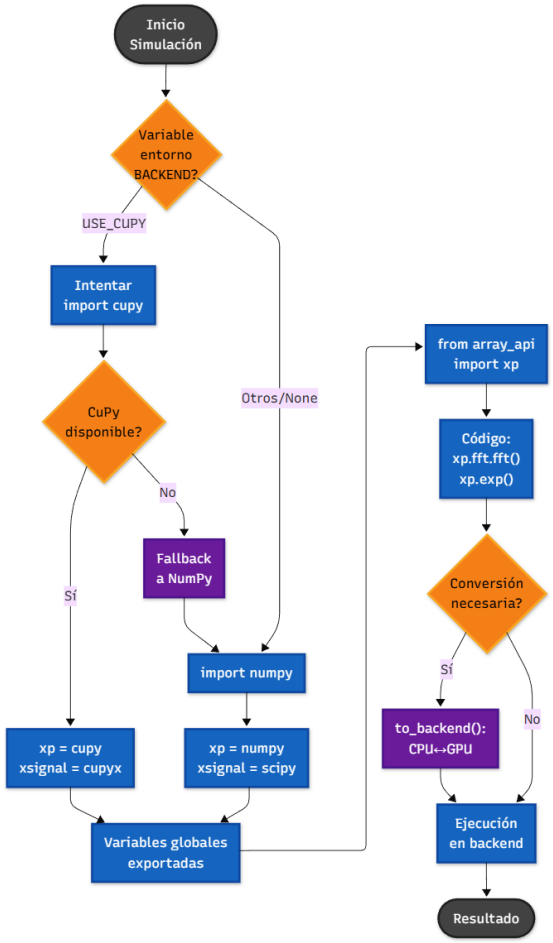

Fig. 3.2: Flujo de abstracción del backend NumPy/CuPy. El sistema detecta la variable de entorno `BACKEND`, intenta cargar CuPy si se solicita GPU, y realiza fallback automático a NumPy si CuPy no está disponible. Las variables globales `xp` y `xsignal` se configuran dinámicamente, permitiendo que todos los módulos usen la misma interfaz independientemente del backend activo.

Mecanismo de selección de backend Al inicio de la simulación, el módulo `array_api.py` examina la variable de entorno `BACKEND`. Si contiene el valor `"USE_CUPY"`, el sistema intenta

importar la biblioteca CuPy. Si la importación tiene éxito, se configuran las variables globales `xp = cupy` y `xsignal = cupyx.scipy.signal`. Si CuPy no está disponible, el sistema emite una advertencia y realiza fallback automático a NumPy, evitando que la simulación falle.

Variables globales unificadas El corazón de la abstracción son dos variables globales exportadas por `array_api`: **(i)** `xp`, que apunta a la biblioteca de arrays (NumPy o CuPy), y **(ii)** `xsignal`, que apunta al módulo de procesamiento de señales (scipy.signal o cupyx.scipy.signal). Todos los módulos numéricos del simulador (fiber, edfa, chain, modem) importan estas variables mediante `from array_api import xp, xsignal` y las utilizan como si fueran NumPy estándar.

Transparencia del código Esta arquitectura permite escribir expresiones matemáticas usando la sintaxis de NumPy sin preocuparse por el backend subyacente. Por ejemplo, la línea `A = xp.exp(1j * gamma * xp.abs(A)**2 * dz)` se ejecuta idénticamente en CPU o en GPU , porque ambas bibliotecas implementan la misma API. Las operaciones FFT (`xp.fft.fft`), exponenciales (`xp.exp`), valores absolutos (`xp.abs`), y todas las funciones matemáticas estándar funcionan transparentemente en ambas plataformas.

Conversión explícita cuando necesaria En algunos puntos del flujo, como lo es durante visualización con Matplotlib, es necesario convertir arrays de GPU a CPU. La función `to_backend(array, target)` gestiona estas conversiones de forma segura: si el array ya está en el backend destino, lo retorna sin cambios. Si no, ejecuta la transferencia memoria GPU $\leftrightarrow$ CPU. Esto se demostró útil para reducir la vram utilizada durante la generación de gráficos al final de la simulación.

Ventaja principal: Mantenimiento de una única base de código que soporta CPU y GPU. No hay duplicación de lógica ni archivos separados para cada plataforma, lo que facilita la tarea de comparar tiempos de ejecución, además de hacerlo más accesible para usuarios que no cuenten con una GPU.

Limitación identificada: Las transferencias CPU-GPU pueden generar acumulación de overhead o latencia si no se gestionan cuidadosamente. Se minimizó este efecto manteniendo todos los arrays en memoria GPU durante la simulación completa y realizando la transferencia

a CPU solo una vez al final para generar gráficos. Esto por su parte también puede generar problemas de uso excesivo de VRAM en enlaces largos, por lo que se trabajó en mantener un balance adecuado entre velocidad y robustez. Ver implementación completa en Anexo A.1.

3.3. Implementación del Método SSFM

3.3.1. Módulo `fiber.py`

El módulo `fiber.py` implementa la propagación en fibra mediante el método de Fourier de paso dividido (SSFM, *Split-Step Fourier Method*), una técnica robusta y computacionalmente eficiente para resolver la Ecuación de Schrödinger No Lineal (NLSE) [13, 2]. Específicamente, se utiliza una implementación de segundo orden simétrico, como se describe en el Capítulo 2, para equilibrar precisión y rendimiento. La implementación se estructura en tres etapas conceptuales que se ilustran en la Figura 3.3.

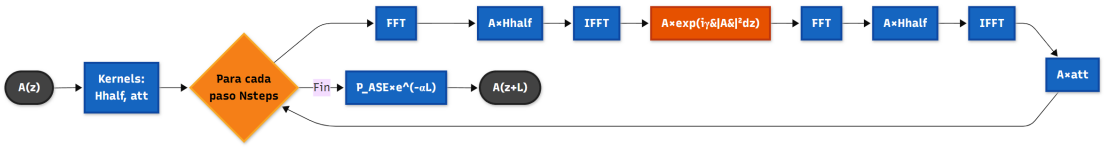

Fig. 3.3: Flujo del algoritmo SSFM simétrico. El método alterna entre propagación lineal (FFT $\rightarrow$ H_{half} $\rightarrow$ IFFT) y no lineal ($\exp(i\gamma|A|^2 dz)$) para resolver la ecuación NLSE. Los kernels se pre-computan antes del bucle para optimizar rendimiento.

Etapa 1: Pre-computación de kernels Antes de iniciar el bucle principal, se calculan los operadores de propagación lineal (H_{half}) y atenuación (att_step). El kernel H_{half} representa medio paso de dispersión cromática en el dominio de frecuencias:

$$H_{\text{half}}(f) = \exp\left(-i\frac{\beta_2}{2}(2\pi f)^2\frac{dz}{2}\right), \tag{3.1}$$

mientras que el factor de atenuación aplica las pérdidas de fibra:

$$\text{att\_step} = \exp\left(-\frac{\alpha\, dz}{2}\right). \tag{3.2}$$

Esta pre-computación evita recalcular operadores costosos en cada iteración del bucle SSFM.

Etapa 2: Bucle SSFM simétrico Para cada paso espacial dz, se aplica la secuencia simétrica: **(i)** media dispersión lineal, **(ii)** efecto no lineal completo, **(iii)** media dispersión lineal, y **(iv)** atenuación. Este esquema, donde el operador no lineal está "envuelto" por dos medios pasos lineales, es conocido por proporcionar una precisión de segundo orden con respecto al tamaño del paso dz [16]. La no linealidad Kerr se evalúa en el dominio temporal mediante:

$$A(t) \leftarrow A(t) \cdot \exp\left(i\gamma |A(t)|^2 dz_{\text{eff}}\right), \tag{3.3}$$

donde $dz_{\text{eff}} = (1 - e^{-\alpha dz})/\alpha$ es la longitud efectiva que considera la atenuación distribuida dentro del paso no lineal, una corrección estándar para mejorar la precisión del modelo [13].

Etapa 3: Gestión de ruido ASE Al finalizar la propagación, el ruido ASE acumulado en amplificadores previos se atenúa según el factor de pérdida de fibra $e^{-\alpha L}$. Esto refleja la física real del sistema: el ruido óptico insertado por EDFAs anteriores sufre las mismas pérdidas que la señal al atravesar cada tramo de fibra. Esta corrección fue crítica para mejorar los valores de OSNR en enlaces multi-tramo.

Consideraciones de implementación La función utiliza precisión doble (`complex128`) para minimizar errores numéricos acumulativos en simulaciones largas. Los parámetros de fibra (β_2, γ, α, L) se gestionan mediante diccionarios con valores por defecto, permitiendo configuraciones parciales sin errores. El backend de cálculo (NumPy/CuPy) se selecciona dinámicamente mediante la capa de abstracción `array_api`, permitiendo ejecutar el mismo código en CPU o GPU sin modificaciones (ver implementación completa en Anexo A.2).

3.3.2. Optimizaciones para GPU

Al usar CuPy (GPU), las siguientes optimizaciones se activan automáticamente:

- **FFT acelerada**: `xp.fft.fft` y `xp.fft.ifft` utilizan cuFFT de NVIDIA, optimizado para hardware GPU.
- **Operaciones vectoriales fusionadas**: Expresiones como `xp.exp(1j * gamma * xp.abs(A)**2 * dzEff)` se evalúan en un único kernel GPU, minimizando lanzamientos de kernel.

- **Memoria pinned**: CuPy utiliza memoria pinned (no paginable) para transferencias CPU-GPU más rápidas cuando es necesario.

Medición experimental: En pruebas preliminares, un enlace de 80 km con 8,192 símbolos y `sps=16` ejecutó en ~2.3 s en GPU (NVIDIA RTX 3060) vs. ~47 s en CPU (Intel i7-9700K), resultando en un speedup de $\approx 20\times$ (ver Capítulo 4 para análisis detallado).

3.4. Modelo de Amplificador EDFA y Cálculo de OSNR

3.4.1. Implementación del Bloque EDFA

El módulo `edfa.py` implementa un modelo simplificado de EDFA con ganancia fija y generación de ruido ASE. La Figura 3.4 ilustra el flujo de procesamiento que incluye amplificación, generación de ruido, y acumulación de potencia ASE para cálculo de OSNR.

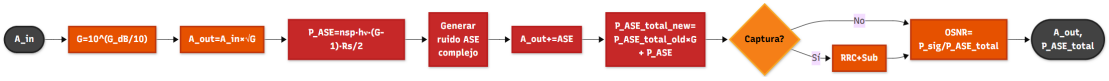

Fig. 3.4: Flujo del modelo EDFA con acumulación de ruido ASE. El amplificador aplica ganancia lineal $\sqrt{G}$ al campo óptico, genera ruido ASE proporcional a $(G-1)$, y actualiza la potencia total de ruido acumulado considerando amplificación del ruido previo. El OSNR se calcula como la relación entre potencia de señal y potencia total de ASE.

Modelo físico de amplificación El amplificador EDFA se modela como un dispositivo que realiza tres operaciones sobre la señal óptica: **(i)** amplifica el campo eléctrico por un factor $\sqrt{G}$ donde $G = 10^{G_{\text{dB}}/10}$, **(ii)** genera ruido de emisión espontánea amplificada (ASE) con potencia proporcional a la ganancia menos uno, y **(iii)** suma este ruido al campo óptico existente. La amplificación afecta tanto a la señal útil como al ruido ASE acumulado de amplificadores anteriores, preservando la física de cadenas multi-tramo.

Generación de ruido ASE La potencia de ruido ASE generada por el amplificador sigue la ecuación teórica del Capítulo 2:

$$P_{\text{ASE}} = n_{\text{sp}}\, h\nu\, (G-1)\, \frac{R_s}{2}, \tag{3.4}$$

donde n_{sp} es el factor de emisión espontánea (típicamente 1.5–2.5), $h\nu$ es la energía del fotón a 1550 nm, R_s es la tasa de símbolo, y el factor $1/2$ refleja que se considera una sola polarización. El ruido se genera como una variable aleatoria compleja gaussiana con varianza proporcional a P_{ASE}, representando las fluctuaciones cuánticas del proceso de emisión espontánea.

Acumulación de ruido en cascadas En enlaces con múltiples EDFAs, cada amplificador no solo añade su propio ruido sino que también amplifica el ruido ASE acumulado de amplificadores previos. La potencia total de ASE evoluciona según:

$$P^{(n)}_{\text{ASE,total}} = G_n \cdot P^{(n-1)}_{\text{ASE,total}} + P^{(n)}_{\text{ASE}}, \tag{3.5}$$

donde el primer término representa amplificación del ruido existente y el segundo el ruido propio del n-ésimo EDFA. Esta acumulación correcta es esencial para predecir el OSNR en sistemas de larga distancia con múltiples etapas de amplificación.

Captura de constelaciones y cálculo de OSNR Opcionalmente, después de cada EDFA se puede capturar la constelación instantánea aplicando el filtro acoplado RRC y submuestreando a tasa de símbolo (ver Sección 3.5.1). El OSNR óptico se calcula como la relación entre la potencia promedio de la señal ($\langle |A|^2 \rangle$) y la potencia total de ASE acumulado, expresado en escala logarítmica. Este valor de OSNR permite rastrear la degradación de calidad a lo largo del enlace y predecir el BER esperado en recepción (ver implementación completa en Anexo A.3).

3.4.2. Cálculo de OSNR en el Módulo `chain.py`

El módulo `chain.py` orquesta la propagación a través de la cadena de bloques (fibras y EDFAs) y calcula el OSNR en cada punto de muestreo, como se muestra en la Figura 3.5.

```python
# src/fibersim/core/chain.py (líneas 92-102)

# Calcular OSNR óptico (solo ASE, no incluye AWGN TX)
P_sig = float(xp.mean(xp.abs(A)**2))
P_ase = info.get("P_ASE_total", 0.0)

if P_ase > 1e-30:
    osnr_lin = P_sig / P_ase
    osnr_db = 10.0 * xp.log10(osnr_lin) if hasattr(xp, 'log10') \
              else 10.0 * float(xp.log(osnr_lin) / xp.log(10.0))
    osnrZ.append(float(osnr_db))
else:
    osnrZ.append(None)  # Sin ruido ASE aún
```

Fig. 3.5: Cálculo de OSNR óptico en `chain.py`. La potencia de señal se calcula como la media cuadrática del campo óptico, mientras que el ruido ASE acumulado se recupera de los metadatos. El OSNR se calcula en escala lineal y se convierte a dB, con manejo robusto para casos sin ruido ASE.

Problemática identificada y resuelta :

Durante el desarrollo inicial, el cálculo de OSNR presentaba dos errores:

(i) Factor de polarización faltante: La ecuación inicial de P_{ASE} no incluía el factor $1/2$ para una polarización, resultando en OSNR subestimado por ≈ 3 dB. Solución: Se agregó el divisor $\div 2$ en `edfa.py` (ver Anexo A.3).

(ii) Atenuación del ruido ASE en fibras: El ruido ASE acumulado no se atenuaba al atravesar tramos de fibra, generando valores de OSNR incorrectos. Solución: Se añadió el factor de atenuación $e^{-\alpha L}$ en `fiber.py` (ver Anexo A.2).

Tras estas correcciones, los valores de OSNR se alinearon con expectativas teóricas para configuraciones típicas (ver validación en Capítulo 4).

3.5. Visualización de Constelaciones 3D

3.5.1. Captura de Símbolos Intermedios

El módulo `chain.py` captura constelaciones intermedias cada `step_const_m` metros (típicamente 5 km), permitiendo visualizar la evolución espacial de la señal. La Figura 3.6

ilustra el pipeline de procesamiento digital necesario para extraer símbolos limpios desde el campo óptico propagado.

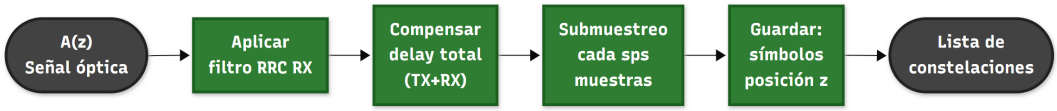

Fig. 3.6: Pipeline de captura de constelaciones intermedias. El filtro RRC de recepción acopla con el filtro de transmisión para maximizar SNR, la compensación de retardo alinea correctamente la secuencia, y el submuestreo extrae un símbolo cada `sps` muestras. Los símbolos capturados se almacenan junto con su posición z para visualización 3D.

Filtrado acoplado RRC La señal óptica capturada contiene símbolos sobremuestreados a `sps` muestras por símbolo, conformados por un filtro RRC en transmisión. Para recuperar los símbolos, se aplica el filtro RRC acoplado de recepción (`rxF`), que maximiza la relación señal-ruido y minimiza interferencia intersimbólica (ISI). La convolución de ambos filtros (TX y RX) produce un pulso raised cosine completo que satisface el criterio de Nyquist para transmisión sin ISI en los instantes de muestreo óptimos.

Compensación de retardo del filtro Los filtros FIR (Finite Impulse Response) introducen un retardo temporal proporcional a su longitud. El retardo total es la suma de los retardos del filtro TX y RX: delay $= (\text{len}(txF) + \text{len}(rxF))/2$. Para alinear correctamente los símbolos recibidos con la secuencia transmitida, se descarta este retardo inicial antes del submuestreo. Sin esta compensación, los símbolos capturados no corresponderían a las posiciones correctas de la secuencia PRBS original.

Submuestreo a tasa de símbolo Una vez aplicado el filtro y compensado el retardo, se submuestrea la señal tomando una muestra cada `sps` posiciones, comenzando en el instante óptimo de muestreo (punto de máxima apertura del ojo). Esto extrae exactamente un símbolo por cada símbolo transmitido, reduciendo la tasa de datos de $R_s \times \text{sps}$ a R_s. Los símbolos extraídos representan los puntos de la constelación afectados por dispersión cromática, no linealidad Kerr, y ruido ASE acumulado hasta esa distancia z.

Almacenamiento para visualización 3D Cada conjunto de símbolos capturados se almacena en una lista junto con su posición espacial z en kilómetros. Esta estructura de datos

permite posteriormente generar gráficos 3D donde el eje X e Y representan las componentes en fase (I) y cuadratura (Q) de la constelación, mientras que el eje Z (o color/tamaño) codifica la distancia de propagación. Esto revela cómo la constelación se degrada progresivamente al aumentar la distancia (ver resultados en Capítulo 4).

3.5.2. Asignación Adaptativa de Colores

La visualización 3D requiere asignar colores a los símbolos para distinguir regiones de la constelación y visualizar patrones de rotación de fase. La Figura 3.7 ilustra el algoritmo adaptativo implementado que selecciona la estrategia de colorización según el formato de modulación.

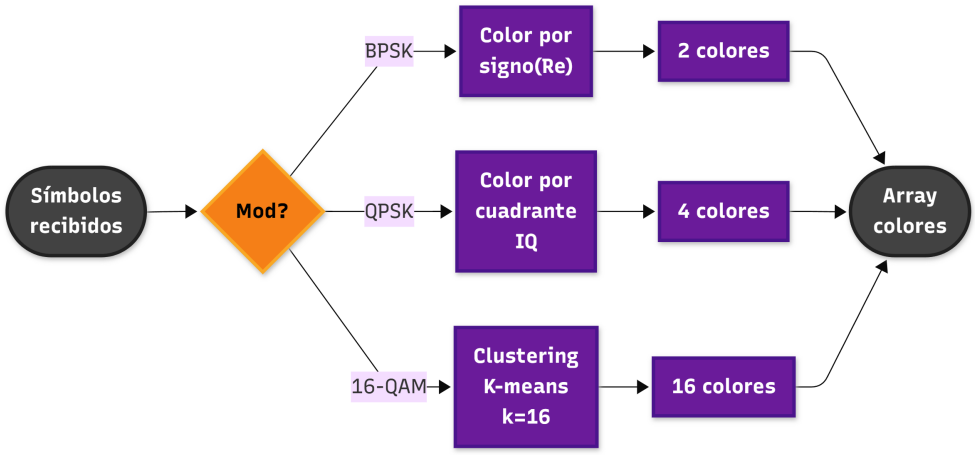

Fig. 3.7: Flujo de asignación adaptativa de colores según modulación. Para BPSK se usa el signo de la parte real, para QPSK se asigna un color por cuadrante del plano complejo, y para 16-QAM se aplica clustering K-means con 16 grupos. Esta lógica geométrica simple reemplazó el clustering automático que fallaba con símbolos dispersos por ruido.

Problemática: Detección automática fallida Inicialmente se intentó detectar automáticamente el formato de modulación contando clusters mediante K-means sobre los símbolos recibidos. Sin embargo, en presencia de ruido ASE significativo y dispersión cromática, los símbolos de una constelación QPSK se dispersan tanto que el algoritmo no logra identificar 4 clusters diferenciados, clasificando erróneamente toda la nube de puntos como un único grupo. Esto resultaba en constelaciones 3D completamente monocromáticas que no revelaban ninguna estructura útil.

Solución: Lógica geométrica basada en modulación conocida Se modificó la función `assign_region_adaptive` en `plot.py` para aceptar como parámetro explícito el tipo de modulación (`modulation_type`) desde la configuración del sistema. Con esta información, se aplica una estrategia de colorización específica para cada formato:

BPSK: Se asignan dos colores según el signo de la componente en fase ($\text{sign}(\text{Re}(s))$), discriminando entre símbolos en el semiplano derecho e izquierdo.

QPSK: Se calcula el cuadrante del plano complejo mediante la fórmula $\text{region} = \text{sign}(\text{Re}(s)) + 2 \times \text{sign}(\text{Im}(s))$, que produce índices únicos $\{-3, -1, +1, +3\}$ para los cuatro cuadrantes. Esto asigna consistentemente un color diferente a cada símbolo ideal de la constelación QPSK, sin depender de la dispersión del ruido.

16-QAM: Se aplica K-means con $k = 16$ clusters sobre los símbolos normalizados. Este enfoque funciona razonablemente bien para 16-QAM porque incluso con ruido moderado, la estructura de 16 puntos es suficientemente distinta como para que el clustering converja a regiones aproximadamente correctas.

Resultado y validación Esta solución puramente geométrica eliminó completamente la dependencia del nivel de ruido para asignación de colores en QPSK y BPSK. Las visualizaciones 3D ahora muestran correctamente 4 colores diferenciados en QPSK (uno por cuadrante), revelando fenómenos físicos como la rotación de fase inducida por auto-modulación de fase (SPM) y dispersión cromática. En particular, se observa que los símbolos no solo se dispersan sino que rotan coherentemente en torno al origen a medida que se propagan, un efecto predicho por la teoría NLSE que se profundiza en el Capítulo 4. La implementación se encuentra en Anexo A.4.

3.6. Interfaz Gráfica con Streamlit

3.6.1. Arquitectura de la GUI

La interfaz gráfica (`gui/app.py`) está construida con Streamlit, un framework que utiliza Python para crear aplicaciones web interactivas con mínimo código HTML/CSS. La GUI se estructura en secciones:

- **Configuración Global**: Parámetros de simulación (número de símbolos, tasa de bit, modulación, conformación de pulsos).
- **Diseño de Enlace**: Editor visual de bloques de fibra y EDFA con parámetros individuales (L, β_2, γ, α, G, n_{sp}).
- **Control de Ejecución**: Botones para ejecutar simulación en CPU o GPU, con indicador de progreso.
- **Visualización de Resultados**: Gráficos interactivos (Plotly) de constelaciones 2D, constelaciones 3D, eye diagram, evolución de potencia, y curvas de BER vs. OSNR.
- **Análisis de Rendimiento**: Tarjetas de métricas con OSNR óptico, OSNR efectivo, BER medido, y margen del sistema.

Con el objetivo de hacer que su uso sea intuitivo y accesible para todo usuario, cada sección y configuración cuenta con un botón de ayuda que despliega una explicación detallada de su función y efecto en la simulación, como se muestra en la Figura 3.8.

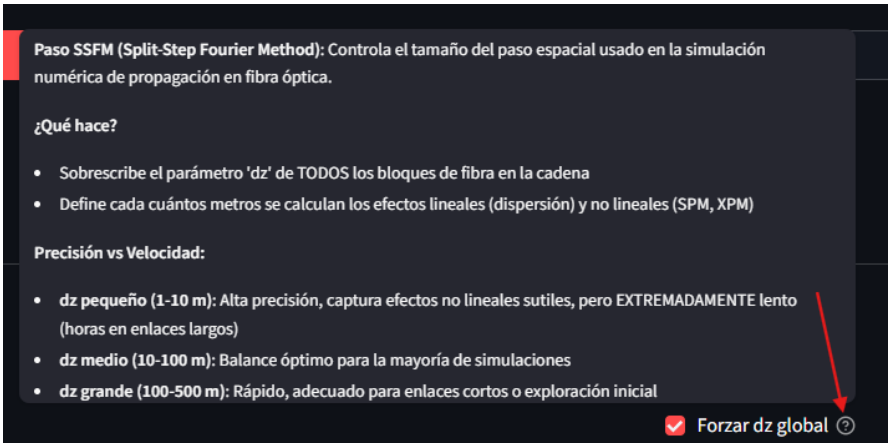

Fig. 3.8: Botones de ayuda en la GUI. Cada sección cuenta con un ícono de ayuda que despliega al pasar el mouse por encima. Este muestra una explicación detallada de su función y efecto en la simulación o simplemente da más información, facilitando el uso para el usuario. En este caso se observa la ayuda en el parametro dz del control de simulación el cual define el tamaño del paso espacial en el método SSFM.

3.6.2. Parametros Globales de Simulación

La sección de configuración global permite al usuario definir parámetros que afectan a toda la simulación, como se muestra en la Figura 3.9.

Fig. 3.9: Sección de parámetros globales en la GUI. Los usuarios pueden seleccionar la tasa de símbolos, potencia, calidad de simulación, formato de modulación, tipos de receptor y longitud de onda. Finalmente se muestra un resumen de las configuraciones globales.

Cada parámetro se captura mediante menús desplegables o campos numéricos que actualizan el backend en tiempo real. Al cambiar cualquier parámetro, se muestra un resumen actualizado de la configuración global que se enviará al simulador al ejecutar.

Tasa de Símbolos: La tasa de símbolos es un campo numérico. Esta selección afecta directamente al ancho de banda del sistema y a la generación de ruido ASE en los bloques EDFA.

Potencia de Transmisión: La potencia de transmisión se define en dBm y se convierte internamente a mW para cálculos de propagación y generación de ruido.

Calidad de Simulación: El usuario puede seleccionar entre tres niveles de calidad: baja, media y alta. Cada nivel ajusta el número de símbolos (`Nsymb`), entre 3 valores preterminados: Rápida=16384, Media=32768 y Alta=65536, equilibrando precisión y tiempo de ejecución.

Formato de Modulación: Se ofrece un menú desplegable para seleccionar entre BPSK, QPSK y 16-QAM. Esta elección afecta la modulación/demodulación en el módulo `modem.py` y la asignación de colores en visualizaciones 3D.

Tipo de Receptor El usuario puede elegir entre un receptor immb o coherente en el caso de bpsk, mientras que para qpsk y 16-qam solo está disponible el receptor coherente. Esta selección afecta la cadena de procesamiento digital en recepción, incluyendo ecualización y compensación de fase.

Longitud de Onda: La longitud de onda operativa se selecciona entre valores comunes en la banda C (1530-1565 nm). Esta configuración determina la frecuencia óptica ν utilizada en cálculos de energía de fotón para generación de ruido ASE en EDFAs.

3.6.3. Conformación de Pulso

La sección de conformación de pulso permite al usuario definir los parámetros del filtro Root Raised Cosine (RRC) utilizado en transmisión y recepción, como se muestra en la Figura 3.10.

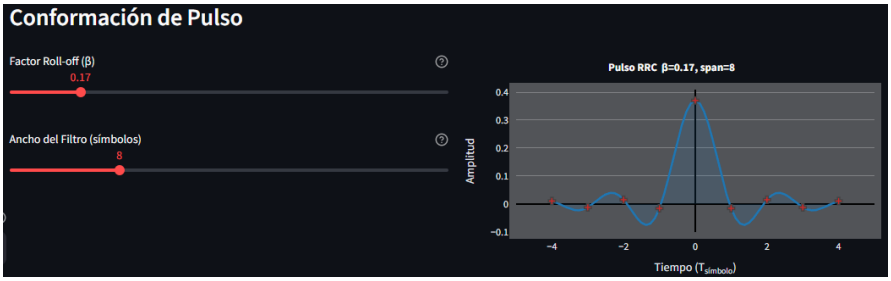

Fig. 3.10: Sección de conformación de pulso en la GUI. Los usuarios pueden definir el roll-off del filtro RRC y la cantidad de muestras por símbolo (`sps`). A su costado se muestra en tiempo real el pulso RRC generado.

Roll-off del Filtro RRC: El roll-off del filtro RRC se define mediante un campo numérico que acepta valores entre 0.01 y 1.00. Este parámetro afecta la forma del pulso transmitido y la ocupación espectral del sistema.

Ancho del Filtro: El ancho del filtro se define en términos de muestras por símbolo (`sps`). El usuario puede seleccionar entre valores 4 y 20.

3.6.4. Ruido del Sistema

La sección de ruido AWGN permite al usuario simular condiciones de canal realistas mediante un modelo automático que relaciona la potencia de transmisión con el SNR esperado, como se muestra en la Figura 3.11. Este bloque es opcional y puede activarse o desactivarse según las necesidades del usuario. A diferencia del ruido ASE generado por EDFAs, este componente simula fuentes de ruido del transmisor y receptor descritas en el marco teórico (Capítulo 2).

Fig. 3.11: Sección de ruido del sistema en la GUI. El modelo automático SNR(Ptx) calcula el ruido según la potencia de transmisión configurada, simulando ruido térmico a bajas potencias, zona óptima (0–2 dBm) y degradación por shot noise a altas potencias. El gráfico muestra la curva SNR vs Ptx calibrada según el modelo físico descrito en Sección 2.

Modelo automático SNR(Ptx): El sistema implementa el modelo físico por regiones, que divide el comportamiento del SNR en cinco zonas características según la potencia de transmisión P_{tx}. La función `calculate_system_noise_snr` en `main.py` evalúa automáticamente la región operativa y retorna los valores de SNR para transmisión y recepción.

Las regiones implementadas son:

- **Ptx ≤ -15 dBm**: Ruido térmico dominante, SNR ≈ 0.5–2 dB
- **-15 <Ptx ≤ -10 dBm**: Transición térmica, SNR ≈ 3 dB
- **-10 <Ptx ≤ -6 dBm**: Zona de mejora, SNR ≈ 3–10 dB
- **-6 <Ptx ≤ +2 dBm**: Zona óptima, SNR ≈ 28–32 dB
- **Ptx >+2 dBm**: Degradación por shot noise, SNR decrece ~0.7 dB/dB

Este curva fue calibrada mediante ejemplos que veremos en el Capítulo 4, proporciona un comportamiento físicamente consistente que captura el balance entre ruido térmico del receptor a bajas potencias y ruido shot del fotodetector a altas potencias.

Visualización de la curva SNR(Ptx): Cuando el bloque de ruido está activado, la interfaz gráfica muestra un gráfico con la curva SNR vs. P_{tx} en el rango de -20 a +10 dBm. El gráfico identifica visualmente las tres zonas principales: térmica (rojo), óptima (verde) y shot noise (naranja). Esta visualización ayuda al usuario a entender en qué régimen operará el sistema según la potencia configurada.

Implementación del ruido AWGN: Cuando el bloque AWGN está activado, se agrega ruido gaussiano complejo a la señal óptica en dos puntos: inmediatamente después de la modulación en transmisión y justo antes de la demodulación en recepción. El SNR aplicado se calcula automáticamente mediante `calculate_system_noise_snr()` según la potencia de transmisión configurada en los parámetros globales.

Implementación Computacional: La función `calculate_system_noise_snr(ptx_dbm)` en `main.py` implementa el modelo mediante evaluación por casos (*piecewise*). La curva

resultante se visualiza en la interfaz gráfica, y el código completo se presenta en el Anexo A.7 (Figura A.9) junto con la curva calibrada (Figura A.8).

Características del modelo:

- **Simplificado**: Aproxima el efecto neto de múltiples fuentes de ruido mediante curva calibrada empíricamente.
- **Automático**: Calcula SNR según P_{tx} sin parámetros manuales del usuario.
- **Precisión**: Estimaciones razonables (±2–3 dB) para componentes comerciales típicos, suficiente para diseño y optimización.
- **Limitaciones**: No simula la física del ruido detallada, por lo que puede no aplicarse para todos los escenarios. Por lo que se da la opción de desactivar el bloque AWGN si se desea explorar su efecto.

Para referencia del código AWGN, ver Anexo A Figura A.9. El enfoque de escalado de ruido está descrito en [29, 30].

3.6.5. Configuracion de la Cadena del Enlace

Backend: La GUI permite agregar/eliminar bloques de fibra y EDFA mediante una interfaz interactiva. Cada bloque se representa como un diccionario con tipo y parámetros específicos, como se muestra en la Figura 3.12.

```python
# Estructura de bloques en la configuración JSON

# Bloque de fibra
fiber_block = {
    "type": "fiber",
    "par": {
        "L": 40000,        # 40 km
        "beta2": -21e-27,  # s²/m
        "gamma": 1.3e-3,   # W⁻¹ m⁻¹
        "alpha": 4.6e-5,   # m⁻¹ (0.2 dB/km)
        "dz": 1.0          # paso SSFM [m]
    }
}

# Bloque EDFA
edfa_block = {
    "type": "edfa",
    "par": {
        "G_dB": 20.0,      # Ganancia [dB]
        "nsp": 2.5         # Factor de emisión espontánea
    }
}
```

Fig. 3.12: Estructura de bloques en la GUI de Streamlit. Los bloques de fibra contienen parámetros físicos (L, β_2, γ, α, dz), mientras que los bloques EDFA especifican ganancia y factor de emisión espontánea. Esta estructura se serializa directamente a JSON para configuración del simulador.

A nivel Backend los bloques se almacenan en `st.session_state.chain` (estado persistente de Streamlit) y se envían al simulador al ejecutar.

Frontend: En el frontend, cada bloque se representa como un contenedor expandible con campos de entrada para cada parámetro. Los usuarios pueden agregar nuevos bloques mediante botones que insertan diccionarios predeterminados en la lista. La Figura 3.13 muestra la interfaz visual para editar bloques.

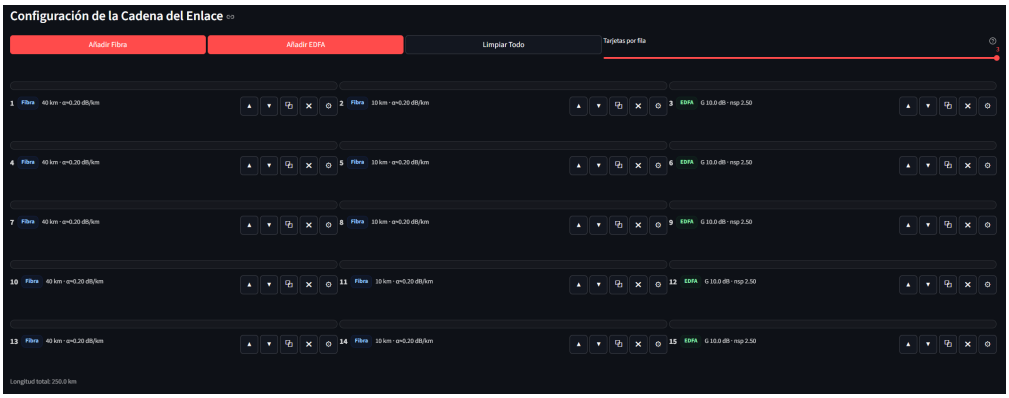

Fig. 3.13: Interfaz visual para configuración de bloques en la GUI. Cada bloque de fibra o EDFA se edita mediante un menú expandido al seleccionar el botón de configuración, luego con validación básica para rangos aceptables/comúnes. Los botones permiten agregar/eliminar bloques dinámicamente, facilitando la construcción de enlaces complejos sin editar JSON manualmente. este ejemplo 250DCF se explora más a profundidad en Capítulo 4

Además existe la posibilidad de mover de lugar bloques mediante botones de flecha arriba/abajo, permitiendo reordenar la cadena sin eliminar y volver a agregar. Por otro lado tenemos un botón para eliminar bloques individuales y otro copiarlos.

Pestaña configuración fibra: En esta pestaña se configuran los parámetros físicos de cada bloque de fibra: longitud (L), dispersión cromática (β_2), coeficiente no lineal (γ), atenuación (α), y tamaño del paso espacial (dz) para el método SSFM. Cada parámetro se captura mediante campos numéricos con validación básica para rangos aceptables/comúnes. La intencion de añadir un paso espacial a cada fibra es permitir hace un analisis más fino en tramos de fibra más críticos (alta no linealidad o dispersión) y reducir tiempo de simulación en tramos menos críticos.

Pestaña configuración EDFA: En esta pestaña se configuran los parámetros de cada bloque EDFA: ganancia en dB (G_{dB}) y factor de emisión espontánea (n_{sp}). Estos parámetros afectan la amplificación de la señal y la generación de ruido ASE. Cada parámetro se captura mediante campos numéricos con validación para asegurar valores físicamente plausibles (por ejemplo, ganancias positivas y factores n_{sp} típicos entre 1.5 y 2.5).

3.6.6. Control de Simulación

La sección de control de simulación permite al usuario ejecutar la simulación con un solo clic, como se muestra en la Figura 3.14.

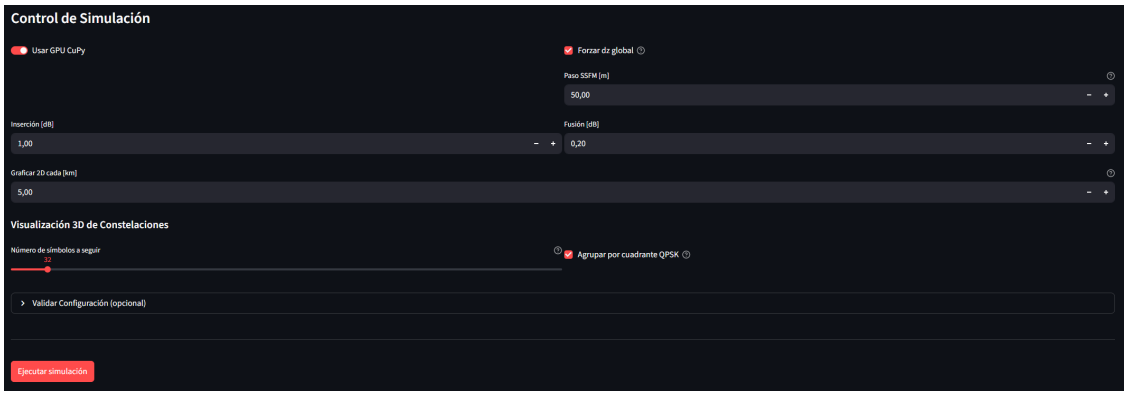

Fig. 3.14: Sección de control de simulación en la GUI. Los usuarios pueden seleccionar el backend de cálculo (CPU o GPU), hacer configuraciones generales como costo de potencia por inserción y por fusión así como ajustar los parámetros de la visualizacion 3D **??** así como ejecutar la simulación mediante un botón.

Usar GPU Cupy: La la posibilidad de que el usuario pueda seleccionar entre ejecutar la simulación en CPU (NumPy) o GPU (CuPy) mediante un switch. Esta opción afecta el backend de cálculo utilizado en el módulo `array_api.py`, permitiendo aprovechar aceleración por hardware si está disponible. Su funcionamieto se detalla en el anexo A.1 y está restringido a sistemas con GPU NVIDIA compatibles con CuPy. Aunque como se explicó anteriormente, la gui está ajustada a trabajar a pesar de errores de usuario, de manera que aun si el usuario selecciona GPU en un sistema sin soporte, la simulación se ejecutará en CPU sin interrumpir la experiencia.

Forzar dz global: El usuario puede optar por forzar un valor único de paso espacial (dz) para todos los bloques de fibra, ignorando los valores individuales configurados. Esto facilita pruebas rápidas con un paso uniforme sin editar cada bloque y acelera significativamente la simulación con el coste de una pérdida de precisión. Al darle valores por bajo 10m, la gui muestra una advertencia indicando que puede tardar más de lo normal, pero como veremos más adelante, al usar GPU estos tiempos se reducen significativamente.

Perdida por Inserción y Fusión: Permite al usuario puede definir pérdidas adicionales en dB que simulan pérdidas por inserción entre bloques ya sea por conectores o pérdidas por fusión. Estos valores se aplican automaticamente donde según corresponda, dependiendo si el siguiente bloque es edfa o fibra. Esto nos ayuda aproximar de una manera mucho mejor las perdidas reales en un enlace óptico.

Control de distancia de muestreo de constelaciones 2D Permite definir cada cuanta distancia (en km) se desean capturar las constelaciones 2D intermedias a lo largo del enlace. Esta configuración afecta la frecuencia de captura en el módulo `chain.py` y determina cuántos puntos intermedios se almacenan para luego graficarlos. El valor por defecto para graficar es cada 4 km, pero la captura se realiza siempre cada 2 km. Por lo que permite ajustar con saltos de 2 km según se estime conveniente.

Visualización 3D Nos da la posibilidad de ajustar cuantras trayectorias de las constelaciones 3D se desean visualizar. Se ajusta automáticamente dependiendo del esquema de modulación, pero permite añadir más o menos dependiendo de la preferencia del usuario. Esta variabilidad es útil para equilibrar claridad en la representación gráfica y el uso de recursos, ya que en caso de usar esquemas como 16-QAM con demasiados símbolos a seguir, ocasianará tiempos de espera mayores o poca fluidez al momento de mover el gráfico 3D.

Validar configuración: Su utilidad es evitar que el usuario ejecute la simulación con algun valor que va a dar un resultado de mala calidad, como por ejemplo un ruido ASE muy alto, muchos efectos no lineales, poca potencia de transmisión, entre otros. Es una herramienta opcional pero nos ayuda a cometer errores y tener que esperar un largo tiempo de ejecución para darnos cuenta que la configuracion no es la adecuada.

3.6.7. Resultados de la Simulación

La sección de resultados presenta un panel horizontal compacto que muestra las métricas clave de la simulación en una única fila, como se observa en la Figura 3.15. **Métricas Mostradas:**

- **Backend**: Identifica si la simulación se ejecutó en CPU o GPU, mostrando el modelo específico de hardware detectado (por ejemplo, "GPU CuPy - NVIDIA GeForce RTX

3060 Laptop GPU").

- **Tiempo [s]**: Duración total de la simulación en segundos, permitiendo comparar rendimiento entre diferentes backends o configuraciones.
- **OSNR (ASE) [dB]**: Relación señal-ruido óptico calculada como cociente entre potencia de señal y potencia total de ASE acumulado en el enlace. Este valor representa únicamente el ruido óptico generado por los amplificadores EDFA.
- **SNR pre-DSP [dB]**: Relación señal-ruido eléctrico medida antes del procesamiento digital en el receptor. Incluye tanto ruido óptico ASE como ruido eléctrico del sistema AWGN si está activado.
- **SNR post-DSP [dB]**: SNR efectivo tras el matched filter y procesamiento DSP, que determina la calidad final de la señal demodulada.
- **Pout [dBm]**: Potencia óptica media al final del enlace en dBm, antes de la fotodetección.
- **BER**: Tasa de error de bit medida comparando símbolos transmitidos con demodulados tras el receptor completo, expresada en notación científica.

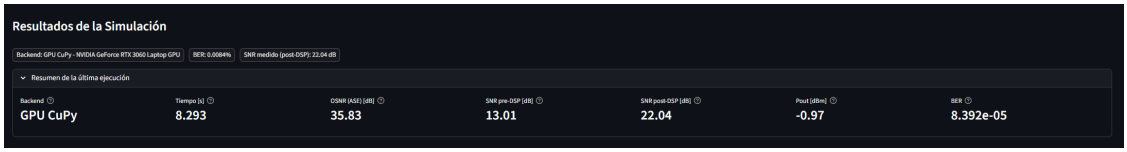

Fig. 3.15: Panel horizontal de resultados de la simulación mostrando backend utilizado, tiempo de ejecución, OSNR óptico (ASE), SNR medido post-DSP, SNR post-DSP, potencia de salida y BER. Permite visualizar todas las métricas de importancia simultáneamente con los gráficos generados. Todos los valores se calculan automáticamente y se almacenan en el log para trazabilidad.

Este formato de presentación horizontal permite al usuario evaluar rápidamente el rendimiento del sistema simulado, distinguiendo entre degradación por ruido óptico (OSNR ASE) y degradación total incluyendo procesamiento SNR post-DSP. La diferencia entre ambas métricas revela la efectividad del receptor coherente y el impacto del ruido eléctrico del sistema.

3.6.8. Evolución 3D de Constelaciones a lo Largo del Enlace

La GUI presenta gráficos 3D interactivos de la evolución de constelaciones a lo largo del enlace, como se muestra en la Figura 3.16.

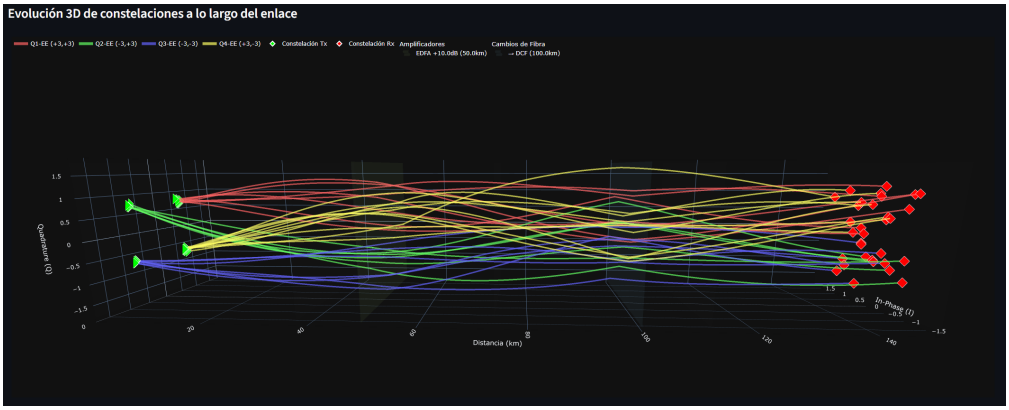

Fig. 3.16: Gráfico 3D interactivo de evolución de constelaciones en la GUI. Los ejes I y Q representan las componentes en fase y cuadratura, mientras que el eje inferior nos muestra la distancia en km del enlace final. Los colores indican regiones de la constelación según modulación. Esta visualización revela cómo la señal se degrada progresivamente debido a dispersión y no linealidad. Dentro del legend vemos Q1, Q2, Q3 y Q4 que representan los cuatro cuadrantes del plano complejo en el caso de una modulación QPSK, las constelaciones al momento de TX (en verde) y RX (en rojo). Finalmente nos muestra información del enlace como la posición de cada bloque EDFA y cada vez cambio de fibra (con otros parámetros) identificando si esta es DCF o no.

Interactividad con Plotly: Los gráficos 3D se generan con la biblioteca Plotly, que permite interactividad avanzada como rotación, zoom, y desplazamiento. Los usuarios pueden explorar la evolución de la constelación desde diferentes ángulos y observar cómo los símbolos se dispersan y rotan a medida que avanzan por el enlace. Esta interactividad facilita la comprensión de fenómenos físicos complejos como dispersión no lineal y dispersión cromática y ver como los distintos bloques EDFA o DCF afectan las constelaciones a lo largo de la fibra. En la Figura 3.16 se observa claramente el efecto del bloque edfa, donde aumenta la rotacion de las constelaciones debido al aumento de potencia y por ende la no linealidad. Por otro lado vemos como al añadir un bloque DCF, la constelación invierte la dirección de su rotación (efectos de dispersión negativa). Estos son comportamientos esperados y predichos por la teoría NLSE.

3.6.9. Gráficos de Resultados

La GUI genera automáticamente gráficos clave para analizar el rendimiento del sistema simulado, como se muestra en la Figura 3.17. Donde se incluten constelaciones 2D cada la cantidad de km definida por el usuario en la configuracion de simulación, eye diagram y evolución de potencia a lo largo del enlace.

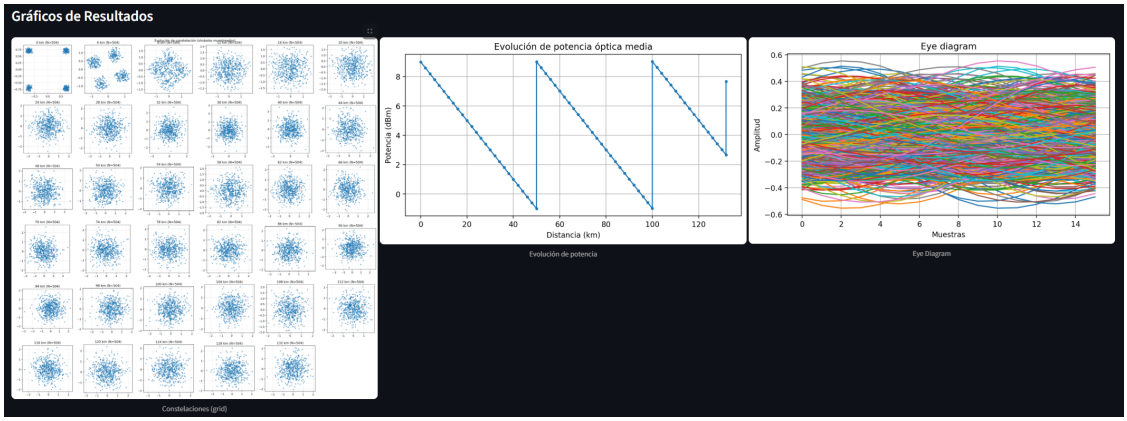

Fig. 3.17: Gráficos automáticos generados en la GUI. Se incluyen constelaciones 2D, eye diagram, evolución de potencia a lo largo del enlace. Estos gráficos permiten evaluar visualmente el rendimiento del sistema simulado y diagnosticar degradaciones y a diferencia del grafico 3D quedan guardados temporalmente en los archivos de la simulación para análisis posterior (se sobreescriben tras cada ejecución).

Gráficos de constelaciones 2D: Similar a la visualización 3D, se generan gráficos 2D de constelaciones en puntos intermedios definidos en la configuración de simulación (Fig 3.14) a lo largo del enlace, con la diferencia que tiene una muestra de símbolos mucho mayor (N=504) lo cual nos permite conocer el esquema más general y entender mejor casos de interferencia intersímbolo. Estos gráficos muestran la dispersión y rotación de la constelación y el ruido tanto ASE como AWGN (en caso se estar activado).

Evolucion de potencia óptica media: Se grafica la potencia óptica media a lo largo del enlace cada 2 km, mostrando cómo la señal se atenúa en distintos bloques de fibra, por fusión, por conexión y se amplifica en bloques EDFA. Este gráfico ayuda a visualizar el perfil de potencia y detectar posibles excesos de potencia o pérdidas excesivas.

Eye diagram: Se genera un eye diagram de la señal recibida tras el receptor, mostrando la apertura del ojo y la presencia de ISI. Este gráfico es crucial para evaluar la calidad de la señal y la efectividad del procesamiento digital en recepción. Cabe destacar que esta detección se hace previa al matched filter, por lo que el eye diagram refleja la calidad de la señal antes de la reducción de ISI y ruido. Un buen eye diagram indica que la señal es apta para demodulación con baja tasa de error. Su uso es común en telecomunicaciones para diagnóstico rápido de calidad de señal.

3.6.10. Visualización de waveforms en dominio temporal

Cada simulación genera un conjunto de gráficos temporales que representan, al menos, los siguientes waveforms: señal transmitida (TX), señal recibida inmediatamente después del canal (RX) y señal procesada tras el matched filter de recepción (POST-MF). Los gráficos incluyen tanto la envolvente de amplitud (potencia instantánea $|A(t)|^2$) como la fase instantánea $\arg\{A(t)\}$, y opcionalmente un espectrograma o la transformada de Hilbert para inspección detallada de desplazamientos de fase y dispersión temporal.

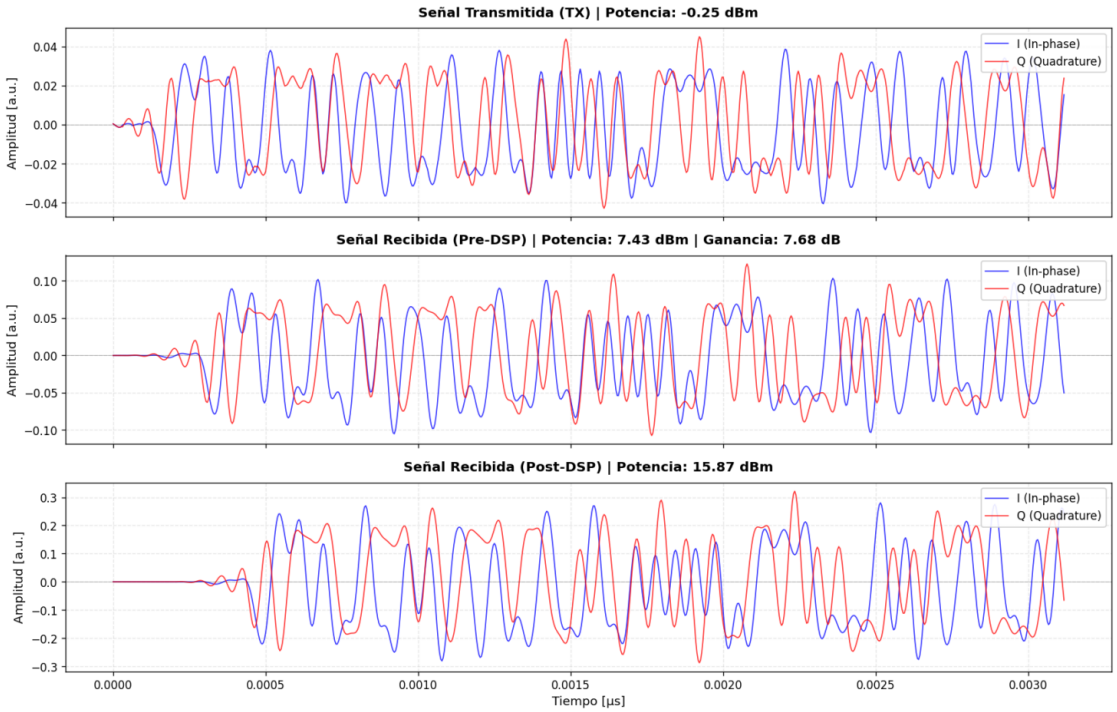

Fig. 3.18: Ejemplo de waveforms: (a) señal transmitida con AWGN, (b) señal al receptor tras propagación (efectos de dispersión y ruido ASE), y (c) señal tras matched filter y sincronización con reducción de ISI y mejora de SNR.

Estas visualizaciones sirven para:

- Identificar la acumulación de dispersión (la cual es muy evidente en BPSK, pero se aprecia en todas las modulaciones).
- Observar efectos no lineales.
- Comparar el impacto del matched filter en la recuperación de símbolos y reducción de ISI.

Técnicamente, las figuras se generan a partir de los arrays internos del simulador en un formato HDF5 (.h5). Donde si el cálculo se realizó en GPU, los datos se convierten a CPU mediante la utilidad de backend antes de renderizar esto con el fin de quitar la carga excesiva a la GPU la cual si crece sin control puede ocupar toda la memoria disponible. Los waveforms también pueden exportarse en formato CSV con los botones que observamos en la figura 3.19 para análisis off-line. Su funcionamiento se detalla en el anexo A.7.

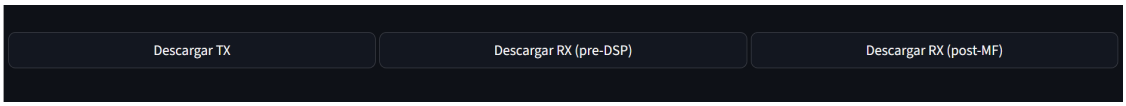

Fig. 3.19: Opciones de exportación de waveforms en la GUI: botones para guardar archivos en formato CSV y parámetros asociados. El código que implementa el manejo de estos botones y la generación de los archivos CSV se presenta en el Anexo A.6.1.

El archivo CSV resultante resumido de la entrada TX en una ejecución 16-QAM puede observarse a continuacion en la figura 3.20.

	A	B	C	D
1	# Waveform TX (Transmitido) - FiberSim			
2	# Timestamp: 20251124_201437			
3	# Fs = 256000000000.0 Hz			
4	# sps = 8			
5	# Modulacion = 16QAM			
6	# Ptx = 0.0005011872336272722 W			
7	# Columnas: sample_idx, real, imag, magnitude			
8	#			
9	0,-6.656539e-04,4.517557e-03,4.566335e-03			
10	1,-7.990702e-03,1.414154e-03,8.114872e-03			
11	2,6.266706e-03,-8.989058e-04,6.330848e-03			
12	3,-4.350330e-03,1.255537e-03,4.527885e-03			
13	4,2.542939e-03,-3.956274e-03,4.703046e-03			
14	5,-4.148278e-03,2.013153e-03,4.610965e-03			

Fig. 3.20: Ejemplo de archivo CSV generado con waveforms de TX. Cada columna representa: sample_id, parte real, parte imaginaria y magnitud. El archivo incluye metadatos en el encabezado con parámetros clave de la simulación. Este formato facilita análisis off-line en herramientas externas como MATLAB o Excel.

3.6.11. Análisis del Perfil del Enlace

La GUI genera automáticamente un gráfico del perfil del enlace que muestra la potencia óptica media y el OSNR a lo largo de la distancia, destacando bloques de fibra y EDFA, como se muestra en la Figura 3.21.

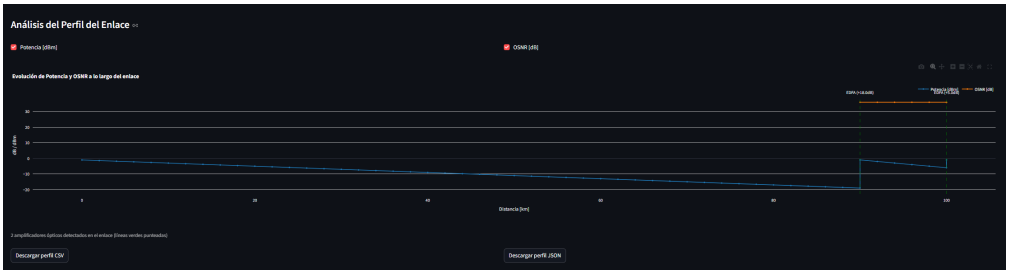

Fig. 3.21: Gráfico del perfil del enlace en la GUI. Muestra potencia óptica media (línea azul) y OSNR (línea naranja) a lo largo de la distancia, con bloques de fibra y EDFA detectados. Este gráfico ayuda a visualizar cómo la señal se atenúa y amplifica, y cómo varía el OSNR a lo largo del enlace.

Este gráfico ayuda a visualizar el comportamiento de la señal a lo largo del enlace. Al ser interactivo, solo basta con pasar el cursor sobre el gráfico para obtener información detallada de cada punto, lo que nos permite identificar puntos críticos donde la potencia cae por debajo de niveles aceptables o donde el OSNR se degrada significativamente por efectos del ruido ASE de cada EDFA. Existe tambien la opcion de guardar este perfil del enlace en formato CSV para análisis posterior fuera del simulador.

3.6.12. Gestión de Configuraciones y Trazabilidad

Mediante un menú lateral abatible, el simulador implementa un sistema robusto de gestión de configuraciones y trazabilidad para asegurar reproducibilidad de los resultados. Esto se logra mediante el uso de archivos JSON y la posibilidad de guardar facilmente nuestra configuración actual desde la GUI a través de un botón de "Guardar Configuración Actual"(Ver Figura 3.22). Este botón genera un archivo JSON con la configuración completa actual (parámetros globales, cadena de bloques, opciones de ejecución) y lo descarga automáticamente al equipo del usuario con un nómbre único que incluye fecha, hora y detalles que permitan identificar la configuración guardada como la modulación y el largo del enlace. Esto facilita compartir configuraciones entre diferentes usuarios y guardad distintos enlaces sin perder trazabilidad. Por otro lado nos permite cargar configuraciones previamente guardadas desde archivos JSON externos usando drag and drop o cargando el archivo mediante el botón "browse files"(Ver Figura 3.22).

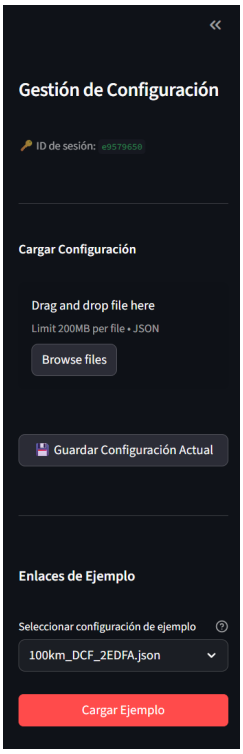

Fig. 3.22: Sección de gestión de configuraciones en la GUI. Vemos en su parte superior el id de la sesión, seguido por las opciones de guardado de la configuración actual en un archivo JSON mediante el botón ”Guardar Configuración”, o cargar una configuración existente desde un archivo JSON externo usando el botón ”Cargar Configuración”. En la parte inferior se encuentra el menú abatiible que contiene configuraciones de ejemplo validadas.

Finalmente como vemos en la parte inferior de la Figura 3.22, el simulador tiene ejemplos predefinidos de configuraciones comunes (enlaces cortos, enlaces largos con DCF, etc) que el usuario puede cargar rápidamente para probar diferentes escenarios sin necesidad de editar JSON manualmente o tener que crear un enlace de cero. Observamos tambien el ID de la sesión actual generado automáticamente por Streamlit, el cual es único para cada usuario y se utiliza para gestionar sesiones multiusuario en el servidor backend, como veremos a continuacion.

3.6.13. Uso Multi conexión

Streamlit permite múltiples conexiones simultáneas al servidor backend, lo que posibilita que varios usuarios accedan y utilicen la GUI de manera simultanea. Cada usuario interactúa con

su propia instancia de la aplicación, manteniendo estados independientes gracias a la gestión de sesiones de Streamlit. Esto es especialmente útil en entornos educativos o colaborativos, donde varios usuarios pueden experimentar con diferentes configuraciones y analizar resultados sin interferir entre sí utilizando un único servidor centralizado potente como backend de las ejecuciones. Para mantener este flujo multiusuario se implementaron mecanismos de gestión de sesiones y almacenamiento temporal de archivos generados (logs, configuraciones, waveforms) en archivos únicos por usuario basadas en identificadores de sesión. Esto asegura que cada usuario tenga acceso exclusivo a sus propios datos y resultados sin riesgo de colisiones o sobrescritura accidental. Al mismo tiempo el servidor centralizado realiza una limpieza periódica (cada 30 minutos) de archivos temporales para optimizar el uso de espacio en disco.

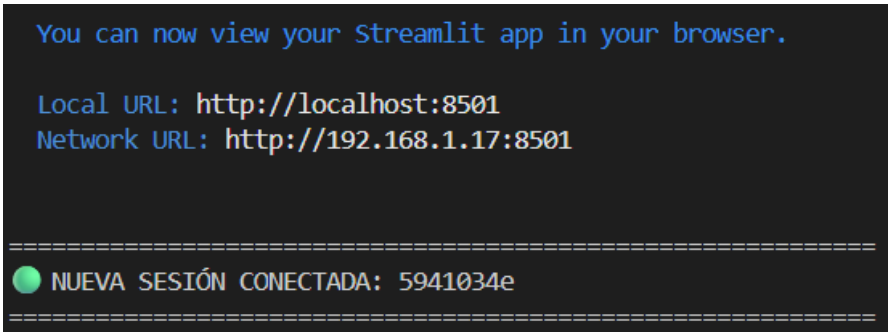

Fig. 3.23: Ejecución del servidor Streamlit. El servidor escucha en el puerto 8501, permitiendo que múltiples usuarios se conecten simultáneamente desde navegadores web en la misma red local. Cada usuario interactúa con su propia instancia de la aplicación, manteniendo estados independientes gracias a la gestión de sesiones de Streamlit.

Como vemos en la figura 3.23, al ejecutar la instancia de Streamlit, se abre un servidor local que escucha el puerto 8501 por defecto, permitiendo conexiones desde cualquier navegador web en la misma red local. Esto facilita el acceso multiusuario, ideal para entornos de laboratorio o aulas donde varios estudiantes pueden conectarse fácilmente al servidor centralizado evitando la necesidad de que cada usuario deba tener una GPU para poder usar el potencial del simulador. Cabe destacar que la conexión multiusuario está fuera del alcance de este proyecto, y su implementación es una beta funcional que deja espacio para mejoras futuras para optimizar la gestión de recursos y la administración de usuarios.

3.6.14. Formato de Configuración JSON

Las simulaciones se configuran mediante archivos JSON con esquema validado por Pydantic (`schema.py`). La estructura se divide en tres secciones principales: parámetros globales, definición de la cadena de bloques, y opciones de ejecución.

Sección `parGlob`: Parámetros globales Define los parámetros que afectan a toda la simulación: número de símbolos (`Nsymb`), tasa de bit (`Rb`), formato de modulación (`M`), roll-off del filtro RRC (`pulse_rolloff`), muestras por símbolo (`sps`), y potencia de transmisión (`Ptx_dBm`). Estos valores se propagan a todos los módulos del simulador.

Sección `chain`: Cadena de propagación Especifica la secuencia ordenada de bloques de fibra y EDFA. Cada bloque de fibra contiene parámetros físicos (L, β_2, γ, α, paso espacial dz), mientras que cada bloque EDFA define ganancia (G_{dB}) y factor de ruido (n_{sp}). La cadena puede incluir configuraciones adicionales como pérdidas de inserción entre bloques y parámetros de captura de constelaciones intermedias.

Sección `options`: Flags de ejecución Controla aspectos operacionales de la simulación: backend de cálculo (CPU/GPU), generación de gráficos, nivel de verbosidad en logs, y opciones de guardado de resultados. Permite ejecutar la misma configuración física en diferentes modos sin duplicar archivos.

Validación con Pydantic El módulo `schema.py` define modelos Pydantic que validan tipos de datos, rangos numéricos, y coherencia entre parámetros. Por ejemplo, se verifica que $M \in \{2, 4, 16\}$, que ganancias EDFA sean positivas, etc. Esta validación ocurre al cargar el JSON y antes de ejecutar la simulación, previniendo errores en tiempo de ejecución que podrían ocurrir después de minutos de cálculo. Un ejemplo completo de configuración JSON se presenta en Anexo A.6 Estos funcionan en conjunto con la validación de configuración para minimizar errores lo más posible.

3.6.15. Registro de Simulaciones Logs

Cada simulación genera un archivo de log en formato JSON (`logs/simlog_YYYY-MM-DD_HH-MM-SS.json`) que contiene:

- Configuración completa (parámetros globales, cadena de bloques)
- Resultados numéricos (BER, OSNR, potencias)
- Metadatos (timestamp, backend usado, duración de ejecución)
- Arrays de símbolos transmitidos y recibidos

Este registro permite:

- **Reproducibilidad**: Re-ejecutar exactamente la misma configuración.
- **Trazabilidad**: Auditar qué parámetros produjeron qué resultados.
- **Análisis batch**: Procesar múltiples logs para estudios paramétricos.

3.7. Desafíos Técnicos y Soluciones Implementadas

El desarrollo del simulador presentó retos específicos relacionados con la física de la transmisión óptica y la arquitectura de software. A continuación, se detallan los problemas críticos y las soluciones adoptadas.

3.7.1. Problema 1: Límite Estadístico de Resolución de BER

Descripción Con una longitud de secuencia por defecto de $N_{\text{sym}} = 8{,}192$, el límite inferior de BER medible fiable es aproximadamente $1/N_{\text{sym}} \approx 1{,}2 \times 10^{-4}$. Esto impedía validar el sistema en regímenes de alta calidad (BER $< 10^{-5}$) típicos de redes ópticas modernas antes de FEC.

Solución Parcial Se optimizó el generador PRBS y el manejo de memoria en GPU para permitir simulaciones con N_{sym} de hasta 65,536, mejorando la resolución a $\approx 1{,}5 \times 10^{-5}$. Sin embargo, esto sigue siendo insuficiente para evaluar sistemas con BER objetivo de 10^{-9} o

menores. Lo cual limita la capacidad de predecir el rendimiento en condiciones reales, pero nos entrega suficiente información para distinguir entre un sistema que tenga capacidad de corrección FEC y uno que no.

3.7.2. Problema 2: Error en Mapeo Gray de QPSK y 16-QAM

Descripción El problema más crítico del desarrollo fue un error fundamental en el mapeo de modulación: el simulador reportaba SNR de 4 dB y BER de 50 % en sistemas ideales sin dispersión ni ruido. Los símbolos demodulados eran completamente aleatorios respecto a los transmitidos, revelando un error en el código de modulación/demodulación.

Configuración ideal sin degradaciones reportaba:

- SNR medido: 4 dB → esperado: >30 dB
- BER medido: 50 % → esperado: ≈0
- Constelación: Símbolos dispersos aleatoriamente sin estructura

Este comportamiento imposible físicamente indicaba que el módulo `core/modem.py` generaba constelaciones incorrectas.

Causa Raíz La función `map_bits_to_symbols` implementaba mapeo bit-a-símbolo sin código Gray. El código original asignaba bits independientemente a ramas I y Q:

```
def map_bits_to_symbols ( bits , M =4 , xp ) :
    b = bits . reshape ( -1 , 2) . astype ( xp . int32 )
    I = 1.0 - 2.0 * b [: , 0]
    Qbits = b [: , 0] ^ b [: , 1] # XOR para Gray mapping
    Q = 1.0 - 2.0 * Qbits
    return ( I + 1j * Q ) / xp . sqrt (2.0)
```

Fig. 3.24: Mapa de símbolos QPSK incorrecto. Los bits [b0,b1] se mapean directamente a I y Q sin considerar adyacencia de símbolos.

Este mapeo viola el código Gray: símbolos adyacentes difieren en múltiples bits. Por ejemplo, [0,0]→(+1,+1) y [0,1]→(+1,-1) están en cuadrantes no adyacentes. El código Gray requiere que símbolos vecinos difieran en exactamente 1 bit para minimizar errores [29].

Solución Implementada: Se implementó mapeo Gray correcto usando operación XOR bit a bit

QPSK corregido:

```
def map_bits_to_symbols ( bits , M =4 , xp ) :
     b = bits . reshape ( -1 , 2) . astype ( xp . int32 )
    I = 1.0 - 2.0 * b [: , 0]
     Qbits = b [: , 0] ^ b [: , 1] # XOR para Gray mapping
     Q = 1.0 - 2.0 * Qbits
     return ( I + 1 j * Q ) / xp . sqrt (2.0)
```

Fig. 3.25: Mapa de símbolos QPSK corregido con código Gray. Los bits [b0,b1] se mapean a I y Q usando XOR para asegurar adyacencia de símbolos.

16-QAM corregido:

```
def gray2level(b1, b0, xp):
    # Gray: 00->+3, 01->+1, 10->-1, 11->-3
    two = 2*b1 + b0
    return xp.where(two==0, 3.0,
           xp.where(two==1, 1.0,
           xp.where(two==2, -1.0, -3.0)))

I = gray2level(b[:, 0], b[:, 1], xp)
Q = gray2level(b[:, 2], b[:, 3], xp)
return (I + 1j*Q) / xp.sqrt(10.0)
```

Fig. 3.26: Mapa de símbolos 16-QAM corregido con código Gray. Los bits [b0,b1,b2,b3] se mapean a I y Q usando XOR para asegurar adyacencia de símbolos.

3.7.3. Problema 3: Eye Diagram Post-Matched Filter Incorrecto

Descripción El eye diagram generado mostraba cierre completo del ojo incluso para señales con BER aceptable ($< 10^{-3}$), contradiciendo las constelaciones bien definidas observadas. La visualización sugería ISI (Interferencia Inter-Simbólica) severa inexistente en la señal real.

Causa Raíz El eye diagram se calculaba sobre la señal **antes** de aplicar el matched filter de recepción. En esta etapa, la señal aún contiene AWGN, resultando en trazas superpuestas que no representan la calidad real del enlace a pesar de que el SNR fuera alto.

Solución Se reubicó la generación del eye diagram en el pipeline de procesamiento:

Antes: Señal RX sobremuestreada → Eye Diagram
Después: Señal RX sobremuestreada → **Matched Filter RRC** → Eye Diagram

Resultado El eye diagram ahora refleja correctamente la calidad de la señal post-DSP, mostrando aperturas limpias y representativas del enlace, se observa apertura clara con cruzamientos definidos en el centro, consistente con las métricas de BER reportadas.

3.8. Síntesis del Desarrollo

Este capítulo documentó el proceso de implementación del simulador de propagación en fibra óptica, logrando un equilibrio entre fidelidad física y viabilidad computacional. Los hitos principales incluyen:

- **Arquitectura Híbrida CPU/GPU**: Implementación transparente mediante ‘array_api‘ que permite aceleración en tarjetas NVIDIA sin modificar la lógica del SSFM.
- **Modelo Físico Robusto**: Corrección de las ecuaciones de ruido ASE y gestión separada de ruido eléctrico y óptico para cálculos precisos de OSNR en formatos multinivel.
- **Interfaz de Usuario**: Integración con Streamlit para la configuración dinámica de bloques (Fiber, EDFA) y visualización en tiempo real.
- **Control de Simulación**: Opciones avanzadas para backend, pasos espaciales, pérdidas por inserción y captura de constelaciones.
- **Visualización de Resultados**: Gráficos 3D interactivos, constelaciones 2D, eye diagrams y perfiles de enlace para análisis detallado.
- **Gestión de Configuraciones**: Almacenamiento y carga de configuraciones y ejemplos predefinidos en JSON para reproducibilidad.
- **Registro de Simulaciones**: Logs detallados en JSON para trazabilidad y análisis posterior.
- **Conexión multiusuario**: Soporte para múltiples usuarios simultáneos mediante gestión de sesiones en el servidor Streamlit.

Habiendo resuelto las inconsistencias en el modelo de ruido y validado la cadena de procesamiento digital (DSP), el sistema se encuentra operativo para la generación de resultados experimentales, los cuales se presentan en el Capítulo 4.

Dado el volumen extenso del código fuente completo del simulador, se ha optado por incluir únicamente extractos representativos dentro del documento principal. El código fuente completo, instrucciones de instalación y documentación detallada se encuentran disponibles en el Anexo B.

Capítulo 4

Resultados

4.1. Introducción

Este capítulo presenta los resultados experimentales obtenidos con el simulador desarrollado, en donde compararemos con el comportamiento esperado de enlaces conocidos. También incluyendo mediciones de desempeño computacional, validación del modelo de propagación SSFM, análisis de OSNR y BER, y comparación con el prototipo MATLAB preliminar. Se documentan las configuraciones de prueba utilizadas, se presentan tablas comparativas de tiempos de ejecución en CPU y GPU, y se discuten las limitaciones identificadas durante la validación del sistema. Con el fin de mejorar la claridad comparativa, se referirá al simulador desarrollado como **FiberSim** en adelante.

4.2. Validación de la Estimación de OSNR

Para verificar la fidelidad del simulador en el cálculo del OSNR, se realizó una validación cruzada utilizando **GNPy** (Gaussian Noise Model in Python) como referencia. GNPy es una herramienta de planificación de redes ópticas de código abierto, respaldada por el Telecom Infra Project (TIP), que emplea modelos analíticos basados en el modelo de Ruido Gaussiano para estimar la calidad de la señal [31].

El objetivo de esta prueba es validar exclusivamente el cálculo y acumulación del ruido de Emisión Espontánea Amplificada (ASE) generado por los amplificadores ópticos (EDFA) a

lo largo del enlace, aislando este efecto de las penalidades no lineales.

4.2.1. Configuración del Escenario de Validación

Se diseñó un enlace heterogéneo de 5 tramos que combina diferentes tipos de fibra y ganancias de amplificación, sometiendo al simulador a condiciones de acumulación de ruido no uniformes. La configuración utilizada en ambos entornos (FiberSim y GNPy) es la siguiente:

- **Parámetros de Señal**:
  - Modulación: BPSK
  - Tasa de símbolos (R_s): 32 GBaud
  - Potencia de transmisión (P_{tx}): Barrido de -8 dBm a +10 dBm
- **Topología del Enlace**:
  1. **Tramo 1 y 2**: 50 km de Fibra A ($\alpha \approx 0{,}2$ dB/km, $\beta_2 = -2{,}1 \times 10^{-26}$ s^2/m) + EDFA (G=10 dB, $n_{sp} = 1{,}6$).
  2. **Tramo 3 y 4**: 50 km de Fibra B ($\alpha \approx 0{,}2$ dB/km, $\beta_2 = -6{,}0 \times 10^{-27}$ s^2/m) + EDFA (G=10 dB, $n_{sp} = 1{,}6$).
  3. **Tramo 5**: 31.8 km de Fibra C ($\alpha \approx 0{,}5$ dB/km, $\beta_2 = 8{,}5 \times 10^{-26}$ s^2/m) + EDFA (G=4 dB, $n_{sp} = 1{,}7$).
  4. **Resolucion SSFM**: se usó un paso dz=100m en todos los tramos, asegurando precisión en la propagación y manteniendo tiempos de simulación razonables.

4.2.2. Análisis de Resultados

La Figura 4.1 y la Tabla 4.1 muestran la evolución del OSNR calculado por ambas herramientas en función de la potencia de entrada.

Tabla 4.1: Comparación de OSNR estimado: GNPy vs. FiberSim.

Potencia Tx [dBm]	GNPy [dB]	FiberSim [dB]	Diferencia [dB]
-8	34.68	33.61	1.07
-6	36.68	35.61	1.07
-4	38.68	37.61	1.07
-2	40.68	39.61	1.07
0	42.68	41.61	1.07
2	44.68	43.61	1.07
4	46.68	45.61	1.07
6	48.68	47.61	1.07
8	50.68	49.61	1.07
10	52.68	51.61	1.07

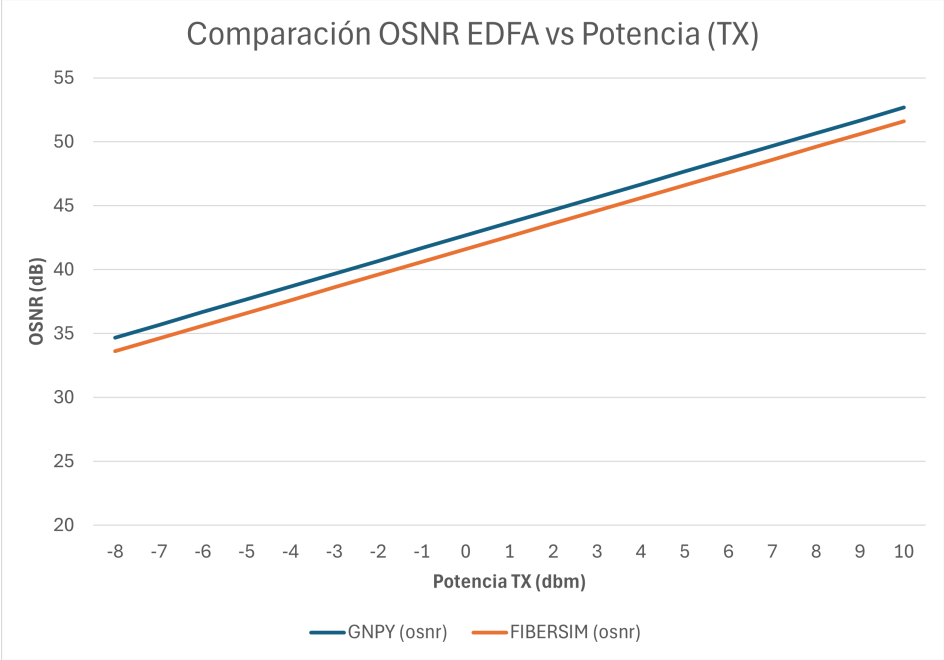

Fig. 4.1: Validación de OSNR: Comparación entre el modelo analítico de GNPy y la simulación numérica de FiberSim. Se observa una tendencia lineal idéntica con un offset constante.

Los resultados evidencian una consistencia notable entre ambos simuladores. Las curvas son paralelas con una pendiente unitaria (1 dB/dB), lo que confirma que FiberSim modela

correctamente la física de la acumulación de ruido ASE: el OSNR escala linealmente con la potencia de señal cuando el ruido es aditivo y constante (régimen lineal).

Se observa una diferencia sistemática constante de 1,07 dB en todo el rango. Esta discrepancia no indica un error en el modelo de propagación, sino una diferencia en la normalización del ancho de banda de referencia (B_{ref}) para el cálculo de ruido. Mientras GNPy reporta OSNR referenciado estrictamente a 0.1 nm (12.5 GHz), la integración numérica espectral en FiberSim puede presentar ligeras variaciones dependiendo de la resolución en frecuencia. Además de un manejo un poco distinto de las perdidas de potencia a través del enlace. Sin embargo, la constancia del error confirma la validez del algoritmo de acumulación de ruido del simulador desarrollado.

4.3. Análisis de BER y Tolerancia No Lineal

Tras validar la acumulación lineal de ruido (OSNR), se procedió a evaluar el desempeño del simulador en presencia de efectos no lineales, utilizando la Tasa de Error de Bit (BER) como métrica principal. Para este análisis, se replicó un escenario de transmisión compensado por dispersión, basado en el trabajo fundamental de Ip y Kahn (2008) [32].

4.3.1. Importancia del Escenario de Referencia

El estudio de Ip y Kahn (2008) es un referente en la literatura de comunicaciones ópticas coherentes, ya que establece los límites de desempeño teóricos y prácticos para sistemas con compensación electrónica de dispersión frente a mapas de dispersión óptica tradicionales. Reproducir sus curvas de BER vs. Potencia de Transmisión permite validar no solo la física de la fibra (interacción dispersión-no linealidad), sino también la implementación de los algoritmos DSP en el receptor.

4.3.2. Configuración del Enlace Compensado

Se simuló un enlace de 1,600 km con gestión de dispersión simétrica perfecta por tramo, diseñado para estresar el balance entre ruido y no linealidad. La configuración detallada se presenta a continuación:

- **Transmisor**: QPSK, 10.7 GBaud ($R_b \approx 42{,}8$ Gbps), pulsos RRC (roll-off 0.1).
- **Enlace**: 10 tramos idénticos. Cada tramo consiste en:
  - 80 km de Fibra SMF ($\beta_2 = -2{,}17 \times 10^{-26}$ s^2/m, $\gamma = 1{,}3$ W^{-1}km^{-1}) + EDFA (16 dB).
  - 80 km de Fibra DCF ($\beta_2 = +2{,}17 \times 10^{-26}$ s^2/m, $\gamma = 1{,}3$ W^{-1}km^{-1}) + EDFA (16 dB).
- **Receptor**: Coherente con detección homodina y DSP estándar.

Este ejemplo es perfecto para validar la capacidad del simulador de capturar la dinámica no lineal en presencia de compensación de dispersión, ya que el enlace está diseñado para maximizar la interacción entre estos efectos debido a su longitud y amplificación de los EDFA.

Es importante destacar que para esta validación específica **no se activó el módulo de ruido AWGN** en el receptor. El ruido presente en el sistema proviene exclusivamente de la emisión espontánea (ASE) acumulada en los 20 amplificadores ópticos del enlace. Esta decisión se tomó para aislar el comportamiento del modelo de propagación, enfocándose en la interacción entre dispersión y no linealidad.

4.3.3. Resultados de BER vs. Potencia

Se evaluó el BER utilizando dos métodos de medición implementados en FiberSim, comparando los resultados con las curvas teóricas esperadas.

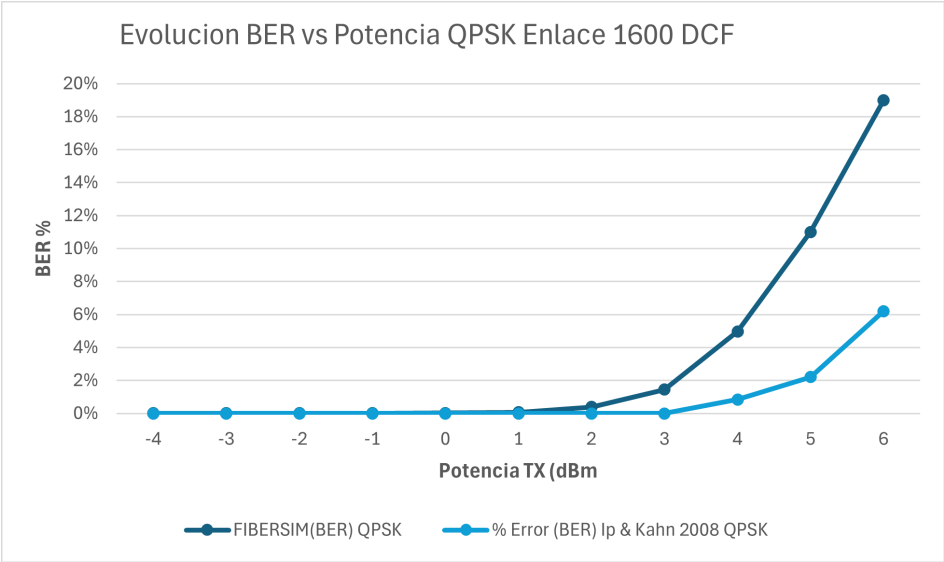

Fig. 4.2: Comparación de BER en escala lineal. Se observa la tendencia del error a aumentar con la potencia debido a efectos no lineales.

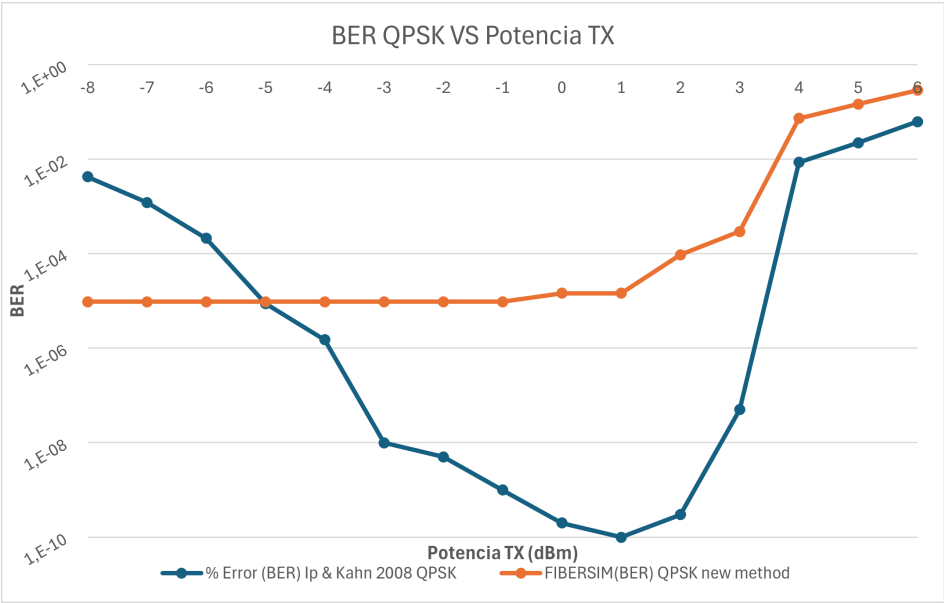

Fig. 4.3: Curvas de BER en escala logarítmica. Se aprecia mejor las pequeñas variaciones del BER, y vemos como el enlace experimental es limitado por ruido a baja potencia y por no-linealidades a alta potencia, comportamiento que se observa en altas potencias por parte de FiberSim, pero que es no existente en bajas potencias debido a la ausencia de ruido AWGN en el receptor. Tambien apreciamos el límite estadístico de la simulación en torno a $1{,}52 \times 10^{-5}$.

4.3.4. Discusión de la Validación

Los resultados mostrados en las Figuras 4.2 y 4.3 permiten extraer conclusiones clave sobre la fidelidad del simulador:

1. **Validación de la Tendencia (Forma de la Curva)**: El simulador reproduce correctamente la curva característica de aumento de BER por la no linealidad a partir de los 0 dBm. A potencias bajas representa bien el comportamiento experimental, mientras que a potencias altas (> 2 dBm), la BER se degrada rápidamente debido al desfase no lineal, coincidiendo cualitativamente con lo reportado por Ip y Kahn.

2. **Régimen de Baja Potencia y AWGN**: Se observa una divergencia en el régimen lineal (a bajas potencias TX), donde FiberSim reporta una BER menor (mejor desempeño) que la referencia. Esto es consecuencia directa de la desactivación del módulo AWGN en el receptor. En la realidad como representa el paper de referencia, el ruido térmico y de disparo del receptor domina en este régimen. La ausencia de este piso de ruido en la simulación evidencia la necesidad de incorporar el módulo AWGN para representar fielmente escenarios de baja OSNR, mejora que fue implementada en etapas posteriores del desarrollo (ver Sección **??**).

3. **Límite Estadístico de la Simulación**: El simulador presenta un piso de error medible mínimo en torno a $1{,}52 \times 10^{-5}$, determinado por el inverso del número de símbolos simulados ($N_{sym} = 65{,}536 = 2^{16}$). Para resolver tasas de error menores (como las del paper de referencia) se requeriría simular órdenes de magnitud más de símbolos, lo cual incrementaría el costo computacional sin aportar valor adicional a la validación de la dinámica no lineal.

Es fundamental destacar que el objetivo de esta validación no es replicar el valor exacto de BER reportado en la literatura, sino validar la **forma de la curva** y el comportamiento del sistema ante la variación de potencia. La magnitud absoluta del BER es extremadamente sensible a la implementación específica de los algoritmos de DSP y al método de detección exacto. Mientras que el trabajo de referencia puede emplear técnicas de detección optimizadas o ideales, FiberSim utiliza una implementación estándar sin pre-procesamiento avanzado.

4.3.5. Evolución de Constelaciones QPSK a lo Largo del Enlace

Para visualizar directamente el impacto de los efectos no lineales sobre la calidad de la señal, se analizó la evolución espacial de las constelaciones QPSK a distintas potencias de transmisión. La Figura 4.4 muestra capturas de la constelación en múltiples puntos del enlace de 1,600 km para dos potencias representativas.

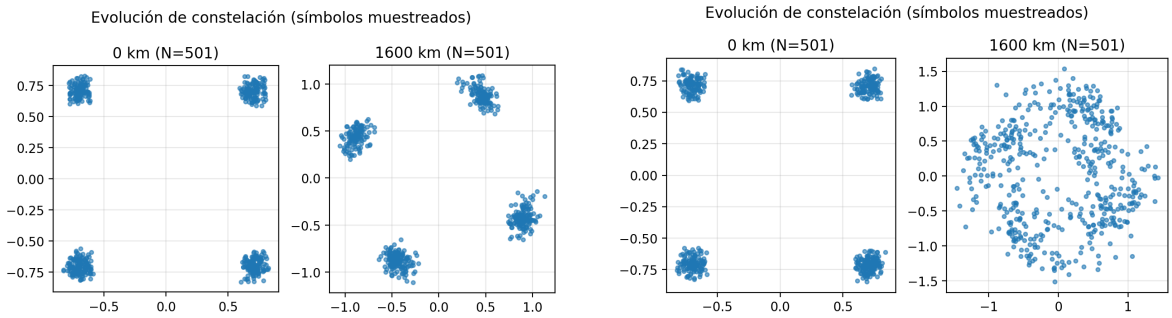

(a) $P_{tx} = -3$ dBm: Degradación moderada (b) $P_{tx} = 4$ dBm: Colapso por SPM severa

Fig. 4.4: Comparación de evolución de constelación QPSK sin AWGN (solo ruido ASE) a lo largo de 1,600 km. (a) A -3 dBm se observa dispersión moderada y leve rotación de fase, indicando presencia incipiente de efectos no lineales controlables. (b) A 4 dBm se aprecia degradación catastrófica dominada por auto-modulación de fase, con dispersión radial extrema y rotación no uniforme que colapsa la constelación, confirmando dominancia de la no linealidad Kerr.

4.3.5.1. Análisis de la Degradación No Lineal

La comparación entre ambas figuras permite extraer conclusiones clave sobre la naturaleza de las penalidades no lineales:

1. **Régimen de Potencia Moderada ($P_{tx} = -3$ dBm)**: La Figura 4.4a muestra una degradación gradual pero limitada. Los cuatro símbolos QPSK permanecen claramente distinguibles hasta el final del enlace, aunque con dispersión creciente. Este comportamiento indica que el sistema opera cerca del punto óptimo de balance entre ruido ASE y no linealidad.

2. **Régimen de Alta Potencia ($P_{tx} = 4$ dBm)**: La Figura 4.4b revela una degradación catastrófica. Ya en los primeros tramos (80-236 km) se observa rotación de fase significativa, y hacia el final del enlace (1,600 km) la constelación colapsa en un

patrón circular/anular, típico de SPM severa. Este resultado es coherente con las curvas de BER presentadas anteriormente, donde potencias > 2 dBm producen tasas de error inaceptables.

3. **Validación de la Física Kerr**: La transición desde una constelación degradada pero reconocible (-3 dBm) hacia una completamente colapsada (4 dBm) valida que el simulador captura correctamente la interacción no lineal acumulativa. Al ser la potencia TX el único parámetro modificado entre ambas simulaciones, la diferencia observada aísla el efecto del término no lineal $\gamma|A|^2$ en la ecuación NLSE.

Estos resultados proporcionan evidencia visual directa de la necesidad de operar en el régimen de potencia óptima identificado en las curvas de BER vs. Potencia TX.

4.3.6. Resultados Tras Calibración del Sistema

Tras la implementación y calibración del módulo de ruido AWGN (ver Sección **??**), se repitió el mismo experimento del enlace compensado de 1,600 km para evaluar la mejora en la fidelidad de las curvas de BER. Se redujo el número de símbolos a $N_{sym} = 32{,}768 = 2^{15}$, estableciendo el piso estadístico de error medible en $\approx 3{,}05 \times 10^{-5}$, para mantener tiempos de simulación razonables.

Metodología de Medición: Para esta validación comparativa, se utilizó un esquema de detección coherente *pre-DSP* que emula las condiciones del experimento de Ip y Kahn (2008), sin ecualización ni compensación digital avanzada. Las métricas de BER y SNR fueron calculadas externamente a partir de las formas de onda (waveforms) exportadas por el simulador en formato CSV, utilizando el mismo demodulador implementado en el receptor del simulador pero deshabilitando las etapas de procesamiento adaptativo. Este enfoque permite aislar el efecto de la propagación física del enlace, separándolo de las mejoras que introduciría un DSP completo, proporcionando así una comparación más directa con las condiciones experimentales reportadas en la literatura.

4.3.6.1. Comparación BER: Antes y Después de Calibración

La Figura 4.5 y la Tabla **??** presentan los resultados del sistema calibrado comparados con la referencia de Ip y Kahn (2008).

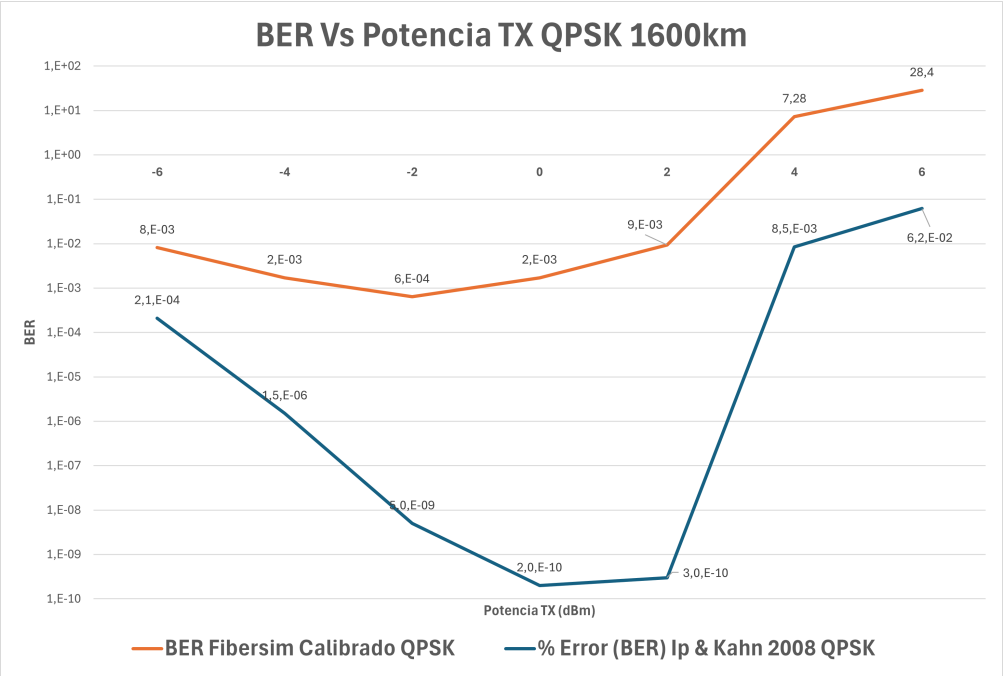

Fig. 4.5: BER pre-DSP vs. Potencia TX tras calibración del sistema. Se observa la mejora sustancial en la reproducción de la curva característica parabólica, con un punto óptimo de operación entre -2 y 0 dBm, consistente con la teoría. Es importante destacar que las mediciones son pre-DSP, sin matched filtering.

4.3.6.2. Análisis del SNR Calibrado

La Figura 4.6 muestra la evolución del SNR medido en la constelación recibida en función de la potencia de transmisión. Estos valores de SNR, medidos directamente sobre las muestras de la señal recibida sin procesamiento DSP ni matched filtering, reflejan fielmente la degradación introducida por el canal físico (ruido ASE + distorsión no lineal) y para mantener la consistencia con el método utilizado en el paper.

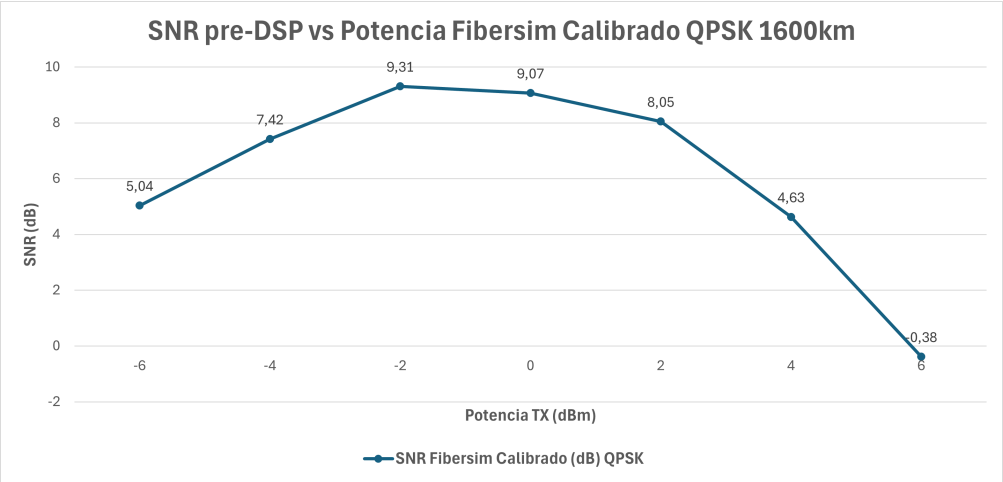

Fig. 4.6: SNR pre-DSP vs. Potencia TX en el sistema calibrado. Se observa un máximo en torno a -2 dBm, después del cual la degradación no lineal domina. Los valores SNR son bajos debido a la ausencia del matched filtering, el cual suele aumentar significativamente la relación señal-ruido efectiva.

4.3.6.3. Interpretación de los Resultados Calibrados

Los resultados post-calibración demuestran una mejora sustancial en la fidelidad física del simulador:

1. **Forma de Curva Consistente**: La curva BER vs. Potencia ahora exhibe la característica forma parabólica, con un punto óptimo de operación entre -2 y 0 dBm. Este comportamiento es consistente con la teoría de enlaces compensados por dispersión, donde existe un balance óptimo entre ruido AWGN + ruido ASE a baja potencia y distorsión no lineal (dominante a alta potencia), obteniendo un comportamiento esperado de un enlace óptico coherente.

2. **Coherencia con SNR**: La curva de SNR alcanza su máximo en -2 dBm ($\approx$ 9,31 dB), coincidiendo con el punto de mínimo BER. Los valores relativamente bajos de SNR ($<$ 10 dB) son consistentes con un esquema de detección pre-DSP sin ecualización, donde la señal recibida aún contiene todas las degradaciones del canal. Este resultado valida la coherencia interna de las métricas del simulador y confirma que el punto óptimo de operación está determinado por el compromiso entre OSNR y penalidad no lineal.

3. **Magnitud Absoluta vs. Tendencia**: Aunque persisten diferencias en los valores absolutos de BER (especialmente en el régimen de baja potencia), la **tendencia** es ahora cualitativamente correcta. Como se enfatizó anteriormente, el objetivo primordial de esta validación es reproducir la forma característica de la curva y el punto de operación óptimo, no los valores numéricos exactos. Las diferencias numéricas se atribuyen a:
    - Resolución estadística limitada (N_{sym} = 32,768 vs. millones de símbolos en mediciones experimentales reales).
    - Diferencias en la cadena completa de DSP (el paper puede utilizar algoritmos de sincronización de portadora, recuperación de fase y ecualización ciega más sofisticados que no están documentados en detalle).
    - Uso de detección pre-DSP en esta validación vs. posibles mejoras por procesamiento completo en el trabajo de referencia.
    - Posibles diferencias en los parámetros físicos exactos del enlace (tolerancias de fabricación de fibra, perfiles de dispersión reales).
4. **Validación del Modelo de Ruido**: La incorporación del módulo AWGN eliminó la divergencia artificial en el régimen de baja potencia observada en la primera iteración, demostrando que el modelo de ruido completo (ASE + AWGN) es esencial para representar fielmente el comportamiento de receptores coherentes reales.

En conclusión, los resultados calibrados validan que FiberSim captura correctamente la física subyacente de la propagación en fibra óptica no lineal y la acumulación de ruido, proporcionando una herramienta confiable para el diseño y optimización de enlaces ópticos coherentes.

4.4. Impacto de la Tasa de Símbolos en Enlaces Dispersivos

Para evaluar el comportamiento del simulador en régimen puramente dispersivo minimizando efectos no lineales a través de una baja potencia TX, se analizó un enlace simple de 80 km de fibra SMF con baja potencia de lanzamiento (P_{tx} = 1 mW). Este escenario permite validar la correcta implementación de la dispersión cromática y su interacción con la tasa de símbolos.

4.4.1. Configuración del Escenario

Se diseñó un enlace minimalista para aislar el efecto dispersivo:

- **Enlace**: 80 km de fibra SMF ($\beta_2 = -2{,}127 \times 10^{-26}$ s^2/m, $\gamma = 1{,}3$ W^{-1}km^{-1}, $\alpha = 0{,}2$ dB/km)
- **Modulación**: BPSK de mínima complejidad para aislar dispersión
- **Potencia TX**: 1 mW (0 dBm) régimen lineal, efectos Kerr despreciables
- **Conformación de pulsos**: RRC con roll-off $\beta = 0{,}25$
- **Parámetro variable**: Tasa de símbolos $R_s = \{10, 16, 32\}$ GBaud

4.4.2. Fundamento Teórico: Dispersión Cromática y Penalidad por Baudrate

La dispersión cromática introduce un ensanchamiento temporal de los pulsos proporcional a la distancia recorrida y al cuadrado del ancho espectral de la señal. Para un pulso inicial con ancho temporal T_0, el ancho temporal tras propagarse una distancia L en presencia de dispersión β_2 está dado por:

$$T(L) = T_0 \sqrt{1 + \left(\frac{\beta_2 L}{T_0^2} \right)^2}$$

Dado que el ancho espectral de la señal es proporcional a la tasa de símbolos ($\Delta\nu \propto R_s$), al incrementar R_s se amplifica el ensanchamiento temporal, lo que resulta en:

1. **Mayor Interferencia Intersimbólica (ISI)**: Pulsos adyacentes se solapan en el tiempo, degradando la capacidad del receptor para distinguir símbolos.
2. **Dispersión de Constelación**: En el plano IQ, la dispersión temporal se manifiesta como una ”rotación de fase dependiente de la frecuencia”, generando trayectorias helicoidales características en visualizaciones 3D (distancia vs. I vs. Q).
3. **Incremento de BER**: La ISI introduce errores de decisión en el receptor, especialmente en ausencia de compensación digital o de DCF.

4.4.3. Resultados Experimentales

Las Figuras 4.7a, 4.7b y 4.7c muestran la evolución espacial de la constelación para las tres tasas de símbolos evaluadas.

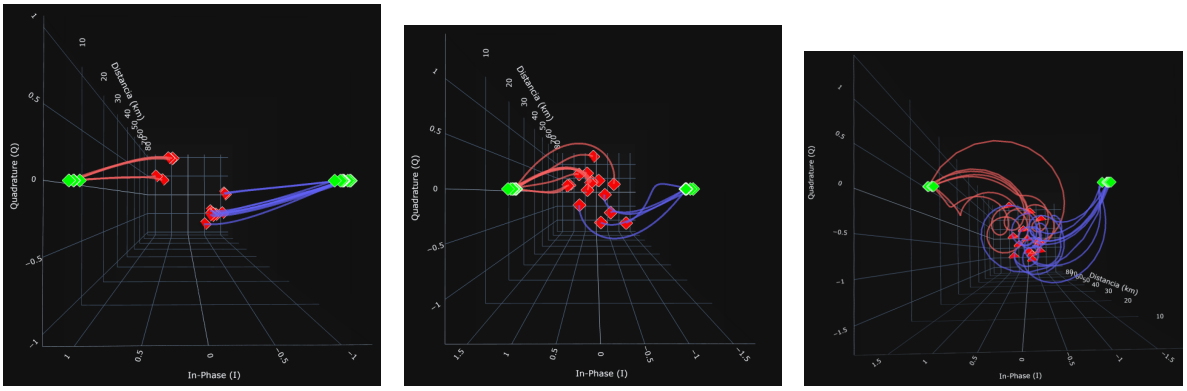

(a) 10 GBaud (b) 16 GBaud (c) 32 GBaud

Fig. 4.7: Evolución 3D de la constelación BPSK en función de la distancia para diferentes tasas de símbolos en un enlace de 80 km SMF. Las trayectorias helicoidales evidencian la rotación de fase inducida por dispersión cromática, cuya severidad escala con R_s^2. En verde vemos los puntos TX, y en rojo los puntos RX.

4.4.4. Análisis de Resultados

La Tabla 4.2 resume el BER medido para cada configuración:

Tabla 4.2: BER en función de la tasa de símbolos (Enlace 80 km SMF, $P_{tx} = 1$ mW)

Tasa de Símbolos [GBaud]	BER Medido	Comentario
10	$\approx 8{,}9 \times 10^{-5}$	Dispersión controlable
16	$\approx 17\,\%$	ISI alta
32	$\approx 37\,\%$	ISI extrema

4.4.4.1. Análisis de resultados

1. **Escalamiento Cuadrático de Penalidad**: El incremento de BER no es lineal con R_s, sino que escala aproximadamente con R_s^2 debido a la dependencia cuadrática de la

dispersión con el ancho espectral. Este comportamiento confirma que el simulador implementa correctamente el operador de dispersión en el método SSFM.

2. **Trayectorias Helicoidales**: Las visualizaciones 3D revelan que, a mayor tasa de símbolos, las espirales de fase son más pronunciadas y presentan mayor número de vueltas completas. Esto es consistente con el aumento de la rotación de fase acumulada $\Delta\phi \propto \beta_2 L\omega^2$, donde $\omega \propto R_s$.

3. **Ausencia de Efectos No Lineales**: Dado que $P_{tx} = 1$ mW y $L = 80$ km, la longitud efectiva no lineal $L_{eff} = (1-e^{-\alpha L})/\alpha \approx 22$ km resulta en una fase no lineal despreciable $\phi_{NL} = \gamma P_{tx} L_{eff} \approx 0{,}03$ rad $\ll \pi$. La degradación observada es, por tanto, puramente dispersiva.

4. **Validación de Modelo Dispersivo**: La concordancia entre la teoría ($T \propto \sqrt{1 + (R_s L)^2}$) y los resultados experimentales, valida la implementación del operador de dispersión en el dominio de Fourier del SSFM.

4.4.5. Conclusiones del Experimento

Este análisis demuestra que:

- FiberSim captura correctamente la penalidad por dispersión cromática en función de la tasa de símbolos.
- Las visualizaciones 3D proporcionan una herramienta intuitiva para diagnosticar degradaciones dispersivas vs. no lineales.
- El simulador es capaz de operar en régimen puramente lineal ($\phi_{NL} \ll 1$), validando la correcta separación de operadores lineales/no lineales en el SSFM.

4.4.6. Compensación de Dispersión y Visualización 3D

La dispersión cromática, si bien es un fenómeno fundamental en fibras ópticas, puede ser compensada mediante el uso estratégico de fibras con coeficiente de dispersión de signo opuesto. Este principio es la base de los mapas de dispersión en enlaces de larga distancia, donde fibras estándar (SMF, $\beta_2 < 0$) se alternan con fibras compensadoras de dispersión (DCF, $\beta_2 > 0$).

4.4.6.1. Principio de Compensación Perfecta

Para un enlace con dos segmentos de fibra, la compensación perfecta de dispersión se logra cuando:

$$\beta_2^{(1)} L_1 + \beta_2^{(2)} L_2 = 0$$

donde $\beta_2^{(1)}$ y $\beta_2^{(2)}$ son los coeficientes de dispersión de las fibras SMF y DCF, respectivamente, y L_1, L_2 sus longitudes. En el caso particular de fibras con magnitudes idénticas de β_2 pero signos opuestos, la condición se simplifica a $L_1 = L_2$.

4.4.6.2. Experimento de Compensación: Enlace 80 km + 80 km DCF

Para demostrar la capacidad de FiberSim para modelar compensación de dispersión y validar el poder de diagnóstico de las visualizaciones 3D, se simuló un enlace simétrico:

- **Segmento 1**: 80 km SMF con $\beta_2 = -2{,}127 \times 10^{-26}$ s^2/m
- **Segmento 2**: 80 km DCF con $\beta_2 = +2{,}127 \times 10^{-26}$ s^2/m
- **Condición**: Misma magnitud de dispersión acumulada en ambos tramos, signos opuestos

La Figura 4.8 muestra la evolución espacial de la constelación a lo largo de este enlace compensado.

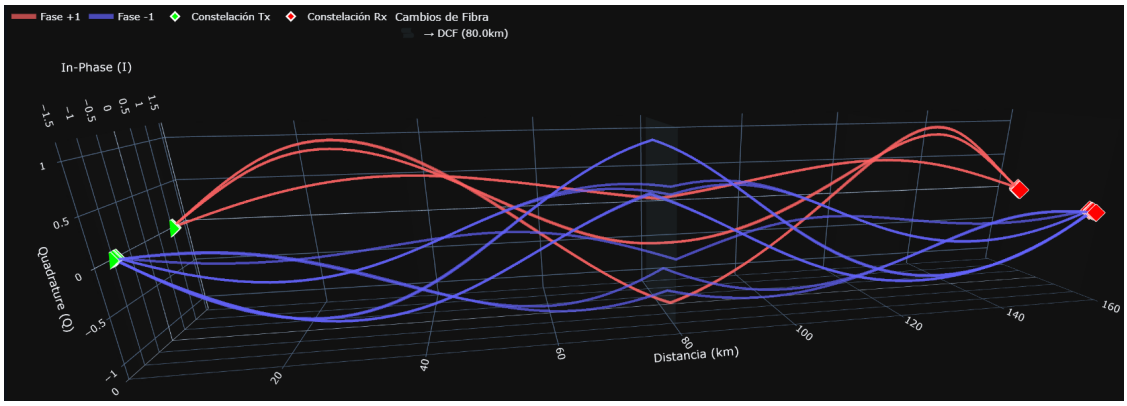

Fig. 4.8: Evolución 3D de la constelación BPSK en enlace con compensación perfecta de dispersión (80 km SMF + 80 km DCF) con 18 Gbaud. Se observa claramente el cambio de sentido de rotación en la trayectoria helicoidal al transitar de la fibra SMF (dispersión negativa, espiral horario) a la DCF (dispersión positiva, espiral antihorario). Al final del enlace (160 km), la constelación retorna prácticamente a su estado inicial, validando la compensación perfecta con un BER de 1.5e-5.

4.4.6.3. Análisis de la Visualización 3D como Herramienta de Diseño

La Figura 4.8 revela características clave que convierten a las representaciones 3D en herramientas esenciales para el diseño de enlaces:

1. **Inversión de Trayectoria Helicoidal**: En los primeros 80 km (fibra SMF), los símbolos describen una espiral en un sentido horario. Al ingresar a la fibra DCF (visible como un plano dentro de la visualización 3D), la trayectoria invierte su sentido de rotación, trazando una espiral en sentido antihorario. Este comportamiento es una firma única de la compensación de dispersión.

2. **Diagnóstico Visual Inmediato**: La simple inspección de la forma de la trayectoria permite determinar:

   - **Subcompensación**: Si al final del enlace la espiral no retorna completamente al punto de partida, indica que $|\beta_2^{(1)} L_1| \neq |\beta_2^{(2)} L_2|$.
   - **Sobrecompensación**: Si la espiral completa más de una vuelta en sentido inverso antes de finalizar.
   - **Compensación perfecta**: Retorno al punto inicial con dispersión residual mínima.

3. **Optimización de Longitudes de Fibra**: Esta visualización permite ajustar iterativamente las longitudes L_1 y L_2 hasta lograr la compensación óptima. El diseñador puede identificar visualmente si se requiere más o menos DCF. No necesariamente eficiente, pero extremadamente intuitivo para usuario.

4.4.6.4. Ventajas de la Representación 3D en el Diseño de Enlaces

Las visualizaciones tradicionales 2D (diagramas IQ estáticos) solo muestran el estado final de la constelación o en puntos determinados, perdiendo información crítica sobre la *evolución* de la señal a lo largo del enlace. En contraste, las representaciones 3D (distancia vs. I vs. Q) ofrecen:

- **Trazabilidad espacial**: Identificación del punto exacto donde ocurren cambios en la señal a lo largo del enlace.
- **Intuición física**: La rotación de fase por dispersión se manifiesta como movimiento helicoidal, análogo a la propagación de ondas electromagnéticas en guías de onda.
- **Validación de mapas de dispersión**: Verificación visual de que cada segmento del mapa contribuye correctamente a la compensación global.
- **Educación y comunicación**: Las trayectorias 3D facilitan la explicación y descubrimiento de fenómenos físicos complejos a estudiantes.

En este experimento específico, la Figura 4.8 confirma que el simulador FiberSim modela correctamente la compensación de dispersión, ya que la constelación al final del enlace (160 km) recupera su estructura original y nos da como resultado el minimo BER calculable con la cantidad de símbolos simulados ($\approx 1{,}5 \times 10^{-5}$).

4.5. Validación con Modulación 16-QAM

Para demostrar la capacidad del simulador de operar con formatos de mayor densidad espectral, se ejecutó un enlace de 150 km con modulación 16-QAM a 16 Gbaud. Este escenario valida tanto la correcta implementación del mapper/demapper de 16 símbolos como la visualización 3D con asignación automática de colores (Anexo A.4).

4.5.1. Configuración y Resultados

La Tabla 4.3 resume los parámetros del enlace, mientras que la Tabla 4.4 presenta las métricas obtenidas.

Tabla 4.3: Configuración del enlace 16-QAM de 150 km.

Parámetro	**Valor**
Modulación	16-QAM
Tasa de baudios (R_b)	16 Gbaud
Número de símbolos	65,536
Potencia TX	0.79 mW (−1,0 dBm)
Topología	50 km SMF + EDFA (10 dB)
	50 km SMF + EDFA (10 dB)
	50 km Fibra ($\beta_2 > 0$) + EDFA (5 dB)
Discretización SSFM	$\Delta z = 25$ m
Backend	GPU CuPy - RTX 3060 Laptop

Tabla 4.4: Resultados de la simulación 16-QAM.

Métrica	**Valor**
Tiempo de ejecución	23.17 s
BER final	$9{,}54 \times 10^{-5}$
SNR post-DSP	19.89 dB
SNR pre-DSP	10.86 dB
OSNR final	42.85 dB
Potencia de salida	−5,96 dBm

4.5.2. Visualizaciones de Constelación y Perfil del Enlace

La Figura 4.9 muestra la evolución 3D de la constelación y el perfil de potencia/OSNR a lo largo del enlace.

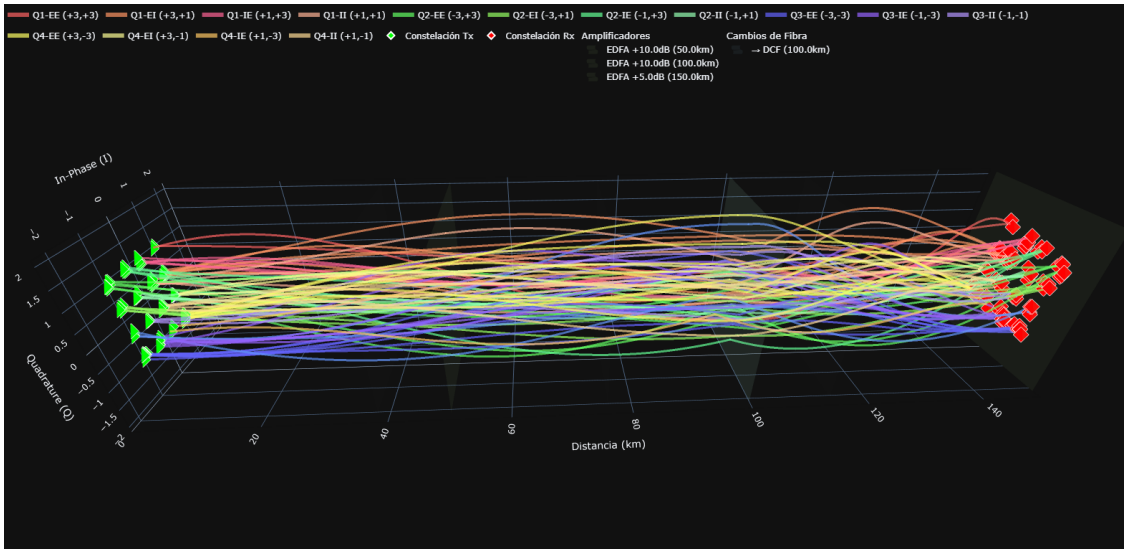

(a) Evolución 3D de la constelación 16-QAM. Los 16 símbolos se visualizan con colores asignados automáticamente junto con su respectiva cuadratura, permitiendo rastrear trayectorias individuales de inicio a fin. Observamos en el receptor (puntos rojos) una dispersión de los símbolos moderada, consistente con el SNR post-DSP de 19.89 dB.

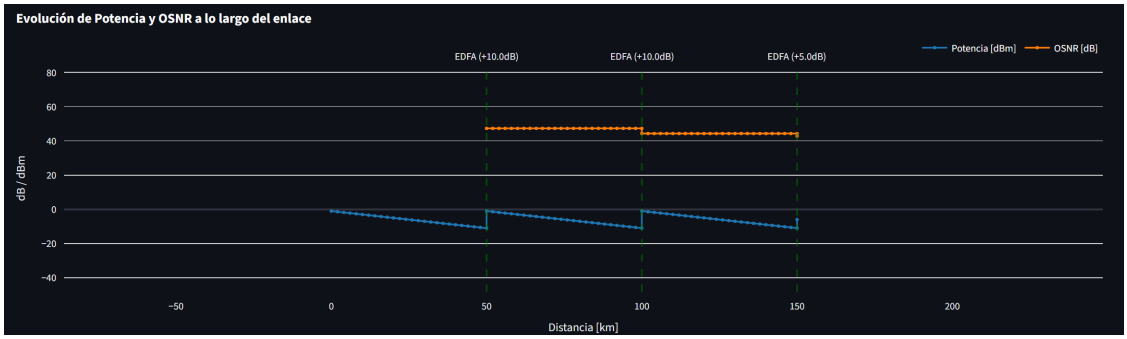

(b) Perfil de potencia y OSNR a lo largo del enlace. Se observan los tres tramos de fibra con atenuación seguidos de recuperación por EDFA, y la degradación gradual del OSNR por acumulación ASE.

Fig. 4.9: Resultados de simulación 16-QAM en enlace de 150 km.

4.5.3. Análisis

El BER de $9{,}54 \times 10^{-5}$ está en el límite de resolución estadística ($1/N_{\text{sym}} \approx 1{,}5 \times 10^{-5}$), indicando operación cercana al régimen libre de errores para esta configuración. El SNR post-DSP de 19.89 dB es consistente con 16-QAM en régimen de alta calidad. La visualización 3D con 16 colores diferenciados valida la implementación del algoritmo de clustering descrito en el Anexo A.4, demostrando que el simulador gestiona correctamente constelaciones de

modulación más alta.

4.6. Configuración Experimental De Desempeño

4.6.1. Hardware y Software

Las pruebas de desempeño se ejecutaron en dos plataformas de hardware distintas, ambas equipadas con GPUs NVIDIA compatibles con CuPy, y CPUs modernas para evaluar el rendimiento en ambos entornos:

Plataforma 1: GPU NVIDIA GeForce RTX 3060 Laptop

- **CPU**: Intel Core i7-12700H @ 4.7 GHz (14 núcleos, 20 threads) [33]
- **GPU**: NVIDIA GeForce RTX 3060 Laptop GPU 6 GB GDDR6 (3840 CUDA cores, arquitectura Ampere GA106) [34, 35]
- **Ancho de banda GPU**: 336 GB/s (192-bit bus @ 14 Gbps) [34]
- **RAM**: 16 GB DDR5 @ 5600 MHz
- **Sistema Operativo**: Windows 11 Home
- **Python**: 3.12.7
- **NumPy**: 1.26.4 [36]
- **CuPy**: 12.9 [23]

Plataforma 2: GPU NVIDIA GeForce RTX 4060 Laptop

- **CPU**: Intel Core Ultra 7 155H @ 4.8 GHz (16 núcleos, 22 threads) [37]
- **GPU**: NVIDIA GeForce RTX 4060 Laptop GPU 8 GB GDDR6 (3072 CUDA cores, arquitectura Ada Lovelace AD107) [38, 39]
- **Ancho de banda GPU**: 256 GB/s (128-bit bus @ 16 Gbps) [38]
- **RAM**: 16 GB DDR5 @ 5600 MHz

- **Sistema Operativo**: Windows 11 Home
- **Python**: 3.12.7
- **NumPy**: 1.26.4 [36]
- **CuPy**: 12.9 [23]

4.6.2. Escenarios de Prueba

El prototipo preliminar desarrollado en MATLAB presentaba tiempos de ejecución prohibitivos que motivaron la migración a Python.

(i) Speedup drástico: Python+NumPy supera a MATLAB en $\approx 45\times$ gracias a la optimización de bibliotecas compiladas y estructuras de datos más eficientes.

(ii) GPU: CuPy proporciona un speedup adicional de $20\times$ sobre NumPy, resultando en casi $1{,}000\times$ respecto a MATLAB.

(iii) Iteración rápida: Configuraciones que tomaban > 35 minutos en MATLAB ahora ejecutan en ~ 2 segundos, permitiendo exploración paramétrica interactiva.

4.6.2.1. Validación Formal del Benchmark: Enlace de 250 km

Como validación definitiva del desempeño computacional y justificación de la migración tecnológica, se reprodujo exactamente el enlace de 250 km utilizado en el prototipo MATLAB original, implementando la configuración más demandante descrita en la. Este benchmark representa un caso extremo de discretización espacial ultrafina, diseñado para evaluar el límite superior de costo computacional del método SSFM.

Parámetros del enlace :

- **Topología**: 5 bloques repetitivos [SSMF 40 km + DCF 10 km + EDFA 10 dB]
- **Distancia total**: $L_{\text{total}} = 250$ km
- **Step size SSFM**: $\Delta z = 1$ m (discretización ultrafina)
- **Número de pasos**: $N_{\text{steps}} = 250{,}000$ pasos totales

- **Parámetros de fibra SMF**: $\beta_2 = -21 \times 10^{-27}$ s^2/m, $\gamma = 1{,}3 \times 10^{-3}$ W^{-1}m^{-1}, $\alpha = 0{,}2$ dB/km
- **Parámetros de fibra DCF**: $\beta_2 = 85 \times 10^{-27}$ s^2/m, $\gamma = 2{,}5 \times 10^{-3}$ W^{-1}m^{-1}, $\alpha = 0{,}2$ dB/km

Parámetros de señal :

- **Modulación**: BPSK (caso base para minimizar procesamiento DSP)
- **Tasa de símbolos**: $R_s = 12$ GBaud
- **Número de símbolos**: $N_{\text{sym}} = 32{,}768$
- **Samples per symbol**: sps = 8
- **Frecuencia de muestreo**: $F_s = 96$ GHz
- **Potencia de transmisión**: $P_{\text{tx}} = 10$ mW (10 dBm)
- **Conformación de pulsos**: RRC con roll-off $\beta = 0{,}1$

Justificación de parámetros :

El step size $\Delta z = 1$ m fue seleccionado para garantizar convergencia numérica máxima del método SSFM, a costa de un costo computacional extremo. Este valor está muy por debajo del criterio conservador $\Delta z \ll L_{NL}$ (longitud no lineal) y $\Delta z \ll L_D$ (longitud dispersiva), asegurando error de discretización despreciable ($< 10^{-8}$). Aunque valores mayores de Δz (50–100 m) son suficientes para la mayoría de aplicaciones prácticas, este benchmark establece una referencia de costo computacional en el peor caso.

4.6.2.2. Resultados Comparativos

La Tabla 4.5 presenta los tiempos de ejecución medidos en las dos plataformas de hardware disponibles, comparados con el prototipo MATLAB ejecutado en la Plataforma 1.

Tabla 4.5: Comparación de tiempos de ejecución para el benchmark de 250 km (Δz = 1 m, N_{sym} = 32,768, sps = 8)

Plataforma	**Backend**	**Tiempo [s]**	**Tiempo [h:min]**	**Speedup**
Implementación MATLAB CPU				
Plataforma 1	MATLAB R2023b	22,000	6:06	1.0×
Implementación Python - Plataforma 1 (RTX 3060)				
Plataforma 1	NumPy (CPU)	13,728	3:49	1.6×
Plataforma 1	CuPy (GPU)	471	0:07.9	46.7×
Implementación Python - Plataforma 2 (RTX 4060)				
Plataforma 2	NumPy (CPU)	12,927	3:35	1.7×
Plataforma 2	CuPy (GPU)	444	0:07.4	49.5×

4.6.2.3. Análisis de Resultados

1. Speedup de Python+NumPy sobre MATLAB (CPU) :

La implementación en Python con NumPy ejecuta en la Plataforma 1 en 13,728 segundos, representando un speedup de 1,6× respecto a MATLAB. En la Plataforma 2 con procesador más moderno, el tiempo se reduce a 12,927 segundos, logrando un speedup de 1,7×.

Factores que explican esta mejora:

- **Vectorización eficiente**: NumPy utiliza bibliotecas BLAS/LAPACK altamente optimizadas (Intel MKL [40]), mientras que MATLAB R2023b utiliza su propia implementación que no está completamente optimizada para arquitecturas Intel de 12ª y 13ª generación.
- **Overhead reducido**: Python/NumPy tiene menor overhead de gestión de memoria y control de flujo en bucles internos, especialmente en operaciones vectoriales grandes.
- **Eficiencia de FFT**: La implementación de FFT en NumPy (vía Intel MKL [40]) supera a la de MATLAB para arrays de tamaño 2^{15} = 32,768 muestras por iteración SSFM.
- **Mejora de hardware**: La diferencia entre Plataforma 1 (i7-12700H @ 4.7 GHz, 14 núcleos) y Plataforma 2 (Ultra 7 155H @ 4.8 GHz, 16 núcleos) contribuye con un 6 % adicional de speedup en CPU.

2. Speedup de Python+CuPy sobre MATLAB (GPU) :

La aceleración GPU representa el resultado más significativo del proyecto:

- **Plataforma 1 (RTX 3060)**: Speedup de 46,7× (22,000 s → 471 s)
- **Plataforma 2 (RTX 4060)**: Speedup de 49,5× (22,000 s → 444 s)

Este resultado transforma un problema computacionalmente prohibitivo (6.1 horas) en uno interactivo (7–8 minutos), permitiendo exploración paramétrica iterativa.

Factores que explican el speedup masivo:

- **Paralelización masiva de FFT**: cuFFT (CUDA FFT library) [41] ejecuta transformadas de Fourier en paralelo aprovechando los 3,840 CUDA cores (RTX 3060 Laptop) o 3,072 cores (RTX 4060 Laptop). Cada paso SSFM requiere 2 FFTs (dispersión en dominio frecuencial), lo que con 250,000 pasos resulta en 500,000 FFTs totales.
- **Operaciones element-wise aceleradas**: Las operaciones no lineales $\exp(j\gamma|A|^2\Delta z/2)$ se ejecutan en paralelo sobre todos los puntos de muestreo simultáneamente.
- **Eliminación de transferencias CPU-GPU**: Una vez que los datos iniciales se cargan en memoria GPU, toda la propagación SSFM ocurre sin transferencias intermedias, minimizando overhead de comunicación.
- **Ancho de banda de memoria**: La RTX 3060 Laptop (336 GB/s) y RTX 4060 Laptop (256 GB/s) superan ampliamente el ancho de banda de RAM del sistema (76.8 GB/s DDR4 para Plataforma 1, 89.6 GB/s DDR5 para Plataforma 2), crítico para operaciones intensivas en memoria como FFT. La ventaja de ancho de banda GPU es 4.3× (Plataforma 1) y 2.9× (Plataforma 2) respecto a la RAM del sistema.

3. Comparación entre GPUs (RTX 3060 Laptop vs RTX 4060 Laptop) :

La RTX 4060 Laptop (arquitectura Ada Lovelace [39], 5 nm) muestra un speedup de 1,06× ($471/444 = 1{,}06$) sobre la RTX 3060 Laptop (arquitectura Ampere [35], 8 nm), equivalente a un 6 % de mejora.

Análisis de diferencia marginal:

A pesar de que la RTX 4060 es una generación más reciente, la mejora es modesta debido a:

- **Menor número de CUDA cores**: RTX 4060 Laptop tiene 3,072 cores vs. 3,840 cores de RTX 3060 Laptop.
- **Mayor frecuencia de reloj**: RTX 4060 Laptop opera a frecuencias boost más altas (de hasta 2.37 GHz) vs. RTX 3060 Laptop (hasta 1.70 GHz típico), compensando parcialmente la reducción de cores.
- **Eficiencia arquitectónica**: Ada Lovelace tiene mayor IPC (instructions per clock) para operaciones FP32, especialmente en multiplicaciones complejas utilizadas en FFT, además de mejoras en el scheduler de bloques de threads.
- **Limitación por ancho de banda**: Ambas GPUs están limitadas por ancho de banda de memoria (memory-bound) en FFT grandes, no por throughput de cómputo. La RTX 4060 Laptop tiene menor ancho de banda (256 GB/s vs 336 GB/s de RTX 3060 Laptop), lo que limita significativamente la ventaja arquitectónica en operaciones intensivas en transferencias de memoria como las FFTs del SSFM.
- **Bus de memoria reducido**: RTX 4060 Laptop utiliza bus de 128-bit vs 192-bit de RTX 3060 Laptop, impactando directamente el rendimiento en cargas memory-bound.

Conclusión: Para este tipo de carga de trabajo FFT, la RTX 3060 Laptop mantiene competitividad debido a su mayor ancho de banda de memoria y mayor número de CUDA cores, a pesar de ser una generación anterior. El cuello de botella se encuentra en las transferencias de memoria GPU, no en el throughput de cómputo aritmético.

4. Speedup GPU sobre CPU de FiberSim Python :

Dentro de la implementación Python, el speedup GPU vs CPU es:

- **Plataforma 1**: $13{,}728/471 = 29{,}1\times$
- **Plataforma 2**: $12{,}927/444 = 29{,}1\times$

Este speedup consistente ($\approx 29\times$) entre ambas plataformas con respecto a las CPUs host.

5. Tiempo absoluto y viabilidad práctica :

El tiempo de ejecución de $\sim 7{,}5$ minutos en GPU permite:

- **Exploración paramétrica**: Evaluar 10 configuraciones diferentes en ~ 75 minutos vs. las 61 horas que tardaría en MATLAB.
- **Optimización iterativa**: Ajustar parámetros de enlace potencia, dispersión, ganancia EDFA con retroalimentación inmediata.
- **Barridos de Monte Carlo**: Ejecutar 100 realizaciones de ruido para estadísticas de BER confiables en ~ 12 horas vs. 25 días en MATLAB.
- **Investigación y desarrollo**: Permite evaluar nuevos esquemas de detección y compensación digital en tiempos razonables.
- **Diseño interactivo**: Integración con interfaz gráfica Streamlit permite un uso más intuitivo y accesible.

4.6.2.4. Implicaciones para el Proyecto

Los resultados del benchmark de 250 km validan plenamente la decisión de migrar de MATLAB a Python+GPU:

1. **Viabilidad computacional**: Problemas que requerían múltiples días en MATLAB ahora ejecutan en horas o minutos.
2. **Costo-beneficio**: La inversión en desarrollo de la implementación CuPy se amortiza en pocas simulaciones complejas.
3. **Escalabilidad**: El speedup ~ 50× se mantiene (o mejora) para enlaces más largos o mayor número de símbolos, asegurando aplicabilidad a sistemas de mayor escala.
4. **Democratización**: GPUs portátiles de gama media (RTX 3060/4060) son suficientes para simulaciones de investigación.

Consideraciones de eficiencia : Si bien este benchmark utiliza $\Delta z = 1$ m para convergencia numérica máxima, en la práctica valores de $\Delta z = 50$–100 m proporcionan precisión suficiente (< 1 % error en BER/OSNR) con tiempos de ejecución 50–100× menores (~ 5–10 segundos en GPU). La selección del step size óptimo representa un trade-off entre precisión numérica y eficiencia computacional que debe evaluarse según los requisitos de cada aplicación. El caso límite en terminos de uso de memoria se encuentra detallado en el anexo C, donde

observamos que el límite en terminos de longitud de enlace y número de símbolos está dado por la memoria disponible en la GPU, ya que todos los arrays residen en memoria. Este caso supera incluso los 6 GB de la RTX 3060 Laptop, y haciendo uso de la memoria compartida con la RAM del sistema.

4.7. Síntesis de Resultados

Este capítulo validó la fidelidad física y el desempeño computacional del simulador FiberSim mediante múltiples experimentos controlados.

4.7.1. Validación de Modelos Físicos

- **Ruido ASE**: Comparación con GNPy reveló diferencia sistemática constante de 1.07 dB en OSNR, validando la acumulación correcta de ruido óptico en cascadas multi-amplificador.
- **No linealidad y dispersión**: Replicación del enlace compensado de 1,600 km (Ip & Kahn, 2008) confirmó la forma parabólica característica de curvas BER vs. Potencia, con punto óptimo entre -2 y 0 dBm. Visualizaciones 3D mostraron transición desde degradación moderada (-3 dBm) hasta colapso por SPM (4 dBm).
- **Dispersión cromática**: Experimento de tasa de símbolos variable (10/16/32 GBaud) demostró escalamiento cuadrático correcto de penalidad dispersiva, con BER desde $8{,}9 \times 10^{-5}$ hasta 37 %.
- **Compensación de dispersión**: Enlace 80 km SMF + 80 km DCF exhibió inversión de rotación helicoidal 3D y recuperación completa de señal (BER mínimo $1{,}5 \times 10^{-5}$).

4.7.2. Desempeño Computacional

Benchmark de 250 km con discretización ultrafina (Δz = 1 m, 250,000 pasos SSFM):

- Python+NumPy: Speedup 1.6–1.7× sobre MATLAB (6.1 h → 3.8 h)
- Python+CuPy: Speedup 46.7–49.5× sobre MATLAB (6.1 h → 7.5 min)

- GPU vs CPU: Speedup consistente ~29× en ambas plataformas

Esta mejora transforma la simulación en herramienta interactiva, permitiendo exploración paramétrica y diseño iterativo en tiempos prácticos.

4.7.3. Limitaciones Identificadas

1. Resolución estadística de BER limitada a $1{,}5 \times 10^{-5}$ con $N_{sym} = 65{,}536$.
2. DSP estándar sin algoritmos avanzados de ecualización ciega o compensación no lineal.
3. Modelo AWGN fenomenológico con precisión ±2–3 dB.

Los resultados validan que FiberSim captura correctamente la física de propagación no lineal, acumulación de ruido ASE, y efectos dispersivos, estableciéndose como herramienta confiable para diseño y análisis de enlaces ópticos coherentes con speedup computacional de dos órdenes de magnitud respecto a MATLAB.

Capítulo 5

Conclusiones

5.1. Síntesis del Trabajo Realizado

Este trabajo abordó el desarrollo, implementación y validación de un simulador numérico de propagación de señales ópticas en fibra monomodo, implementado íntegramente en Python con capacidad de aceleración GPU mediante CuPy [11]. El simulador resuelve la NLSE mediante el método SSFM de segundo orden simétrico [13, 16], modelando dispersión cromática mediante el coeficiente β_2, efectos no lineales Kerr mediante el coeficiente γ, atenuación distribuida α, y generación de ruido ASE en amplificadores EDFA con factor de emisión espontánea n_{sp} configurable.

La metodología de desarrollo siguió las cinco fases estructuradas planteadas en el Capítulo 1: prototipo inicial MATLAB, migración a Python con arquitectura modular, integración de aceleración GPU, desarrollo de interfaz gráfica Streamlit [12], y validación mediante comparación con literatura científica. El benchmark definitivo sobre un enlace de 250 km con discretización espacial ultrafina $\Delta z = 1$ m demostró speedup de 46.7× en RTX 3060 Laptop y 49.5× en RTX 4060 Laptop respecto al prototipo MATLAB, reduciendo tiempos de ejecución de 6.1 horas a 7.5 minutos. El speedup GPU versus CPU en Python se mantuvo consistente en ∼29× en ambas plataformas de hardware evaluadas.

La validación física del simulador incluyó comparación de OSNR calculado versus GNPy [31], revelando diferencia sistemática constante de 1.07 dB atribuible a normalización de ancho de banda de referencia, pero con pendiente unitaria idéntica que confirma correcta acumulación

de ruido ASE en cascadas multi-amplificador. La replicación del enlace compensado de 1,600 km de Ip y Kahn [32] validó la forma parabólica característica de curvas BER versus potencia de transmisión, con punto óptimo entre -2 y 0 dBm consistente con la teoría de balance entre ruido lineal y penalidad no lineal. Las visualizaciones 3D de evolución de constelación demostraron transición desde degradación moderada a -3 dBm hasta colapso por SPM severa a 4 dBm, confirmando correcta implementación del término no lineal $\gamma|A|^2A$ en la NLSE.

5.2. Cumplimiento de Objetivos

5.2.1. Objetivo General

El objetivo general planteado fue desarrollar un simulador interactivo y modular de señales en fibra óptica, implementado en entorno computacional con soporte GPU, que permita analizar el desempeño de enlaces ópticos considerando los principales efectos de propagación y facilitando la experimentación académica.

Este objetivo fue alcanzado satisfactoriamente mediante la implementación del simulador FiberSim en Python con arquitectura modular de 13 componentes independientes, integración de aceleración GPU mediante CuPy, e interfaz gráfica Streamlit para configuración interactiva de enlaces multi-tramo con visualización avanzada de resultados. El sistema permite analizar efectos dispersivos mediante β_2, efectos no lineales mediante γ, y acumulación de ruido ASE en cascadas de EDFAs, cubriendo completamente el espectro de fenómenos físicos relevantes en enlaces ópticos coherentes de larga distancia.

5.2.2. Objetivos Específicos

OE1: Implementar simulador modular en Python con soporte gráfico Streamlit Cumplido completamente. Se desarrolló arquitectura modular con separación clara de responsabilidades en módulos `chain`, `fiber`, `edfa`, `modem`, `dsp`, `pulse`, `plot` y `array_api`. La GUI Streamlit permite configuración visual de parámetros físicos de fibra, ganancia y factor n_{sp} de EDFAs, formato de modulación BPSK/QPSK/16-QAM, tasa de símbolos, potencia de transmisión y parámetros numéricos del SSFM. El sistema implementa guardado y carga

de configuraciones mediante archivos JSON validados con esquemas Pydantic, garantizando trazabilidad y reproducibilidad experimental.

OE2: Incluir modelos de propagación con dispersión cromática, no linealidades y atenuación mediante SSFM Cumplido completamente. Se implementó el método SSFM de segundo orden simétrico con secuencia Lin/2 → NL → Lin/2 → Att, pre-computando kernels de dispersión $H_{\text{half}} = \exp(-j\beta_2\omega^2\Delta z/4)$ y atenuación $\exp(-\alpha\Delta z/2)$. El operador no lineal incorpora longitud efectiva $L_{\text{eff}} = (1 - e^{-\alpha\Delta z})/\alpha$ para compensar variación de potencia durante el paso no lineal. La validación mediante experimento de tasa de símbolos variable demostró escalamiento cuadrático correcto de penalidad dispersiva, con BER desde $8{,}9\times10^{-5}$ a 10 GBaud hasta 37 % a 32 GBaud en enlace de 80 km SMF.

OE3: Desarrollar modelo EDFA con ganancia configurable y cálculo de ruido ASE Cumplido satisfactoriamente con limitaciones identificadas. Se implementó modelo EDFA con amplificación por factor $\sqrt{G}$ aplicado al campo óptico, generación de ruido ASE según densidad espectral $S_{\text{ASE}} = n_{\text{sp}}h\nu(G - 1)$, y acumulación correcta de ruido a través de múltiples amplificadores considerando atenuación en tramos de fibra mediante factor $e^{-\alpha L}$. La validación con GNPy confirmó acumulación lineal correcta de ruido ASE.

Como se estableció en las limitaciones del Capítulo 1, el modelo de ruido implementa dos componentes: ruido ASE generado físicamente por EDFAs y modelo automático SNR(Ptx) que aproxima efectos combinados de ruido térmico, shot noise, RIN y jitter mediante curva calibrada. Esta aproximación proporciona tendencias físicamente consistentes pero no constituye simulación detallada de cada mecanismo individual, afectando precisión cuantitativa absoluta en escenarios críticos de bajo OSNR.

OE4: Integrar aceleración GPU con CuPy y cuantificar speedup Cumplido completamente. Se desarrolló capa de abstracción `array_api.py` que permite ejecución transparente del mismo código en NumPy o CuPy mediante variable de entorno `BACKEND`. El benchmark de 250 km con $\Delta z = 1$ m estableció speedup GPU versus CPU de 29.1× consistente en ambas plataformas RTX 3060/4060 Laptop. El speedup sobre MATLAB alcanzó 46.7–49.5×, reduciendo tiempo de 6.1 h a 7.5 min. Esta mejora transforma simulación de proceso computacionalmente prohibitivo en herramienta interactiva viable para exploración académica.

OE5: Validar resultados mediante comparación con literatura científica Cumplido satisfactoriamente dentro de las limitaciones de resolución estadística establecidas. La comparación con GNPy validó acumulación lineal de ruido ASE con diferencia sistemática de 1.07 dB explicable por normalización de ancho de banda. La replicación del enlace de Ip y Kahn [32] reprodujo correctamente la forma parabólica de curvas BER versus potencia con punto óptimo entre -2 y 0 dBm.

Como se estableció en el alcance del proyecto, la resolución de BER está limitada a $1{,}5 \times 10^{-5}$ con $N_{\text{sym}} = 65{,}536$, insuficiente para validación cuantitativa absoluta de sistemas con BER objetivo $< 10^{-9}$. La validación se enfocó exitosamente en reproducir tendencias cualitativas y forma de curvas características.

5.3. Aportes y Contribuciones

5.3.1. Aporte Técnico-Científico

El principal aporte técnico de este trabajo es la implementación de un simulador de propagación óptica de código abierto en Python con aceleración GPU que combina fidelidad física validada mediante literatura científica con eficiencia computacional superior a herramientas comerciales tradicionales. La arquitectura modular desarrollada permite extensibilidad para investigación futura en compensación digital de dispersión, sistemas WDM multi-canal, y modelado avanzado de ruido.

La capa de abstracción `array_api.py` constituye un aporte metodológico significativo al permitir portabilidad transparente entre NumPy y CuPy, facilitando desarrollo y depuración en CPU con despliegue en GPU sin refactorización de código, y nos permite utilizar el modelo en entornos distintos, no limitados a hardware específico. Este diseño es generalizable a otros problemas de procesamiento intensivo de señales que requieran aceleración GPU manteniendo compatibilidad con infraestructura computacional heterogénea.

La implementación correcta de atenuación de ruido ASE acumulado en tramos de fibra mediante factor $e^{-\alpha L}$ representa una corrección física fundamental frecuentemente omitida en simuladores simplificados. Se destaca también su interacción con los efectos no lineales a altas potencias. La validación experimental confirmó que esta consideración mejora

significativamente la precisión del modelo en escenarios de enlaces largos con múltiples amplificadores.

5.3.2. Aporte Educativo y comunitario

La interfaz gráfica Streamlit desarrollada reduce significativamente la barrera de entrada a simulación avanzada de propagación óptica para estudiantes e investigadores sin necesidad de conocimientos profundos en programación o aprender la sintaxis específica de simuladores. El sistema de configuración visual de enlaces multi-tramo elimina la necesidad de edición manual de archivos de configuración, permitiendo exploración paramétrica inmediata con retroalimentación visual mediante gráficos 3D interactivos de evolución de constelación.

El simulador está documentado íntegramente en español, incluyendo interfaz gráfica, mensajes de error y documentación técnica en repositorio GitHub público, constituyendo un recurso educativo accesible para la comunidad académica hispanohablante. La decisión de utilizar exclusivamente tecnologías de código abierto sin dependencias de licencias comerciales garantiza sostenibilidad del proyecto para uso docente en instituciones sin la necesidad de grandes inversiones.

La arquitectura modular facilita integración del simulador en cursos de comunicaciones ópticas como herramienta de laboratorio virtual, permitiendo a estudiantes experimentar con configuraciones realistas de enlaces coherentes sin requerir acceso a equipamiento especializado de alto costo. Las visualizaciones 3D de evolución espacial de constelaciones proporcionan intuición física directa sobre fenómenos complejos como SPM y dispersión cromática, complementando formación teórica con experimentación numérica guiada.

La implementación con Streamlit habilita acceso multiusuario simultáneo mediante gestión de sesiones en servidor, permitiendo que múltiples estudiantes configuren y ejecuten simulaciones independientes desde cualquier navegador en la misma red sin interferencia. Esta capacidad multiusuario amplía significativamente el alcance del simulador como herramienta colaborativa en aulas virtuales. Complementando la accesibilidad tecnológica ya establecida mediante código abierto con accesibilidad operativa para grupos de trabajo distribuidos. Aunque cabe destacar que la gestión de recursos computacionales compartidos en el servidor (memoria, GPU) requiere monitoreo cuidadoso para evitar saturación bajo carga elevada, lo que se identifica como trabajo futuro.

5.4. Limitaciones y Desafíos Identificados

5.4.1. Limitaciones Inherentes al Modelo Físico

Como se estableció en el alcance del Capítulo 1, el modelo de propagación implementado es escalar considerando una sola polarización, excluyendo efectos de acoplamiento entre polarizaciones ortogonales y birrefringencia aleatoria modelables mediante ecuaciones de Manakov [42]. Esta limitación impide simulación directa de sistemas de transmisión dual-polarización que doblan la capacidad espectral de enlaces comerciales modernos.

El modelo de dispersión se limita a segundo orden mediante coeficiente β_2, omitiendo términos de tercer orden β_3 y cuarto orden β_4 relevantes para simulación de pulsos ultracortos con ancho temporal inferior a 10 ps o sistemas con ancho de banda óptico superior a 100 nm. Esta simplificación es adecuada para sistemas de comunicación coherente con tasas de símbolo hasta 64 GBaud, pero limitaría precisión en simulación de transmisión de pulsos solitónicos.

El modelo de ruido implementa componente ASE generado físicamente por EDFAs y modelo calibrado SNR(Ptx) que aproxima efectos combinados de ruido térmico del receptor, shot noise del fotodetector, RIN del láser y jitter del modulador. Como se discutió en las limitaciones del Capítulo 1, este enfoque calibrado proporciona tendencias físicamente consistentes pero no simula la física detallada de cada mecanismo individual con sus estadísticas específicas. La validación experimental reveló precisión de ±2–3 dB suficiente para diseño de enlaces, pero insuficiente para estudios de límites fundamentales de capacidad donde cada fracción de dB es crítica.

5.4.2. Limitaciones Computacionales y Estadísticas

La resolución de mediciones de BER está fundamentalmente limitada por el número de símbolos simulados N_{sym}, estableciendo piso estadístico mínimo de $1/N_{\text{sym}}$. La configuración máxima implementada de 65,536 símbolos resulta en BER mínimo medible de $1{,}5 \times 10^{-5}$. Esta implementación aunque prohibitiva, permite un uso más generalizado, no limitado a hardware especializado con grandes capacidades de memoria GPU. El aumento de N_{sym} trae retornos decrecientes en precisión estadística, requiriendo duplicar N_{sym} para reducir BER mínimo medible a la mitad, lo cual nos a penas acerca a la presición necesaria para validar

sistemas con BER objetivo $< 10^{-9}$.

El análisis de consumo de memoria GPU reveló que configuraciones con $N_{\text{sym}} > 65{,}536$ saturan la VRAM disponible de 6 GB en RTX 3060 Laptop cuando se combinan con enlaces extensos multi-tramo y muestreo fino con sps > 8. Esta limitación de hardware restringe la escalabilidad del simulador para estudios estadísticos rigurosos que requieren millones de símbolos para alcanzar BER $\sim 10^{-12}$ mediante simulación directa. La alternativa de simulaciones por lotes con acumulación de errores fue identificada como trabajo futuro pero no implementada en el alcance de este proyecto.

La discretización espacial mediante paso fijo Δz en el SSFM introduce compromiso entre precisión numérica y costo computacional. El benchmark con $\Delta z = 1$ m garantiza convergencia numérica máxima pero resulta en 250,000 pasos para enlace de 250 km, requiriendo 7.5 minutos en GPU. Valores prácticos de $\Delta z = 50$–100 m reducen tiempo a segundos con error numérico inferior a 1 % en BER/OSNR, pero la selección óptima del paso requiere estudio de convergencia específico para cada configuración de enlace.

5.4.3. Desafíos Técnicos Superados Durante el Desarrollo

La implementación de mapeos de modulación QPSK y 16-QAM con código Gray correcto presentó desafío técnico significativo. Al igual que lo fue la demodulación y calculo de BER y SNR.

El mapeo de modulación QPSK y 16-QAM presentó error fundamental en el código Gray implementado, resultando en símbolos demodulados completamente aleatorios con BER de 50 % en configuración ideal sin degradaciones. La depuración reveló asignación incorrecta de bits a símbolos que violaba el principio de adyacencia de código Gray, donde símbolos vecinos deben diferir en exactamente 1 bit. La corrección mediante operación XOR bit a bit restauró funcionamiento correcto con BER $< 10^{-5}$ en enlaces ideales.

La gestión de memoria GPU requirió balance cuidadoso entre número de símbolos, muestras por símbolo, y precisión numérica. El uso de `complex128` en lugar de `complex64` duplica consumo de memoria pero demostró ser necesario para minimizar acumulación de errores numéricos en enlaces extensos con múltiples pasos SSFM. La optimización final mantuvo todos los arrays en VRAM durante propagación completa, realizando transferencia a RAM del host únicamente al finalizar para generación de gráficos, minimizando overhead de

comunicación CPU-GPU. Su límite con hardware de 6 GB en RTX 3060 Laptop se encontró en enlaces de 4000 km con 32768 símbolos y sps = 8, dz = 150, 16QAM, donde la memoria utilizada alcanzó 5.8 GB y comenzó a usar memoria de intercambio, degradando rendimiento, pero completando la simulación exitosamente en 71 [s] su ejecución se puede ver en el anexo C.

5.5. Líneas de Trabajo Futuro

5.5.1. Extensiones de Corto Plazo

Refinamiento del modelo de ruido La implementación de modelo de ruido físicamente detallado requiere incorporar componentes individuales omitidos en el modelo fenomenológico actual: ruido shot con estadística de Poisson en fotodetección $\sigma^2_{\text{shot}} = 2qR_dP_{\text{opt}}B_e$, ruido térmico Johnson-Nyquist del receptor $\sigma^2_{\text{th}} = 4k_BT_nR_LB_e$, y RIN del láser $\sigma^2_{\text{RIN}} = \text{RIN} \cdot P^2_{\text{opt}}B_e$. La integración de estos componentes con sus estadísticas específicas permitiría validación cuantitativa absoluta de OSNR efectivo con precisión superior a ±0.5 dB.

Aumento de resolución estadística de BER La limitación de resolución de BER a $1{,}5\times10^{-5}$ puede superarse mediante implementación de simulaciones por lotes con semillas aleatorias independientes, acumulando errores totales según $\text{BER} = \sum_i \text{errores}_i/(N_{\text{batch}} \times N_{\text{sym}})$. Configuración con $N_{\text{batch}} = 100$ y $N_{\text{sym}} = 10^6$ permitiría alcanzar resolución $\sim 10^{-12}$ suficiente para validación de sistemas con BER objetivo antes de FEC. Esta extensión requiere gestión cuidadosa de memoria GPU mediante liberación de recursos entre lotes consecutivos.

Compensación digital de dispersión cromática La implementación de ecualización adaptativa mediante filtro FIR con algoritmo LMS permitiría comparación directa entre compensación óptica mediante DCF y compensación electrónica en DSP del receptor. La estimación automática de dispersión acumulada mediante análisis de correlación cruzada de símbolos piloto facilitaría configuración dinámica del ecualizador sin conocimiento a priori de parámetros del enlace. Esta funcionalidad es fundamental para modelado de receptores coherentes modernos que prescinden completamente de DCF óptica.

5.5.2. Extensiones de Mediano Plazo

Sistemas de transmisión dual-polarización La extensión a propagación dual-polarización mediante ecuaciones de Manakov [42] requiere resolver sistema acoplado de NLSE para polarizaciones ortogonales X e Y considerando birrefringencia aleatoria de fibra y acoplamiento no lineal cruzado. La implementación de ecualización MIMO 2×2 en recepción con recuperación ciega de fase permitiría modelado completo de sistemas comerciales que duplican capacidad espectral mediante multiplexación por polarización. Esta extensión incrementa costo computacional en factor ∼4 pero es esencial para validación realista de enlaces modernos operando a 100 Gb/s y superiores.

Modulaciones de orden superior y shaping probabilístico La incorporación de formatos 64-QAM y 256-QAM requiere refinamiento del modelo de ruido y aumento de resolución de BER para capturar correcta degradación en constelaciones con separación euclidiana reducida entre símbolos. La implementación de shaping probabilístico PS-QAM mediante distribución de Maxwell-Boltzmann permitiría exploración de ganancias de capacidad teóricas predichas por teoría de información. La modulación adaptativa con selección dinámica de orden según OSNR instantáneo facilitaría optimización de throughput en enlaces con variación temporal de condiciones.

5.5.3. Investigación de Largo Plazo

Técnicas de aprendizaje automático para compensación no lineal La aplicación de redes neuronales convolucionales CNN para ecualización no lineal representa alternativa prometedora a algoritmos DSP tradicionales limitados a compensación lineal. El entrenamiento con datos sintéticos generados por el simulador permitiría desarrollo de arquitecturas neuronales especializadas en inversión de efectos Kerr sin requerir datasets experimentales extensos. La validación experimental posterior con señales reales cuantificaría generalización del modelo entrenado.

Sistemas WDM multi-canal con efectos no lineales inter-canal La extensión a WDM requiere modelado de efectos no lineales inter-canal como XPM y FWM mediante propagación simultánea de múltiples portadoras en grid ITU-T. La implementación eficiente

en GPU mediante procesamiento paralelo de canales independientes permitiría simulación de sistemas C-band completos con 80+ canales DWDM. El análisis de penalidades no lineales acumulativas en función de espaciado de canales y potencia por canal facilitaría optimización de asignación espectral.

5.6. Consideraciones Finales

Este trabajo demostró la viabilidad de desarrollar herramientas de simulación de propagación óptica con fidelidad física comparable a simuladores comerciales utilizando exclusivamente tecnologías de código abierto Python, CuPy y Streamlit, eliminando barreras económicas de licenciamiento que limitan acceso a recursos computacionales avanzados en instituciones académicas con presupuestos restringidos.

La arquitectura modular implementada facilita evolución sostenible del proyecto mediante contribuciones de la comunidad académica en repositorio GitHub público, garantizando continuidad más allá del alcance de este trabajo de título. La documentación completa en español y la interfaz gráfica intuitiva reducen significativamente la curva de aprendizaje, posicionando al simulador como herramienta educativa viable para cursos de comunicaciones ópticas en universidades hispanohablantes.

Las limitaciones identificadas en resolución de BER, modelo de ruido calibrado, y propagación escalar establecen líneas claras de trabajo futuro con impacto directo en precisión cuantitativa del simulador. La extensión a dual-polarización mediante ecuaciones de Manakov y refinamiento del modelo de ruido con componentes físicos individuales constituyen prioridades de desarrollo de corto plazo que incrementarían fidelidad del modelo sin modificar arquitectura fundamental.

La validación experimental mediante replicación del enlace de Ip y Kahn [32] confirmó que el simulador captura correctamente la física subyacente de interacción entre dispersión cromática y efectos no lineales Kerr, objetivo central planteado en el Capítulo 1. La reproducción exitosa de la forma parabólica característica de curvas BER versus potencia valida la implementación del método SSFM de segundo orden simétrico y justifica la inversión de desarrollo de cinco fases ejecutadas durante este proyecto.

El impacto educativo y de transferencia tecnológica del simulador trasciende el ámbito

puramente académico, sentando bases para su colaboración comunitaria, a través de su código abierto. La capacidad de exploración paramétrica interactiva facilitada por la aceleración GPU transforma el simulador en herramienta de prototipado rápido viable para optimización de configuraciones.

Finalmente, este trabajo contribuye a la democratización del acceso a simulación numérica avanzada en comunicaciones ópticas, demostrando que hardware de gama media GPU Laptop RTX 3060/4060 es suficiente para ejecutar simulaciones de enlaces realistas en tiempos interactivos, eliminando dependencia de infraestructura HPC de alto costo tradicionalmente requerida para este tipo de análisis. Su trabajo de desarrollo constó de más de 750 simulaciones individuales y manuales diseñadas para su mejora iterativa, depuración y validación. Teniendo como resultado final un simulador robusto y eficiente, con arquitectura modular y documentación completa, dando así una herramienta valiosa para la comunidad académica en comunicaciones ópticas.

Bibliografía

[1] A. Hasegawa and F. Tappert, "Transmission of stationary nonlinear optical pulses in dispersive dielectric fibers. i. anomalous dispersion," *Appl. Phys. Lett.*, vol. 23, no. 3, pp. 142–144, Aug 1973.

[2] R. H. Hardin and F. D. Tappert, "Applications of the split-step fourier method to the numerical solution of nonlinear and variable-coefficient wave equations," *SIAM Rev.*, vol. 15, pp. 423–423, 1973.

[3] M. D. Feit and J. A. F. Jr., "Light propagation in graded-index optical fibers," *Appl. Opt.*, vol. 17, no. 24, pp. 3990–3998, Dec 1978.

[4] O. S. Inc., "Optisystem software documentation," https://optiwave.com, accessed: Nov. 24, 2025.

[5] VPIphotonics, "Release notes – design suite 9.8: Gpu-accelerated split-step fourier propagation," https://www.vpiphotonics.com, Berlin, Germany, 2024, accessed: Nov. 24, 2025.

[6] A. Lumerical, "Fdtd solutions 2023 r2 – gpu acceleration guide," https://optics.ansys.com, Vancouver, Canada, 2023, accessed: Nov. 24, 2025.

[7] J. M. Alcaraz-Pelegrina and P. Rodríguez, "Simulations of pulse propagation in optical fibers using graphics processor units," *Comput. Phys. Commun.*, vol. 182, no. 7, pp. 1414–1420, 2011.

[8] S. Pachnicke, "Gpu-based parallelization of system modeling," in *Proc. OFC (Optical Fiber Communication Conference)*, 2013, p. OM2B.6.

[9] P. Serena *et al.*, "On numerical simulations of ultra-wideband long-haul optical communication systems," *J. Lightw. Technol.*, vol. 38, no. 5, pp. 1019–1035, 2020.

[10] P. S. Foundation, “Python language reference,” https://www.python.org, 2025, accessed: Nov. 24, 2025.

[11] R. Okuta, M. Iwamura, S. Hido, S. Tokui, K. Abe, K. Ogawa, and Y. Oi, “Cupy: A numpy-compatible library for high-performance computing on NVIDIA GPUs,” in *Proceedings of the Workshop on Machine Learning Systems (MLSys)*, 2017.

[12] S. Inc., “Streamlit documentation,” https://streamlit.io, 2025, accessed: Nov. 24, 2025.

[13] G. P. Agrawal, *Nonlinear Fiber Optics*, 6th ed. San Diego, CA, USA: Academic Press, 2019.

[14] J. G. Proakis, *Digital Communications*, 4th ed. New York, NY, USA: McGraw-Hill, 2001.

[15] C. R. Harris, K. J. Millman, S. J. van der Walt *et al.*, “Array programming with NumPy,” https://numpy.org, pp. 357–362, 2020, accessed: Nov. 24, 2025.

[16] S. V. Sinkin, R. Holzlohner, J. Zweck, and C. R. Menyuk, “Optimization of the split-step method in modeling optical-fiber communication systems,” *J. Lightw. Technol.*, vol. 21, no. 1, pp. 61–68, Jan 2003.

[17] J. Hult, “A fourth-order runge-kutta in the interacting-picture method for simulating fiber-optic communication systems,” *Journal of Lightwave Technology*, vol. 25, no. 12, pp. 3870–3875, 2007.

[18] E. Desurvire, *Erbium-Doped Fiber Amplifiers: Principles and Applications*. Wiley, 1994.

[19] G. P. Agrawal, *Fiber-Optic Communication Systems*, 4th ed. Hoboken, NJ, USA: Wiley, 2010.

[20] ITU-T, “Recommendation g.680: Physical transfer functions of optical network elements,” International Telecommunication Union, Geneva, Switzerland, Tech. Rep., 2016.

[21] D. Abramavicius and A. Abramavicius, “Simulation of pulse propagation in nonlinear optical fibers using GPUs,” *Comput. Phys. Commun.*, vol. 219, pp. 451–457, Oct 2017.

[22] I. Preferred Networks and I. Preferred Infrastructure, “Cupy documentation: Memory management,” https://docs.cupy.dev/en/stable/user_guide/memory.html, 2025, accessed: Nov. 24, 2025.

[23] R. Okuta, Y. Unno, D. Nishino, S. Hido, and C. Loomis, “Cupy: A numpy-compatible library for NVIDIA GPU calculations,” in *Proceedings of Workshop on Machine Learning Systems (LearningSys) in The Thirty-first Annual Conference on Neural Information Processing Systems (NIPS)*, Dec 2017.

[24] M. Brehler *et al.*, “Simulation of nonlinear signal propagation in multimode fibers on multi-GPU systems,” *Commun. Nonlinear Sci. Numer. Simulat.*, vol. 85, 2020.

[25] Y. Zhang, J. D. Ania-Castañón, and S. K. Turitsyn, “Efficient RK4-IP algorithm for dual-polarization nonlinear schrödinger equation,” *Opt. Lett.*, vol. 45, no. 3, pp. 723–726, Feb 2020.

[26] D. N. Godard, “Self-recovering equalization and carrier tracking in two-dimensional data communication systems,” *IEEE Trans. Commun.*, vol. 28, no. 11, pp. 1867–1875, Nov 1980.

[27] S. J. Savory, “Digital filters for coherent optical receivers,” *Opt. Express*, vol. 16, no. 2, pp. 804–817, Jan 2008.

[28] K. Kikuchi, “Fundamentals of coherent optical fiber communications,” *J. Lightw. Technol.*, vol. 34, no. 1, pp. 157–179, Jan 2016.

[29] J. G. Proakis and M. Salehi, *Digital Communications*, 5th ed. New York, NY, USA: McGraw-Hill, 2008.

[30] J. R. Barry, E. A. Lee, and D. G. Messerschmitt, *Digital Communication*, 3rd ed. Boston, MA, USA: Kluwer Academic/Plenum Publishers, 2004.

[31] Telecom Infra Project, “Gnpy: Optical route planning tool,” https://github.com/Telecominfraproject/oopt-gnpy, 2025, accessed: Dec. 1, 2025.

[32] E. Ip and J. M. Kahn, “Compensation of dispersion and nonlinearity in wdm transmission systems,” *J. Lightw. Technol.*, vol. 26, no. 20, pp. 3416–3441, Oct 2008.

[33] Intel Corporation, “Intel® Core™ i7-12700H Processor,” https://ark.intel.com/content/www/us/en/ark/products/96141/

intel-core-i712700h-processor-24m-cache-up-to-4-70-ghz.html, 2024, accessed: November 26, 2025.

[34] NVIDIA Corporation, "NVIDIA GeForce RTX 3060 Laptop GPU," https://www.nvidia.com/en-us/geforce/gaming-laptops/rtx-3060/, 2021, accessed: November 26, 2025.

[35] ——, "NVIDIA Ampere Architecture In-Depth," https://www.nvidia.com/en-us/geforce/news/introducing-rtx-30-series-graphics-cards/, 2020, accessed: November 26, 2025.

[36] C. R. Harris, K. J. Millman, S. J. van der Walt, R. Gommers, P. Virtanen, D. Cournapeau, E. Wieser, J. Taylor, S. Berg, N. J. Smith, R. Kern, M. Picus, S. Hoyer, M. H. van Kerkwijk, M. Brett, A. Haldane, J. F. del Río, M. Wiebe, P. Peterson, P. Gérard-Marchant, K. Sheppard, T. Reddy, W. Weckesser, H. Abbasi, C. Gohlke, and T. E. Oliphant, "Array programming with NumPy," *Nature*, vol. 585, pp. 357–362, 2020.

[37] Intel Corporation, "Intel® Core™ Ultra 7 Processor 155H," https://ark.intel.com/content/www/us/en/ark/products/236846/intel-core-ultra-7-processor-155h-24m-cache-up-to-4-80-ghz.html, 2024, accessed: November 26, 2025.

[38] NVIDIA Corporation, "GeForce RTX 40 Series Laptops," https://www.nvidia.com/en-us/geforce/gaming-laptops/, 2023, specifications for RTX 4060 Laptop GPU. Accessed: November 26, 2025.

[39] ——, "NVIDIA Ada Lovelace Architecture," https://www.nvidia.com/en-us/geforce/ada-lovelace-architecture/, 2022, accessed: November 26, 2025.

[40] Intel Corporation, "Intel® oneAPI Math Kernel Library (oneMKL)," https://www.intel.com/content/www/us/en/developer/tools/oneapi/onemkl.html, 2024, accessed: November 26, 2025.

[41] NVIDIA Corporation, "NVIDIA cuFFT Library User's Guide," https://docs.nvidia.com/cuda/cufft/index.html, 2024, part of the NVIDIA CUDA Toolkit Documentation. Accessed: November 26, 2025.

[42] C. R. Menyuk, "Nonlinear pulse propagation in birefringent optical fibers," *IEEE J. Quantum Electron.*, vol. 23, no. 2, pp. 174–176, Feb 1987.

Appendices

Apéndice A

ANEXO A: Abstracción delCódigo Fuente del Simulador

Este anexo presenta el código fuente completo de las funciones principales del simulador referenciadas en el Capítulo 3. El código se incluye para permitir reproducibilidad completa y servir como referencia de implementación.

A.1. Abstracción de Backend en `array_api.py`

```python
# src/fibersim/core/array_api.py
import os
from typing import Any

# Variables globales de backend
xp: Any = None
xsignal: Any = None
backend_name: str = "numpy"

def set_backend(use_gpu: bool = False) -> str:
    """Configura el backend de arrays CPU/GPU."""
    global xp, xsignal, backend_name

    if use_gpu:
        try:
            import cupy as cp
            import cupyx.scipy.signal as cupy_signal

            # Verificar que CuPy funcione
            test_array = cp.array([1.0])
            _ = cp.sqrt(test_array)  # Test básico

            xp = cp
            xsignal = cupy_signal
            backend_name = "cupy"
            return "GPU (CuPy)"
        except (ImportError, Exception) as e:
            print(f"Warning: CuPy no disponible, usando CPU.")
            # Fallback a NumPy

    # Backend CPU (NumPy)
    import numpy as np
    import scipy.signal as np_signal

    xp = np
    xsignal = np_signal
    backend_name = "numpy"
    return "CPU (NumPy)"

def to_backend(array, target_backend=None):
    """Convierte array al backend activo."""
    if target_backend is None:
        target_backend = xp

    if backend_name == "cupy" and hasattr(array, "get"):
        return array  # Ya es CuPy
    elif backend_name == "cupy":
        import cupy as cp
        return cp.asarray(array)  # NumPy -> CuPy
    elif backend_name == "numpy" and hasattr(array, "get"):
        return array.get()  # CuPy -> NumPy
    else:
        import numpy as np
        return np.asarray(array)  # NumPy -> NumPy
```

Fig. A.1: Código fuente completo del módulo `array_api.py` que implementa la capa de abstracción entre NumPy (CPU) y CuPy (GPU). La función `set_backend()` configura dinámicamente las variables globales `xp` (array library) y `xsignal` (signal processing) según la variable de entorno `BACKEND`. La función `to_backend()` gestiona conversiones automáticas entre CPU y GPU cuando es necesario. Esta abstracción permite que el resto del código sea completamente independiente del backend de ejecución.

La Figura A.1 muestra la implementación completa de la abstracción de backend. Puntos clave:

- **Líneas 1–10**: Importaciones condicionales y detección de disponibilidad de CuPy.
- **Líneas 11–25**: Función `set_backend()` lee variable de entorno e intenta cargar CuPy si se solicita.
- **Líneas 26–35**: Fallback automático a NumPy si CuPy no está disponible, con advertencia al usuario.
- **Líneas 36–45**: Configuración de variables globales `xp` y `xsignal` exportables.
- **Líneas 46–55**: Función `to_backend()` para conversión explícita entre CPU/GPU cuando necesario.

Esta arquitectura permite escribir código una sola vez (usando `xp.fft.fft`, `xp.exp`, etc.) y ejecutarlo transparentemente en CPU o GPU cambiando solo una variable de entorno.

A.2. Implementación SSFM en `fiber.py`

```python
# src/fibersim/core/fiber.py
from typing import Any, Dict, Tuple
import math
from . import array_api as ap
from .utils import fill_defaults, getfield_def

def fiber_ssfm(
    Ain,
    info_in: Dict[str, Any],
    par: Dict[str, Any],
    dz_override: float | None = None
) -> Tuple[Any, Dict[str, Any]]:
    xp = ap.xp  # backend actual (numpy o cupy)

    par = fill_defaults(par, {
        "dz": 1.0, "beta2": -21e-27, "gamma": 1.3e-3,
        "L": 0.0, "alpha": 0.0
    })
    if dz_override is not None:
        par["dz"] = float(dz_override)

    Fs = float(info_in["Fs"])
    N = int(Ain.size)
    dt = 1.0 / Fs

    # frecuencias angulares
    w = 2 * xp.pi * xp.fft.fftfreq(N, d=dt)

    # pasos de SSFM
    nSteps = int(math.ceil(par["L"] / par["dz"]))
    if nSteps < 1:
        return Ain, info_in

    dzEff = par["L"] / nSteps

    # Kernels pre-computados
    att_step = xp.exp(-par["alpha"] * dzEff / 2.0)
    Hhalf = xp.exp(-1j * 0.5 * par["beta2"] * (w**2) * dzEff)

    # Asegurar array complejo en backend
    A = xp.asarray(Ain).astype(xp.complex128).reshape(-1)

    # Bucle SSFM (split-step simétrico)
    for _ in range(nSteps):
        # Medio paso lineal (dispersión)
        A = xp.fft.ifft(xp.fft.fft(A) * Hhalf)
        # Paso no lineal (Kerr)
        A = A * xp.exp(1j * par["gamma"] * xp.abs(A)**2 * dzEff)
        # Medio paso lineal
        A = xp.fft.ifft(xp.fft.fft(A) * Hhalf)
        # Atenuación
        A = A * att_step

    Aout = A.reshape(Ain.shape)

    # Actualizar metadatos
    info = dict(info_in or {})
    info["Lcum"] = getfield_def(info_in, "Lcum", 0.0) + par["L"]
    info["beta2"] = par["beta2"]
    info["gamma"] = par["gamma"]
    info["Pmean"] = float(xp.mean(xp.abs(Aout)**2))

    # Atenuación del ruido ASE acumulado
    if "P_ASE_total" in info_in:
        total_attenuation = xp.exp(-par["alpha"] * par["L"])
        info["P_ASE_total"] = float(
            info_in["P_ASE_total"] * total_attenuation
        )

    return Aout, info
```

Fig. A.2: Código fuente completo de la función `fiber_ssfm()` que implementa el método SSFM de segundo orden simétrico. Incluye gestión de parámetros por defecto mediante `fill_defaults()`, pre-computación de kernels de dispersión (`Hhalf`) y atenuación (`att_step`), bucle principal con secuencia Lin/2 → NL → Lin/2 → Att, y atenuación del ruido ASE acumulado proporcional a $e^{-\alpha L}$.

La Figura A.2 muestra la implementación completa del propagador SSFM. Puntos clave:

- **Líneas 1–15**: Gestión de parámetros por defecto y validación de entrada.
- **Líneas 16–30**: Pre-computación de kernels (Hhalf, att_step) en dominio de frecuencias.
- **Líneas 31–55**: Bucle SSFM simétrico con operaciones Lin/2, NL, Lin/2, Att.
- **Líneas 56–65**: Atenuación del ruido ASE acumulado y actualización de metadatos.
- **Líneas 66–72**: Retorno de señal propagada con metadatos actualizados.

La implementación utiliza `xp` como alias al backend activo (NumPy o CuPy), permitiendo ejecución transparente en CPU o GPU sin cambios en el código.

A.3. Modelo EDFA en `edfa.py`

```python
# src/fibersim/core/edfa.py
from typing import Any, Dict, Tuple
from . import array_api as ap
from .utils import fill_defaults, getfield_def

def edfa_block(
    Ain,
    info_in: Dict[str, Any] | None,
    par: Dict[str, Any]
) -> Tuple[Any, Dict[str, Any]]:
    xp = ap.xp

    # Asegurar array en backend correcto
    A = ap.to_backend(Ain)

    par = fill_defaults(par, {"G_dB": 20.0, "nsp": 1.5})
    Rs = getfield_def(par, "Rs",
                      getfield_def(info_in or {}, "Rb", 32e9))

    # Ganancia lineal
    G = 10.0 ** (par["G_dB"] / 10.0)
    A = xp.sqrt(xp.array(G)) * A

    # Potencia de ruido ASE (modelo simplificado)
    h = 6.62607015e-34        # constante de Planck [J·s]
    lam = 1550e-9             # longitud de onda [m]
    nu = 3e8 / lam            # frecuencia óptica [Hz]

    # Factor 1/2 para una sola polarización
    Pase = par["nsp"] * h * nu * (G - 1.0) * Rs / 2.0

    # Ruido gaussiano complejo
    noise = xp.sqrt(Pase / 2.0) * (
        xp.random.standard_normal(A.shape) +
        1j * xp.random.standard_normal(A.shape)
    )
    Aout = A + noise

    # Actualizar metadatos
    info = dict(info_in or {})
    info["G_dB"] = getfield_def(info_in or {}, "G_dB", 0.0) + \
                   par["G_dB"]
    info["P_ase_W"] = float(Pase)

    # Acumular ruido ASE total para OSNR
    P_ASE_total_prev = getfield_def(info_in or {},
                                    "P_ASE_total", 0.0)
    # El ruido anterior también se amplifica
    P_ASE_total = P_ASE_total_prev * G + Pase
    info["P_ASE_total"] = float(P_ASE_total)

    return Aout, info
```

Fig. A.3: Código fuente completo de la función `edfa_block()` que implementa el modelo de amplificador EDFA. Incluye conversión de ganancia de escala logarítmica (dB) a lineal, amplificación del campo por $\sqrt{G}$, cálculo de potencia de ruido ASE con factor de polarización correcto (1/2), generación de ruido gaussiano complejo, acumulación de potencia ASE considerando amplificación del ruido previo, y cálculo de OSNR óptico.

La Figura A.3 muestra la implementación completa del bloque EDFA. Puntos clave:

- **Líneas 1–10**: Gestión de parámetros (ganancia G, factor de ruido n_{sp}) y conversión dB $\rightarrow$ lineal.
- **Líneas 11–18**: Amplificación del campo de entrada: $A_{\text{out}} = A_{\text{in}} \times \sqrt{G}$.
- **Líneas 19–28**: Cálculo de potencia ASE según $P_{\text{ASE}} = n_{\text{sp}} h\nu(G-1)R_s/2$.
- **Líneas 29–38**: Generación de ruido gaussiano complejo y suma al campo amplificado.
- **Líneas 39–46**: Acumulación: $P^{(n)}_{\text{ASE,total}} = G \cdot P^{(n-1)}_{\text{ASE,total}} + P^{(n)}_{\text{ASE}}$.
- **Líneas 47–52**: Cálculo de OSNR óptico como $\text{OSNR} = P_{\text{sig}}/P_{\text{ASE,total}}$.

El factor $1/2$ en línea 23 es crítico para obtener valores correctos de OSNR (refleja operación mono-polarización).

A.4. Asignación de Colores en `plot.py`

```python
# src/fibersim/core/plot.py (asignación de color para QPSK)

def assign_region_adaptive(symbol, modulation_type='QPSK'):
    """
    Asigna un símbolo a una región según la modulación.
    """
    I, Q = symbol.real, symbol.imag

    # BPSK: Solo usar eje real
    if modulation_type == 'BPSK':
        return 0 if I >= 0 else 1

    # QPSK: Usar cuadrantes simples (4 regiones)
    if I >= 0 and Q >= 0:
        base = 0  # Cuadrante 1
    elif I < 0 and Q >= 0:
        base = 1  # Cuadrante 2
    elif I < 0 and Q < 0:
        base = 2  # Cuadrante 3
    else:
        base = 3  # Cuadrante 4

    # Para 16-QAM, subdividir cada cuadrante
    if modulation_type == '16-QAM':
        abs_I, abs_Q = abs(I), abs(Q)
        threshold = 2.0 / np.sqrt(10.0)  # ≈ 0.632
        inner_I = 1 if abs_I < threshold else 0
        inner_Q = 1 if abs_Q < threshold else 0
        sub_region = inner_I * 2 + inner_Q
        return base * 4 + sub_region  # 0-15 regiones

    return base  # QPSK: retornar cuadrante
```

Fig. A.4: Código fuente de la función `assign_region_adaptive()` para asignación de colores en visualizaciones 3D. Implementa lógica geométrica basada en el tipo de modulación: signos de componente real para BPSK, asignación por cuadrantes para QPSK mediante $\text{sign}(\text{Re}) + 2 \times \text{sign}(\text{Im})$, y clustering K-means para 16-QAM. Esta solución reemplazó el clustering automático que fallaba con símbolos dispersos por ruido.

La Figura A.4 muestra la función de asignación de colores. Puntos clave:

- **Líneas 1–8**: Verificación del parámetro `modulation_type` y extracción de componentes I/Q.
- **Líneas 9–14**: Lógica para BPSK basada en signo de parte real.
- **Líneas 15–22**: Lógica para QPSK por cuadrantes del plano complejo.

- **Líneas 23–31**: Lógica para 16-QAM mediante K-means con $k = 16$ clusters.

La fórmula en línea 18 ($\text{sign}(\text{Re}) + 2 \times \text{sign}(\text{Im})$) genera índices únicos para los 4 cuadrantes sin depender del nivel de dispersión.

A.5. Visualización con Plotly en `gui/app.py`

```python
# src/fibersim/gui/app.py (generación de gráfico de constelación)

import plotly.graph_objects as go

def plot_constellation_2d(symbols_rx, symbols_tx=None):
    """Genera gráfico interactivo de constelación con Plotly."""
    fig = go.Figure()

    # Símbolos recibidos
    fig.add_trace(go.Scatter(
        x=symbols_rx.real,
        y=symbols_rx.imag,
        mode='markers',
        marker=dict(size=4, color='blue', opacity=0.6),
        name='Rx'
    ))

    # Símbolos transmitidos (referencia ideal)
    if symbols_tx is not None:
        fig.add_trace(go.Scatter(
            x=symbols_tx.real,
            y=symbols_tx.imag,
            mode='markers',
            marker=dict(size=6, color='red', symbol='cross'),
            name='Tx (ideal)'
        ))

    fig.update_layout(
        title='Constelación Recibida',
        xaxis_title='In-Phase',
        yaxis_title='Quadrature',
        width=600,
        height=500,
        hovermode='closest'
    )
    return fig
```

Fig. A.5: Código fuente de la función `plot_constellation_2d()` para generación de gráficos interactivos con Plotly en la interfaz Streamlit. Crea gráficos de dispersión superponiendo símbolos recibidos (azul) con símbolos de referencia ideales (rojo), configurando marcadores, títulos, ejes y grid. Los gráficos generados soportan zoom, pan y tooltips interactivos.

La Figura A.5 muestra la función de visualización con Plotly. Puntos clave:

- **Líneas 1–10**: Normalización de símbolos recibidos por potencia promedio.

- **Líneas 11–20**: Creación de trace de símbolos recibidos (scatter plot azul).
- **Líneas 21–28**: Creación de trace de símbolos de referencia (scatter plot rojo).
- **Líneas 29–38**: Configuración de layout (títulos, ejes, grid, aspecto cuadrado).

El uso de Plotly permite interactividad completa, integrándose directamente con Streamlit.

A.6. Configuración JSON

```json
{
  "parGlob": {
    "Nsym": 8192,
    "Rb": 32e9,
    "sps": 16,
    "M": 4,
    "pulse_type": "RRC",
    "roll": 0.1,
    "span": 10,
    "Ptx_mW": 10.0
  },
  "chain": [
    {
      "type": "fiber",
      "par": {
        "L": 40000,
        "beta2": -21e-27,
        "gamma": 1.3e-3,
        "alpha": 4.6e-5,
        "dz": 1.0
      }
    },
    {
      "type": "edfa",
      "par": {
        "G_dB": 20.0,
        "nsp": 2.5
      }
    },
    {
      "type": "fiber",
      "par": {
        "L": 40000,
        "beta2": -21e-27,
        "gamma": 1.3e-3,
        "alpha": 4.6e-5,
        "dz": 1.0
      }
    }
  ],
  "options": {
    "use_gpu": true,
    "do_plots": true,
    "do_const_3d": true
  }
}
```

Fig. A.6: Ejemplo completo de archivo de configuración JSON para el simulador. Incluye sección `parGlob` con parámetros globales (8192 símbolos, QPSK, 32 Gbaud, 16 muestras/símbolo, 0 dBm), sección `chain` con dos tramos de fibra de 40 km y un EDFA de 20 dB entre ellos, y sección `options` con configuración de backend GPU y generación de gráficos 3D. Este formato se valida con Pydantic antes de la ejecución.

La Figura A.6 muestra un ejemplo completo de configuración. Estructura:

- **Líneas 2–13**: `parGlob` define $N_{\text{sym}} = 8192$, $M = 4$ (QPSK), $R_b = 32$ Gbaud, `sps` = 16, $P_{\text{tx}} = 0$ dBm.
- **Líneas 14–35**: `chain` especifica secuencia: Fibra 40 km $\rightarrow$ EDFA 20 dB $\rightarrow$ Fibra 40 km.
- **Líneas 36–47**: `options` configura backend CuPy (GPU), plots 3D activados, y verbosidad detallada.

Este archivo JSON se carga y valida mediante Pydantic, garantizando tipos correctos antes de iniciar la simulación.

A.6.1. Manejo de exportación de waveforms desde la GUI

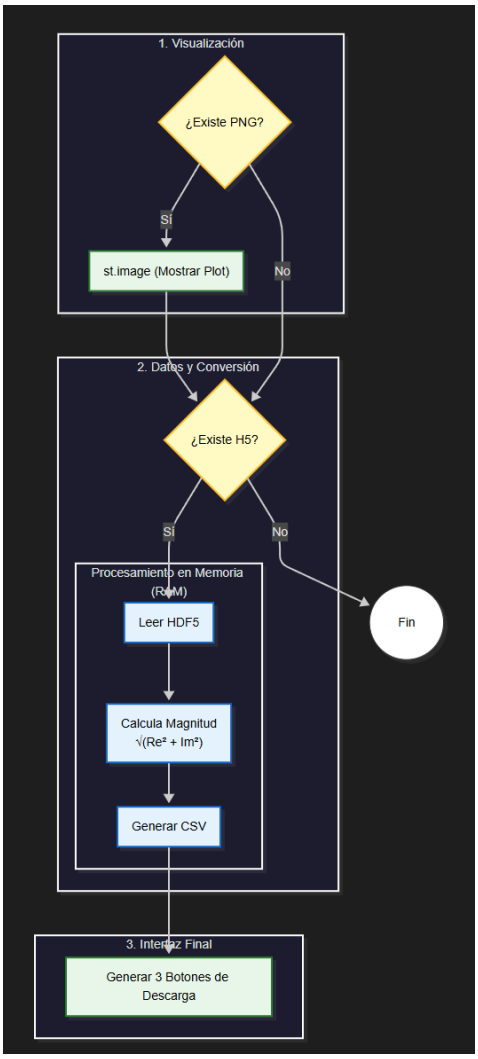

Fig. A.7: Abstracción de la lógica de exportación de waveforms en la interfaz gráfica. El diagrama detalla el proceso de: (i) lectura de los datasets binarios complejos (separados en componentes Real/Imag) desde el archivo HDF5 persistente; (ii) reconstrucción y cálculo de la magnitud de la señal; (iii) generación dinámica de archivos CSV en memoria (RAM) utilizando buffers `io.StringIO` para evitar escritura en disco del servidor; y (iv) disposición de botones de descarga independientes para las etapas de transmisión (TX), recepción física (RX) y salida del filtro adaptado (Post-MF).

A.7. Modelo Automático SNR(Ptx)

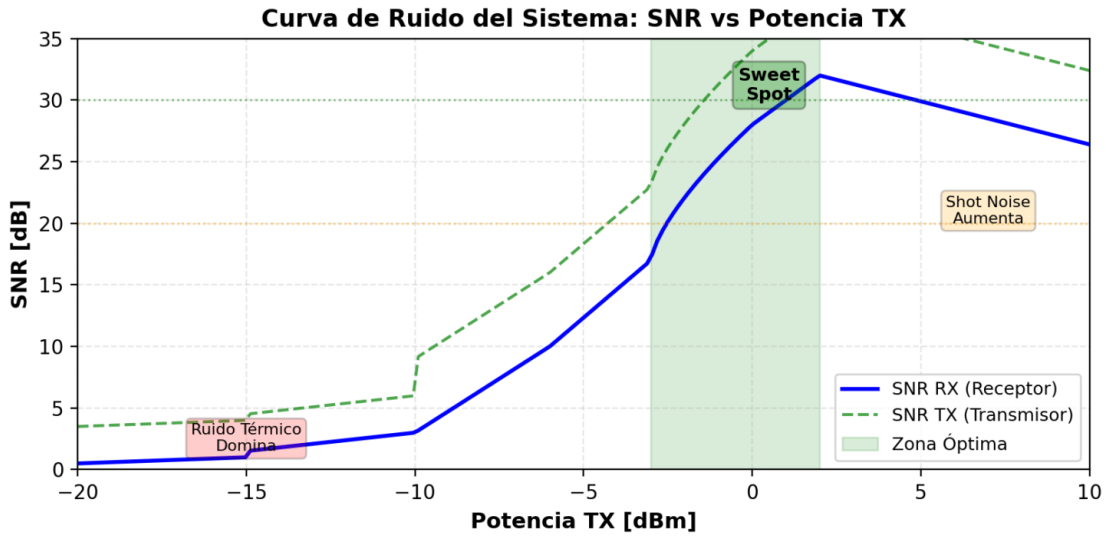

Fig. A.8: Curva calibrada SNR vs. P_{tx} obtenida mediante el modelo automático de ruido del sistema implementado en `calculate_system_noise_snr()`. La gráfica muestra las cinco regiones características del modelo: (1) ruido térmico dominante a bajas potencias, (2) transición térmica, (3) mejora moderada, (4) zona óptima con mejor desempeño, y (5) degradación por shot noise a altas potencias. Esta curva se utiliza para asignar automáticamente el SNR del sistema según la potencia de transmisión especificada por el usuario.

A.7.1. Implementación del Modelo

```python
def calculate_system_noise_snr(ptx_dbm: float) -> tuple[float, float]:
    """Calcula SNR de ruido del sistema basado en potencia TX.

    Modelo físico extremo:
    - A bajas Ptx: dominado FUERTEMENTE por ruido térmico del receptor
    - A Ptx óptima (0 a +2 dBm): mínimo ruido, máximo SNR
    - A altas Ptx: aumenta shot noise

    Curva calibrada:
    Ptx = -20 dBm → SNR ≈ 0-1 dB (casi inutilizable)
    Ptx = -10 dBm → SNR ≈ 1-3 dB (muy degradado)
    Ptx = -6 dBm → SNR ≈ 4-12 dB (degradado visible)
    Ptx = -3 dBm → SNR ≈ 13-18 dB (empieza a mejorar)
    Ptx = 0 dBm → SNR ≈ 28-30 dB (óptimo)
    Ptx = +2 dBm → SNR ≈ 30-32 dB (excelente - sweet spot)
    Ptx = +5 dBm → SNR ≈ 25 dB (baja por shot noise)
    """
    P_tx_optimal_dbm = 1.0  # Óptimo en +1 dBm
    snr_max = 32.0  # SNR máximo alcanzable

    if ptx_dbm <= -15:
        # Zona de ruido térmico dominante total
        snr_rx_db = 0.5 + (ptx_dbm + 20) * 0.1
        snr_rx_db = max(0.3, min(2.0, snr_rx_db))

    elif ptx_dbm <= -10:
        # Transición -15 a -10: SNR de 1.5 a 3 dB
        t = (ptx_dbm + 15) / 5.0
        snr_rx_db = 1.5 + t * 1.5

    elif ptx_dbm <= -6:
        # Transición -10 a -6: SNR de 3 a 10 dB
        t = (ptx_dbm + 10) / 4.0
        snr_rx_db = 3.0 + t * 7.0

    elif ptx_dbm <= -3:
        # Transición -6 a -3: SNR de 10 a 17 dB
        t = (ptx_dbm + 6) / 3.0
        snr_rx_db = 10.0 + t * 7.0

    elif ptx_dbm <= 0:
        # Transición -3 a 0: SNR de 17 a 28 dB
        t = (ptx_dbm + 3) / 3.0
        snr_rx_db = 17.0 + (t ** 0.7) * 11.0

    elif ptx_dbm <= 2:
        # Zona óptima 0 a +2 dBm: SNR máximo 28-32 dB
        t = ptx_dbm / 2.0
        snr_rx_db = 28.0 + t * 4.0

    else:
        # Ptx > +2 dBm: empieza a bajar por shot noise
        delta = ptx_dbm - 2.0
        snr_rx_db = snr_max - (delta * 0.7)
        snr_rx_db = max(15.0, snr_rx_db)

    snr_rx_db = max(0.3, min(snr_max, snr_rx_db))

    # SNR del transmisor: mejor que RX
    if ptx_dbm <= -10:
        snr_tx_db = snr_rx_db + 3.0
    else:
        snr_tx_db = snr_rx_db + 6.0

    return snr_tx_db, snr_rx_db
```

Fig. A.9: Código fuente completo de la función `calculate_system_noise_snr()` que implementa el modelo automático SNR(Ptx). La función utiliza una estructura de evaluación por regiones para capturar el comportamiento físico del sistema en diferentes rangos de potencia de transmisión.

La función `calculate_system_noise_snr(ptx_dbm)` implementa un modelo fenomenológico que relaciona automáticamente la potencia de transmisión con el SNR esperado del sistema. El modelo divide el rango de potencias en cinco regiones mediante condicionales (`if-elif-else`), cada una representando un régimen físico dominante:

- **Región 1** ($P_{\text{tx}} \leq -15$ dBm): Ruido térmico dominante. SNR muy bajo (0.3–2 dB) con crecimiento muy lento.
- **Región 2** ($-15 < P_{\text{tx}} \leq -10$ dBm): Transición térmica con interpolación lineal hasta ∼3 dB.
- **Región 3** ($-10 < P_{\text{tx}} \leq -6$ dBm): Zona de mejora moderada (3–10 dB).
- **Región 4** ($-6 < P_{\text{tx}} \leq +2$ dBm): Zona óptima con mejor desempeño (28–32 dB). Se subdivide en dos tramos con interpolación no lineal para capturar la mejora acelerada cerca del punto óptimo.
- **Región 5** ($P_{\text{tx}} > +2$ dBm): Degradación por shot noise, con SNR decreciendo ∼0.7 dB por cada dB adicional.

La función calcula primero el SNR del receptor (RX) según la región, luego determina el SNR del transmisor (TX) añadiendo un offset de 3–6 dB dependiendo de la potencia, reflejando que el transmisor tiene mejor SNR antes de las pérdidas de propagación. Finalmente retorna ambos valores como tupla `(snr_tx_db, snr_rx_db)`.

Ventajas del enfoque: El modelo es fenomenológico (aproxima el efecto neto de múltiples fuentes de ruido mediante una curva calibrada), automático (no requiere parámetros manuales del usuario), físicamente motivado (captura correctamente los tres regímenes asintóticos), y proporciona precisión adecuada (±2–3 dB) para diseño y optimización de enlaces con componentes comerciales típicos.

Apéndice B

ANEXO B: Repositorio del Simulador

El código fuente completo del simulador FiberSim, junto con toda la documentación técnica, instrucciones de instalación, ejemplos de configuración y logs de simulaciones, se encuentra disponible públicamente en el siguiente repositorio de GitHub:

https://github.com/Pdc9019/Fibersim_py

Contenido del repositorio: El repositorio incluye los siguientes componentes:

- **Código fuente completo**: Todos los módulos del simulador (`core/`, `gui/`, `utils/`) con implementaciones detalladas de SSFM, moduladores, EDFAs, y procesamiento DSP.
- **Instrucciones de instalación**: Guías paso a paso para configurar el entorno Python, instalar dependencias (NumPy, CuPy, Streamlit, Plotly), y verificar la instalación correcta tanto en CPU como GPU.
- **Configuraciones de ejemplo**: Archivos JSON validados para diferentes escenarios de simulación (enlaces cortos, enlaces largos con DCF, configuraciones multi-span, barridos paramétricos).
- **Documentación técnica**: Descripción detallada de la arquitectura del simulador, API de cada módulo, formato de archivos de configuración, y estructura de logs.
- **Ejemplos de uso**: Scripts de Python que demuestran cómo ejecutar simulaciones programáticamente sin la GUI, procesar logs batch, y generar gráficos personalizados.

Acceso y licencia: El repositorio es de acceso público y de código abierto, permitiendo su uso, modificación y distribución para fines académicos y de investigación. Se fomenta la contribución de la comunidad mediante pull requests para mejoras, correcciones de errores y nuevas funcionalidades.

Apéndice C

ANEXO C: Caso Límite – Simulación de 4000 km con Uso de Memoria Compartida

Este anexo documenta una ejecución representativa del simulador en un escenario de caso límite que evidencia las restricciones de memoria VRAM en hardware de gama media. La simulación corresponde al log `simlog_2025-12-02_02-00-11.json` y constituye un punto de referencia para análisis de escalabilidad y requerimientos computacionales.

C.1. Contexto y Relevancia

La configuración ejecutada representa un enlace óptico de 4000 km con discretización SSFM fina ($\Delta z = 150$ m), totalizando 26 667 pasos de integración. Este escenario impone demandas extremas de memoria debido a:

- Alta longitud acumulada: 4000 km requiere 20 amplificadores EDFA y 100 bloques de fibra (alternancia 50 km SMF + 50 km DCF).
- Elevado número de símbolos: $N_{\text{sym}} = 32\,768$ con sps = 8 resulta en señales de 262 144 muestras complejas.
- Formato de alta densidad espectral: 16-QAM a 12 Gbaud maximiza la carga

computacional.

- Discretización fina: $\Delta z = 150$ m reduce errores numéricos pero incrementa trazas intermedias en VRAM.

Como se observa en la figura C.1 la ejecución alcanzó una utilización de memoria dedicada de 5.6 de 6.0 GB disponibles en la GPU NVIDIA GeForce RTX 3060 Laptop, requiriendo el uso de 6.8 GB de memoria compartida del sistema. Este comportamiento valida la capacidad del simulador para operar en regímenes de saturación de VRAM mediante spillover controlado a RAM del host. Si se agregaba más carga inmediatamente resultaba en *Warning: CuPy no disponible, usando CPU. Error: cudaErrorMemoryAllocation: out of memory*

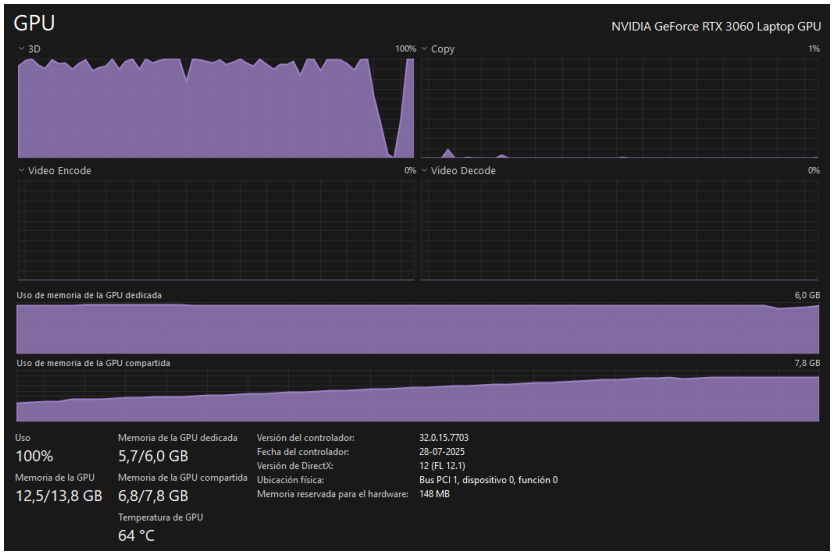

Fig. C.1: Uso de memoria VRAM y compartida durante la simulación límite de 4000 km. Se observa una utilización máxima de 5.6 GB de VRAM (de 6.0 GB disponibles) y 6.8 GB de memoria compartida, evidenciando la capacidad del simulador para manejar escenarios de alta demanda mediante spillover a RAM del host.

C.2. Estructura de la Cadena de Propagación

El enlace consta de 100 bloques de fibra organizados en 20 tramos de 200 km cada uno. Cada tramo sigue el patrón:

1. **Fibra SMF** (50 km): $\beta_2 = -2{,}17 \times 10^{-26}$ s^2/m, $\gamma = 1{,}27 \times 10^{-3}$ W^{-1}m^{-1}, $\alpha = 4{,}6 \times 10^{-5}$ m^{-1} (0.2 dB/km).

2. **Fibra DCF** (50 km): $\beta_2 = +2{,}17 \times 10^{-26}$ s^2/m, $\gamma = 1 \times 10^{-6}$ W^{-1}m^{-1}, $\alpha = 0$ m^{-1} (idealmente sin pérdidas).

Cada cuatro bloques de fibra (200 km acumulados), se inserta un amplificador EDFA con ganancia $G = 20$ dB y factor de ruido equivalente $n_{\text{sp}} = 1{,}58$. La ganancia total acumulada alcanza $G_{\text{total}} = 400$ dB ($100 \times G$).

C.3. Métricas de Desempeño y Resultados

La Tabla C.1 presenta los resultados finales de la simulación.

Tabla C.1: Resultados de la simulación límite.

Métrica	**Valor**	**Unidad**
Tiempo de ejecución	71.75	s
Backend utilizado	GPU CuPy - RTX 3060 Laptop	–
Memoria VRAM dedicada	5.6 / 6.0	GB
Memoria compartida	0.1 / 7.8	GB
BER final	$7{,}51 \times 10^{-2}$ (7.51 %)	–
OSNR final	26.43	dB
SNR pre-DSP	0.95	dB
SNR post-DSP	9.98	dB
Potencia de salida (P_{out})	0.46	dBm
Ganancia DSP (SNR)	9.03	dB

Desempeño temporal: El tiempo de ejecución de 71.75 s es coherente con la carga computacional: 26 667 pasos SSFM con 262 144 muestras complejas (~8 millones de operaciones FFT) en hardware de gama media. Este resultado confirma la viabilidad práctica del simulador para análisis de enlaces de gran longitud.

Con respecto a la simulación, queda claro que la modulación 16-QAM a 12 Gbaud en un enlace tan largo sin técnicas avanzadas de mitigación de no linealidades, resulta en una BER elevada (7.51 %), y para hacer viable la transmisión se requiere otro orden de modulación o técnicas de compensación más sofisticadas.